COMUNE DI NOLE



CITTA' METROPOLITANA DI TORINO

ADEGUAMENTO E REVISIONE DEL PROGETTO ESECUTIVO DELLA NUOVA AREA DESTINATA A PARCHEGGIO PUBBLICO DI PERTINENZA DELLA SCUOLA MATERNA DI VIA TORINO N. 29

PROGETTO ESECUTIVO

RELAZIONE STRUTTURALE DI CALCOLO

ELABORATO: RE.12

DATA: Ottobre 2017

COMMITTENTE:

RESPONSABILE DEL PROCEDIMENTO:

COMUNE DI NOLE

info@comune.nole.to.it Tel. 011.9299711

Via Devesi,14 - 10076 Nole (TO)

Arch, Fabrizio ROCCHIETTI

VISTO PROTOCOLLO:

PROGETTO:

ARCHINGEO Srl

Via Monte Angiolino, 2 - 10074 Lanzo T.se archingeo@archingeoengineering.it

Tel/fax 0123.28716

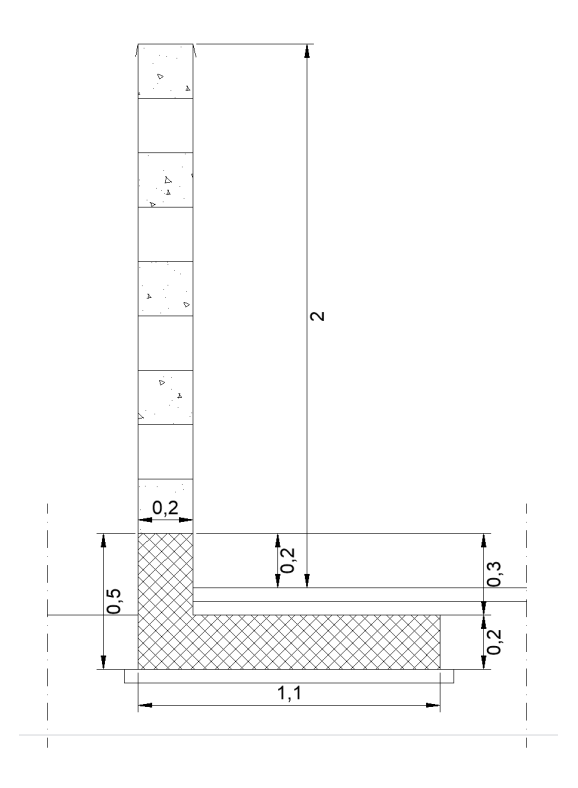
PROGETTISTA:

Arch. Davide CAPRA

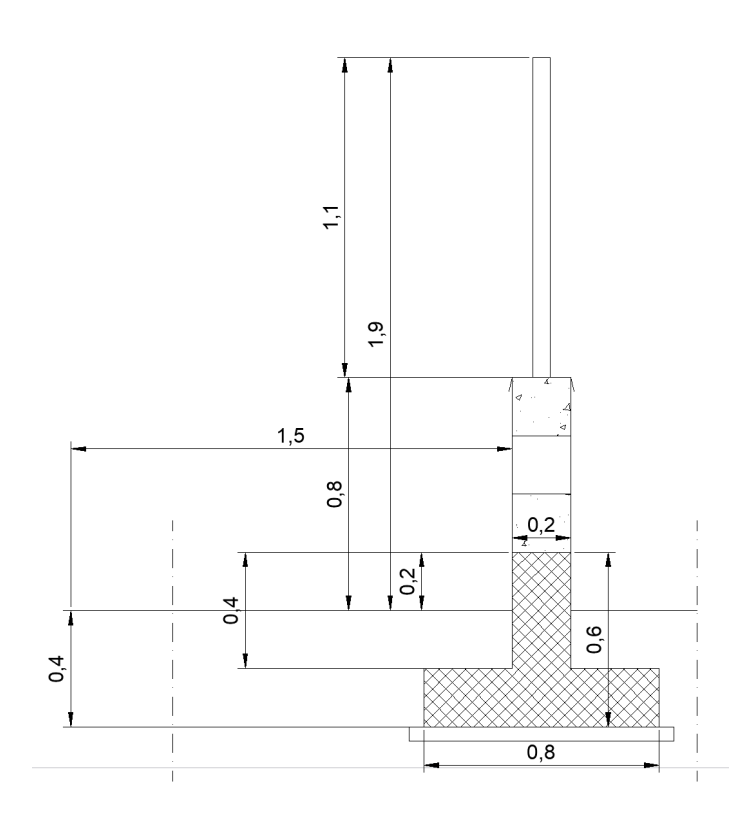
REVISIO	REVISIONI							
N°	Data	Motivo della revisione						

Progetto: Muro di sostegno parcheggio Nole

TIPOLOGIA 1-2-3



TIPOLOGIA 4



Relazione di calcolo

2

Normative di riferimento

- Legge nr. 1086 del 05/11/1971.

Norme per la disciplina delle opere in conglomerato cementizio, normale e precompresso ed a struttura metallica.

- Legge nr. 64 del 02/02/1974.

Provvedimenti per le costruzioni con particolari prescrizioni per le zone sismiche.

- D.M. LL.PP. del 11/03/1988.

Norme tecniche riguardanti le indagini sui terreni e sulle rocce, la stabilitàdei pendii naturali e delle scarpate, i criteri generali e le prescrizioni per la progettazione, l'esecuzione e il collaudo delle opere di sostegno delle terre e delle opere di fondazione.

- D.M. LL.PP. del 14/02/1992.

Norme tecniche per l'esecuzione delle opere in cemento armato normale e precompresso e per le strutture metalliche.

- D.M. 9 Gennaio 1996

Norme Tecniche per il calcolo, l' esecuzione ed il collaudo delle strutture in cemento armato normale e precompresso e per le strutture metalliche

- D.M. 16 Gennaio 1996

Norme Tecniche relative ai 'Criteri generali per la verifica di sicurezza delle costruzioni e dei carichi e sovraccarichi'

- D.M. 16 Gennaio 1996

Norme Tecniche per le costruzioni in zone sismiche

- Circolare Ministero LL.PP. 15 Ottobre 1996 N. 252 AA.GG./S.T.C.

Istruzioni per l'applicazione delle Norme Tecniche di cui al D.M. 9 Gennaio 1996

- Circolare Ministero LL.PP. 10 Aprile 1997 N. 65/AA.GG.

Istruzioni per l'applicazione delle Norme Tecniche per le costruzioni in zone sismiche di cui al D.M. 16 Gennaio 1996

- Norme Tecniche per le Costruzioni 2008 (D.M. 14 Gennaio 2008)
- Circolare 617 del 02/02/2009
- Circolare C.S.L.P. 02/02/2009 n.617 Istruzioni per l'applicazione delle Norme Tecniche per le Costruzioni di cui al D.M. 14 gennaio 2008

Il calcolo dei muri di sostegno viene eseguito secondo le seguenti fasi:

- Verifica a ribaltamento

Calcolo delle sollecitazioni sia del muro che della fondazione, progetto delle armature e relative verifiche dei materiali

Relazione di calcolo

3

CARATTERISTICHE DI RESISTENZA DEI MATERIALI IMPIEGATI

CALCESTRUZZO - Classe: C25/30

Resistenza compress. di calcolo fcd: 141.60 daN/cm² Resistenza compress. ridotta fcd': 70.80 daN/cm²

Deform. unitaria max resistenza ec2: 0.0020 Deformazione unitaria ultima ecu: 0.0035

Diagramma tensioni-deformaz.:Parabola-Rettangolo Modulo Elastico Normale Ec: 314750 daN/cm² Resis. media a trazione fctm: 25.60 daN/cm²

ACCIAIO - Tipo: B450C

Resist. caratt. a snervamento fyk: 4500.0 daN/cm²
Resist. caratt. a rottura ftk: 4500.0 daN/cm²
Resist. a snerv. di calcolo fyd: 3913.0 daN/cm²
Resist. ultima di calcolo ftd: 3913.0 daN/cm²

Deform. ultima di calcolo Epu: 0.068

Modulo Elastico Ef: 2000000 daN/cm²

Diagramma tensioni-deformaz.:Bilineare finito

Calcolo delle spinte sul muro

Valori caratteristici e valori di calcolo

Carichi da vento

Normativa: D.M. 14/01/2008 (Norme tecniche per le costruzioni)

La pressione del vento è calcolata secondo l'espressione:

$$b = dp \cdot ce \cdot cb \cdot cq$$

Provincia: Torino

Zona: 1

Altitudine: 356 m s.l.m

Tempo di ritorno T_r: 50 anni;

Velocità di riferimento v_b(T_r): 25 m/s

Pressione cinetica di riferimento qb: 39.86 Kg/m²

Altezza della costruzione z: 2 m (zmin: 5m)

Distanza dalla costa: Terra, oltre i 40 km dalla costa, sotto i

500 m

Classe di rugosità del terreno: C Categoria di esposizione del sito: III

Coefficiente topografico ct: 1 Coefficiente dinamico cd: 1



$$c_e(z = 2m) = c_e(z_{min} = 5 m) = 1.71$$

Travi ad anima piena e reticolare:

Superficie delimitata dal contorno della trave S = 2 m²

Superficie della parte piena della trave $Sp = 2 m^2$

Travi isolate: $c_p = 1.4$

Pressione del vento con coefficiente di forma $c_p = 1.4$

$$p(z = 2 m) = p(z_{min} = 5 m) = 95.29 \text{ Kg/m}^2$$

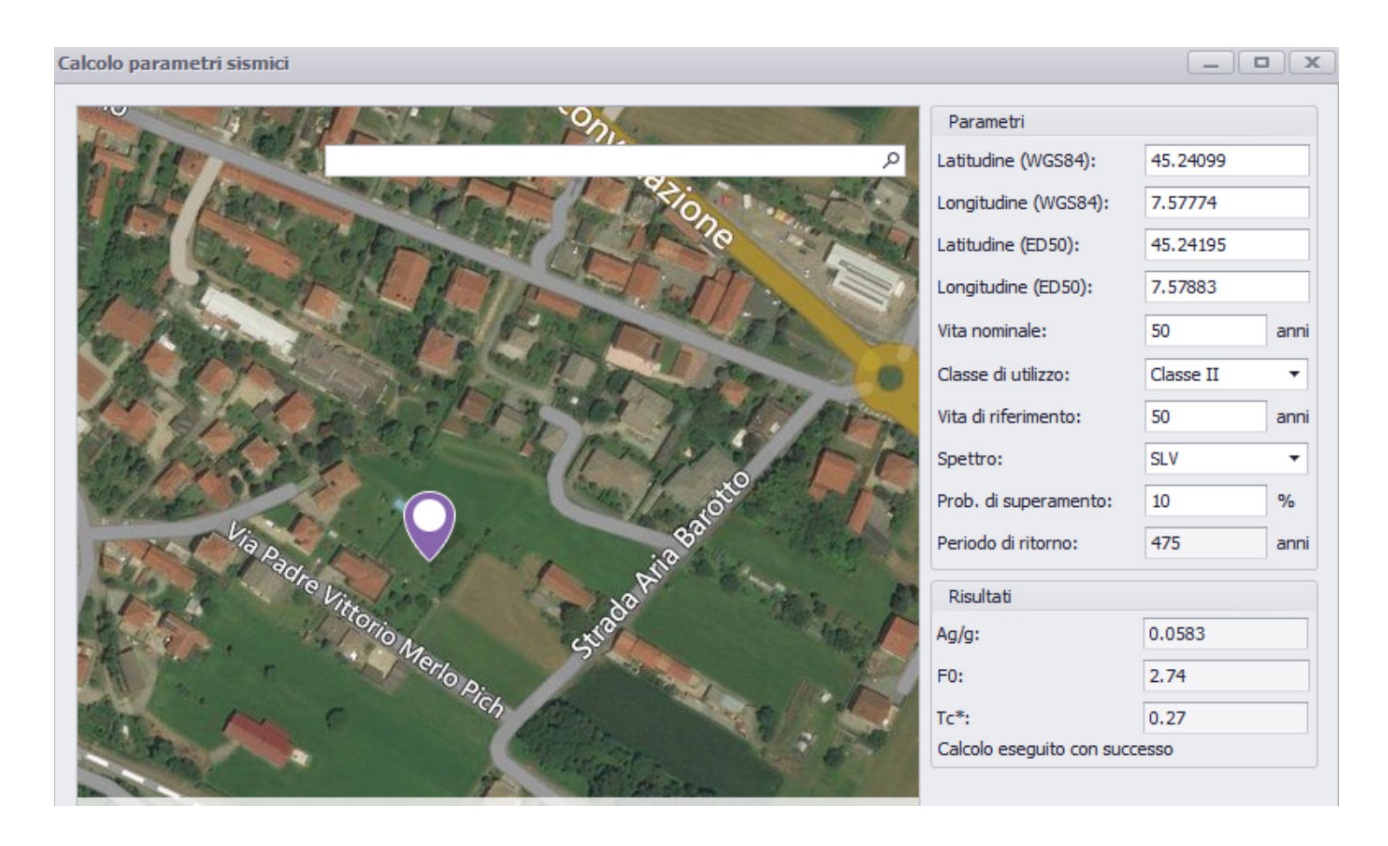
Momento ribaltante dovuto al vento:

 $M=q*I^2/2 = 190.58 daNm$



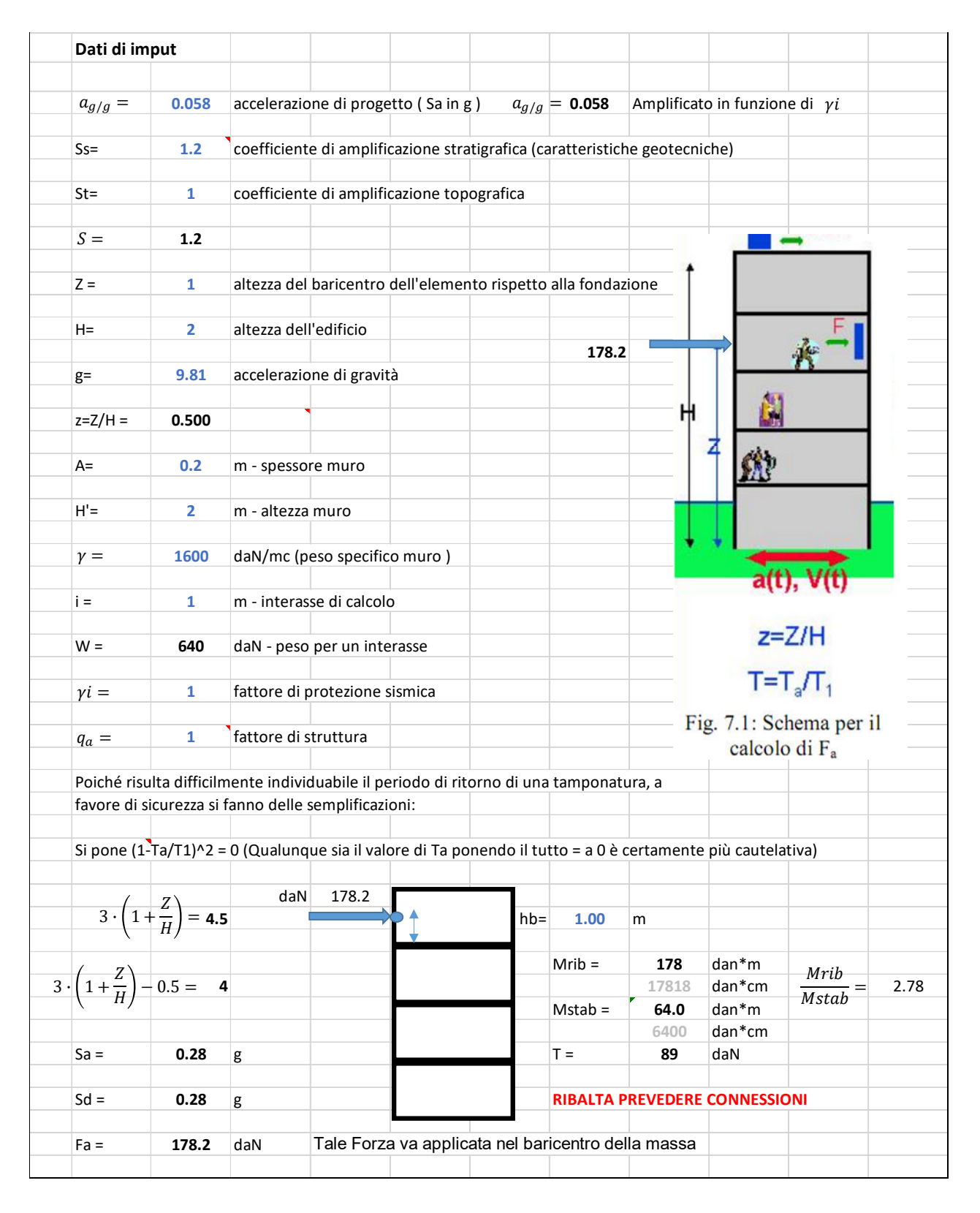
Carichi sismici

Parametri sismici





Sollecitazioni dovute al sisma

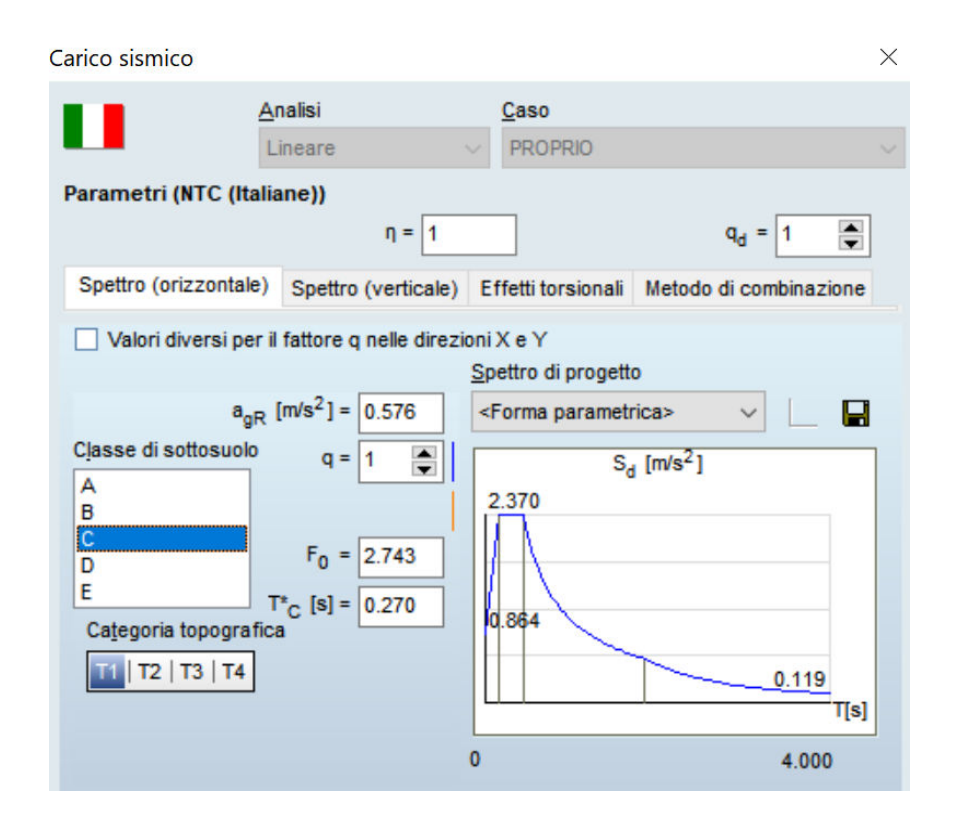


In prima approssimazione si può ipotizzare una spinta sismica indipendentemente dal periodo proprio della struttura sicuramente più cautelativa della situazione reale.

Come risulta dal foglio di calcolo il momento ribaltante risulta 178 daN*m

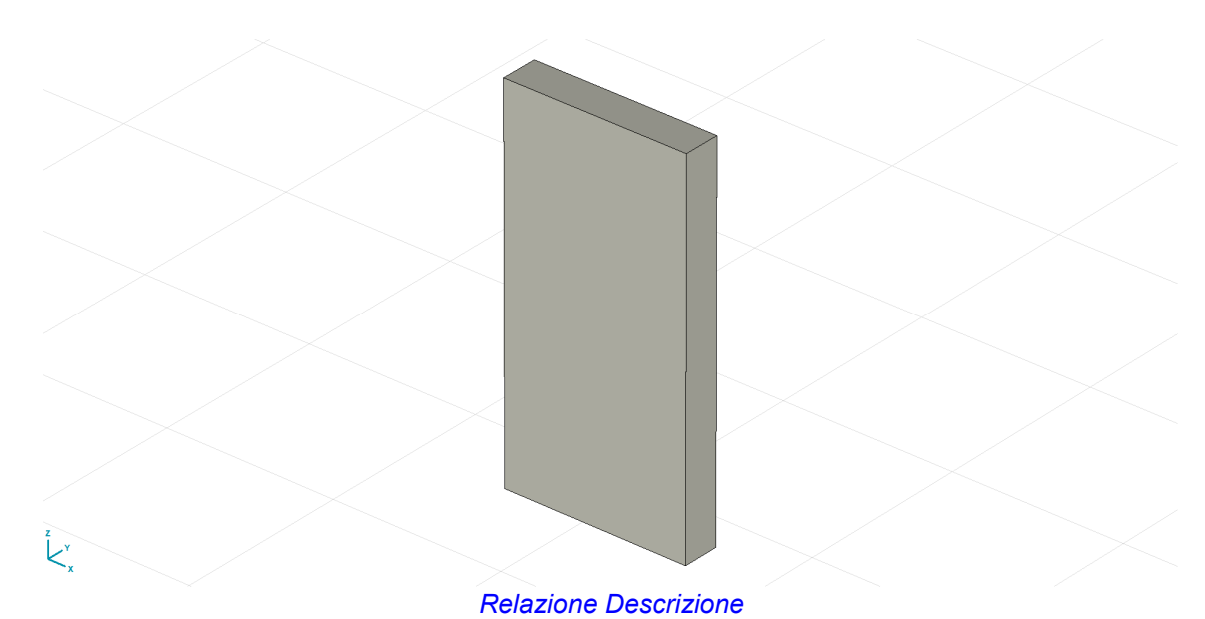
Successivamente si può pensare di condurre una analisi agli elementi finiti andando ad indagare attraverso un'analisi modale il periodo proprio della struttura.

L'analisi è stata condotta attraverso il software di calcolo axis VM



Fr	requenze	(I.) [PR	OPRIO M	odo 1 (27.0	8 Hz)]
	f [Hz]	T [s]	ω [rad/s]	EVal	Errore
1	27.08	0.037	170.13	28943.95	3.09E-13
2	135.38	0.007	850.59	723502.80	5.42E-13
3	166.77	0.006	1047.84	1097978.30	3.43E-14
4	421.25	0.002	2646.80	7005574.30	2.67E-12
5	459.77	0.002	2888.81	8345252.00	1.48E-12
6	833.60	0.001	5237.69	27433371.00	1.13E-9
7	886.45	0.001	5569.70	31021587.00	2.52E-9
8	1247.59	0.001	7838.87	61447806.00	1.65E-7
9	1437.84	0.001	9034.21	81616874.00	2.51E-6

	f [Hz]	εχ	εγ	٤z	Attivo
1	27.08	0	0.609	0	1
2	135.38	0.609	0	0	1
3	166.77	0	0.189	0	- 1
4	421.25	0	0	0.806	- 1
5	459.77	0	0.065	0	✓
6	833.60	0.189	0	0	- 1
7	886.45	0	0.033	0	
8	1247.59	0	0	0.085	- 1
9	1437.84	0	0.020	0	
7/9		0.798	0.863	0.891	



Noidzione Beschzie

Modello

Materiali

	Nome	Tipo	Normativa nazionale	Codice materiale	Modello	E_x [N/mm ²]	E _y [N/mm ²]
1	C25/30	Calcestruzzo	NTC (Italiane)	ENV 206	Lineare	28500	28500

	Nome	ν	α _τ [1/°C]	ρ [kg/m³]	Materiale colore	Profilo colore	Tessitura	P ₁	P ₂	P ₃
1	C25/30	0.20	1E-5	2500			Concrete A	$f_{ck}[daN/cm^2] = 250.00$	γ _c = 1.500	α_{cc} = 0.85

	Nome	P ₄	P ₅	P ₆	P ₇	P ₈	P ₉	P ₁₀	P ₁₁	P ₁₂
1	C25/30	$\phi_{t} = 2.00$								

Profilati

	Nome	Disegno	Processo	Figura	h	b	tw	tf	r ₁	r ₂	r ₃	Ax	Ay	Az
					[cm]	[cm]	[cm]	[cm]	[cm]	[cm]	[cm]	[cm²]	[cm²]	[cm ²]
Ī	1 20x100		Altro	Rett.	100.0	20.0	0	0	0	0	0	2000.00	1666.67	1666.67

	Nome	lx [cm⁴]	ly [cm⁴]	lz [cm⁴]	lyz [cm⁴]	I₁ [cm⁴]	l₂ [cm⁴]	α [°]	lω [mm ⁶]	W _{1,el,t} [cm ³]	W _{1,el,b} [cm ³]
1	20x100	233045.8	1666667.0	66666.7	0	1666667.0	66666.7	0	4.7E+13	33333.3	33333.3

	Nome	W _{2,el,t} [cm ³]	W _{2,el,b} [cm ³]	W _{1,pl} [cm³]	W _{2,pl} [cm ³]	i _y [cm]	i _z [cm]	Hy [cm]	Hz [cm]	yG [cm]	zG [cm]	y _s [cm]	z _s [cm]	Pr.p.
1	20x100	6666.7	6666.7	50000.0	10000.0	28.9	5.8	20.0	100.0	10.0	50.0	0	0	5

Casi di carico

			_
	Nome	Gruppo	Tipo gruppo
1	SM X		
2	SM Y		
3	PROPRIO	PERM1	Permanente
4	SM +	SISM	sismico
5	SM -	SISM	sismico
6	SM01X		
7	SM01Y		

	Nome	Gruppo	Tipo gruppo
8	SM02X		
9	SM02Y		
10	SM03X		
11	SM03Y		
12	SM04X		
13	SM04Y		
14	SM05X		
15	SM05Y		
16	SM06X		
17	SM06Y		
18	SM08X		
19	SM08Y		

Gruppi di carico (NTC (Italiane))

	Gruppo	Tipo	γG,sup	γ G,inf	ξ	γ	Ψ ₀	Ψ1	Ψ2	Additivo
1	PERM1	Permanente	1.300	1.000						1
2	VAR1	accidentale				1.500	0.700	0.500	0.200	0
3	SISM	sismico	1.000	1.000		1.000				

Nodi

	X [cm]	Y [cm]	Z [cm]
1	900.000	0	360.000
2	900.000	0	560.000
3	900.000	0	385.000
4	900.000	0	410.000
5	900.000	0	435.000
6	900.000	0	460.000
7	900.000	0	485.000
8	900.000	0	510.000
9	900.000	0	535.000
10	900.000	0	372.500
11	900.000	0	397.500
12	900.000	0	422.500
13	900.000	0	447.500
14	900.000	0	472.500
15	900.000	0	497.500
16	900.000	0	522.500
17	900.000	0	547.500

Travi

	Nodo i	Nodo j	Lunghezza	x Locale	Materiale	Start	End	Refz
			[m]			sezione	sezione	
1	1	→ 2	2.000	i - j	1	1	1	Auto

Appoggi elastici nodali

	Nodo	Tipo	Rif. elem.	Rx [daN/cm]	Ry [daN/cm]	Rz [daN/cm]	Rxx [daNm/rad]	Ryy [daNm/rad]	Rzz [daNm/rad]
	_	Glob.	_	_	_	_	_	_	_
1	1	Glob.		1E+10	1E+10	1E+10	1E+12	1E+12	1E+12

SM01Y: Carichi nodali

	Direzione	Fx [daN]	Fy [daN]	Fz [daN]	Mx [daNm]	My [daNm]	Mz [daNm]
2	Globale	0	6.07	0	0	0	0
3	Globale	0	0.31	0	0	0	0
4	Globale	0	1.18	0	0	0	0
5	Globale	0	2.49	0	0	0	0
6	Globale	0	4.12	0	0	0	0
7	Globale	0	5.99	0	0	0	0
8	Globale	0	7.99	0	0	0	0

	Direzione	Fx	Fy	Fz	Mx	Му	Mz
		[daN]	[daN]	[daN]	[daNm]	[daNm]	[daNm]
9	Globale	0	10.06	0	0	0	0
10	Globale	0	0.08	0	0	0	0
11	Globale	0	0.69	0	0	0	0
12	Globale	0	1.79	0	0	0	0
13	Globale	0	3.27	0	0	0	0
14	Globale	0	5.03	0	0	0	0
15	Globale	0	6.97	0	0	0	0
16	Globale	0	9.02	0	0	0	0
17	Globale	0	11.10	0	0	0	0

SM02X: Carichi nodali

	Direzione	Fx [daN]	Fy [daN]	Fz [daN]	Mx [daNm]	My [daNm]	Mz [daNm]
2	Globale	4.59	0	0	0	0	0
3	Globale	0.24	0	0	0	0	0
4	Globale	0.89	0	0	0	0	0
5	Globale	1.88	0	0	0	0	0
6	Globale	3.11	0	0	0	0	0
7	Globale	4.52	0	0	0	0	0
8	Globale	6.04	0	0	0	0	0
9	Globale	7.60	0	0	0	0	0
10	Globale	0.06	0	0	0	0	0
11	Globale	0.52	0	0	0	0	0
12	Globale	1.35	0	0	0	0	0
13	Globale	2.47	0	0	0	0	0
14	Globale	3.80	0	0	0	0	0
15	Globale	5.27	0	0	0	0	0
16	Globale	6.81	0	0	0	0	0
17	Globale	8.39	0	0	0	0	0

SM03Y: Carichi nodali

	Direzione	Fx	Fy	Fz	Mx	My	Mz
		[daN]	[daN]	[daN]	[daNm]	[daNm]	[daNm]
2	Globale	0	-2.48	0	0	0	0
3	Globale	0	0.69	0	0	0	0
4	Globale	0	2.08	0	0	0	0
5	Globale	0	3.26	0	0	0	0
6	Globale	0	3.57	0	0	0	0
7	Globale	0	2.69	0	0	0	0
8	Globale	0	0.71	0	0	0	0
9	Globale	0	-1.99	0	0	0	0
10	Globale	0	0.19	0	0	0	0
11	Globale	0	1.35	0	0	0	0
12	Globale	0	2.75	0	0	0	0
13	Globale	0	3.56	0	0	0	0
14	Globale	0	3.28	0	0	0	0
15	Globale	0	1.82	0	0	0	0
16	Globale	0	-0.58	0	0	0	0
17	Globale	0	-3.47	0	0	0	0

SM05Y: Carichi nodali

	Direzione	Fx [daN]	Fy [daN]	Fz [daN]	Mx [daNm]	My [daNm]	Mz [daNm]
2	Globale	0	1.37	0	0	0	0
3	Globale	0	0.91	0	0	0	0
4	Globale	0	2.03	0	0	0	0
5	Globale	0	1.75	0	0	0	0
6	Globale	0	0.10	0	0	0	0
7	Globale	0	-1.53	0	0	0	0
8	Globale	0	-1.65	0	0	0	0
9	Globale	0	0.07	0	0	0	0
10	Globale	0	0.28	0	0	0	0
11	Globale	0	1.57	0	0	0	0
12	Globale	0	2.10	0	0	0	0

	Direzione	Fx	Fy	Fz	Mx	Му	Mz
		[daN]	[daN]	[daN]	[daNm]	[daNm]	[daNm]
13	Globale	0	1.03	0	0	0	0
14	Globale	0	-0.83	0	0	0	0
15	Globale	0	-1.84	0	0	0	0
16	Globale	0	-0.98	0	0	0	0
17	Globale	0	1.36	0	0	0	0

SM06X: Carichi nodali

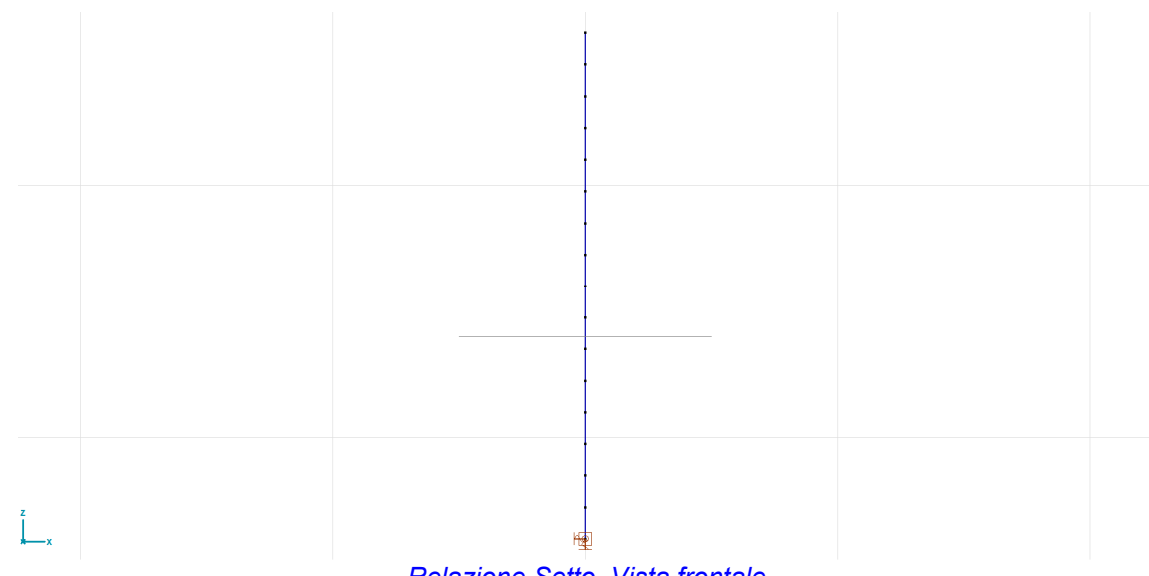
	Direzione	Fx	Fy	Fz	Mx	My	Mz
		[daN]	[daN]	[daN]	[daNm]	[daNm]	[daNm]
2	Globale	-2.35	0	0	0	0	0
3	Globale	0.65	0	0	0	0	0
4	Globale	1.97	0	0	0	0	0
5	Globale	3.09	0	0	0	0	0
6	Globale	3.38	0	0	0	0	0
7	Globale	2.55	0	0	0	0	0
8	Globale	0.67	0	0	0	0	0
9	Globale	-1.89	0	0	0	0	0
10	Globale	0.19	0	0	0	0	0
11	Globale	1.29	0	0	0	0	0
12	Globale	2.60	0	0	0	0	0
13	Globale	3.37	0	0	0	0	0
14	Globale	3.11	0	0	0	0	0
15	Globale	1.72	0	0	0	0	0
16	Globale	-0.55	0	0	0	0	0
17	Globale	-3.29	0	0	0	0	0

PROPRIO: Peso proprio di travi

	Σ [kg]
1–16	1000.000
<u>Totale</u>	1000.000

Parti logiche

Setto



Relazione Setto, Vista frontale

SM01Y: Carichi nodali [Colonna / 20x100]

	Direzione	Fx [daN]	Fy [daN]	Fz [daN]	Mx [daNm]	My [daNm]	Mz [daNm]
5	Globale	0	6.07	0	0	0	0

	Direzione	Fx [daN]	Fy	Fz [daN]	Mx [daNm]	My [daNm]	Mz [daNm]
		[uaiv]	[daN]	[uan]	[uaiviii]	[uaiviii]	[uaiviii]
3	Globale	0	0.31	0	0	0	0
4	Globale	0	1.18	0	0	0	0
5	Globale	0	2.49	0	0	0	0
6	Globale	0	4.12	0	0	0	0
7	Globale	0	5.99	0	0	0	0
8	Globale	0	7.99	0	0	0	0
9	Globale	0	10.06	0	0	0	0
10	Globale	0	0.08	0	0	0	0
11	Globale	0	0.69	0	0	0	0
12	Globale	0	1.79	0	0	0	0
13	Globale	0	3.27	0	0	0	0
14	Globale	0	5.03	0	0	0	0
15	Globale	0	6.97	0	0	0	0
16	Globale	0	9.02	0	0	0	0
17	Globale	0	11.10	0	0	0	0

SM02X: Carichi nodali [Colonna / 20x100]

						_
Direzione	Fx	Fy	Fz	Mx	My	Mz
	[daN]	[daN]	[daN]	[daNm]	[daNm]	[daNm]
2 Globale	4.59	0	0	0	0	0
3 Globale	0.24	0	0	0	0	0
4 Globale	0.89	0	0	0	0	0
5 Globale	1.88	0	0	0	0	0
6 Globale	3.11	0	0	0	0	0
7 Globale	4.52	0	0	0	0	0
8 Globale	6.04	0	0	0	0	0
9 Globale	7.60	0	0	0	0	0
10 Globale	0.06	0	0	0	0	0
11 Globale	0.52	0	0	0	0	0
12 Globale	1.35	0	0	0	0	0
13 Globale	2.47	0	0	0	0	0
14 Globale	3.80	0	0	0	0	0
15 Globale	5.27	0	0	0	0	0
16 Globale	6.81	0	0	0	0	0
17 Globale	8.39	0	0	0	0	0

SM03Y: Carichi nodali [Colonna / 20x100]

	Direzione	Fx	Fy	Fz	Mx	My	Mz
		[daN]	[daN]	[daN]	[daNm]	[daNm]	[daNm]
2	Globale	0	-2.48	0	0	0	0
3	Globale	0	0.69	0	0	0	0
4	Globale	0	2.08	0	0	0	0
5	Globale	0	3.26	0	0	0	0
6	Globale	0	3.57	0	0	0	0
7	Globale	0	2.69	0	0	0	0
8	Globale	0	0.71	0	0	0	0
9	Globale	0	-1.99	0	0	0	0
10	Globale	0	0.19	0	0	0	0
11	Globale	0	1.35	0	0	0	0
12	Globale	0	2.75	0	0	0	0
13	Globale	0	3.56	0	0	0	0
14	Globale	0	3.28	0	0	0	0
15	Globale	0	1.82	0	0	0	0
16	Globale	0	-0.58	0	0	0	0
17	Globale	0	-3.47	0	0	0	0

SM05Y: Carichi nodali [Colonna / 20x100]

			-							
	Direzione	Fx	Fy	Fz	Mx	My	Mz			
		[daN]	[daN]	[daN]	[daNm]	[daNm]	[daNm]			
2	Globale	0	1.37	0	0	0	0			
3	Globale	0	0.91	0	0	0	0			
4	Globale	0	2.03	0	0	0	0			
5	Globale	0	1.75	0	0	0	0			
6	Globale	0	0.10	0	0	0	0			

	Direzione	Fx	Fy	Fz	Mx	My	Mz
		[daN]	[daN]	[daN]	[daNm]	[daNm]	[daNm]
7	Globale	0	-1.53	0	0	0	0
8	Globale	0	-1.65	0	0	0	0
9	Globale	0	0.07	0	0	0	0
10	Globale	0	0.28	0	0	0	0
11	Globale	0	1.57	0	0	0	0
12	Globale	0	2.10	0	0	0	0
13	Globale	0	1.03	0	0	0	0
14	Globale	0	-0.83	0	0	0	0
15	Globale	0	-1.84	0	0	0	0
16	Globale	0	-0.98	0	0	0	0
17	Globale	0	1.36	0	0	0	0

SM06X: Carichi nodali [Colonna / 20x100]

Direzione	Fx [daN]	Fy [daN]	Fz [daN]	Mx [daNm]	My [daNm]	Mz [daNm]
2 Globale	-2.35	0	0	0	0	0
3 Globale	0.65	0	0	0	0	0
4 Globale	1.97	0	0	0	0	0
5 Globale	3.09	0	0	0	0	0
6 Globale	3.38	0	0	0	0	0
7 Globale	2.55	0	0	0	0	0
8 Globale	0.67	0	0	0	0	0
9 Globale	-1.89	0	0	0	0	0
10 Globale	0.19	0	0	0	0	0
11 Globale	1.29	0	0	0	0	0
12 Globale	2.60	0	0	0	0	0
13 Globale	3.37	0	0	0	0	0
14 Globale	3.11	0	0	0	0	0
15 Globale	1.72	0	0	0	0	0
16 Globale	-0.55	0	0	0	0	0
17 Globale	-3.29	0	0	0	0	0

PROPRIO: Peso proprio di travi [Colonna / 20x100]

	Σ [kg]
1–16	1000.000
<u>Totale</u>	1000.000

Spostamenti

Spostamenti Trave

Min, Max. Critici

Spostamenti Trave [Lineare,(SLE Quasipermanente) Critico, Colonna / 20x100]

	Se.	С	min. max.	Loc. [m]	Nodo	ex [mm]	ez [mm]	fy [rad]	Combinazione critica
_	_	_			_		_	_	_
1	1	ex	min	2.000	(2)	-0.002	0	0	[PROPRIO]
1	1		max	0	(1)	0	0	0	[PROPRIO]
1	1	ez	min	0	(1)	0	<u>0</u>	0	[PROPRIO]
1	1		max	0	(1)	0	<u>0</u>		[PROPRIO]
1	1	fy	min	0	(1)	0	0	<u>0</u>	[PROPRIO]
1	1		max	0	(1)	0	0	0	[PROPRIO]

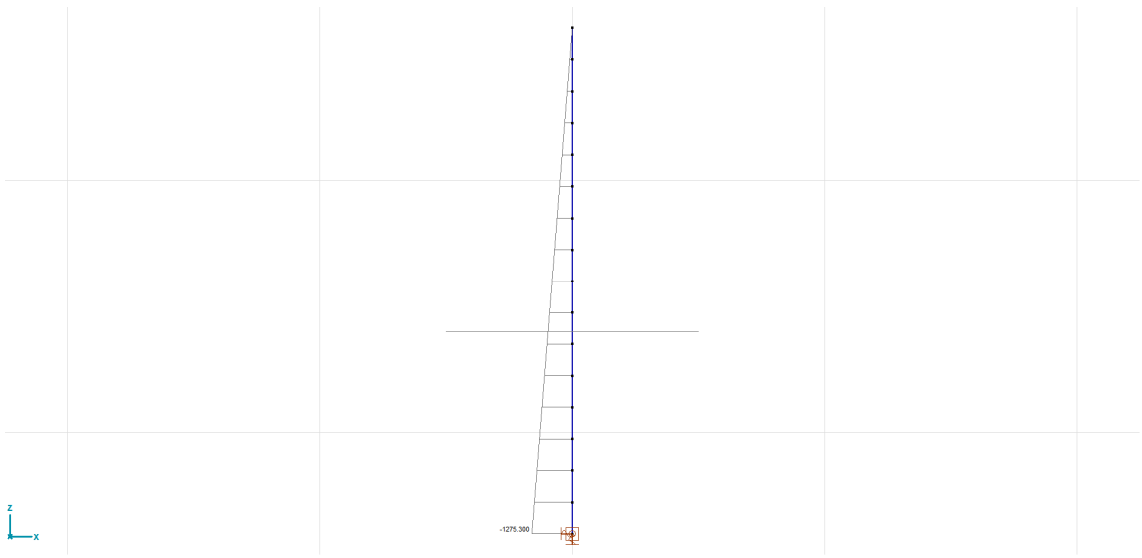
Sollecitazioni

Sollecitazioni trave

Min, Max. Critici

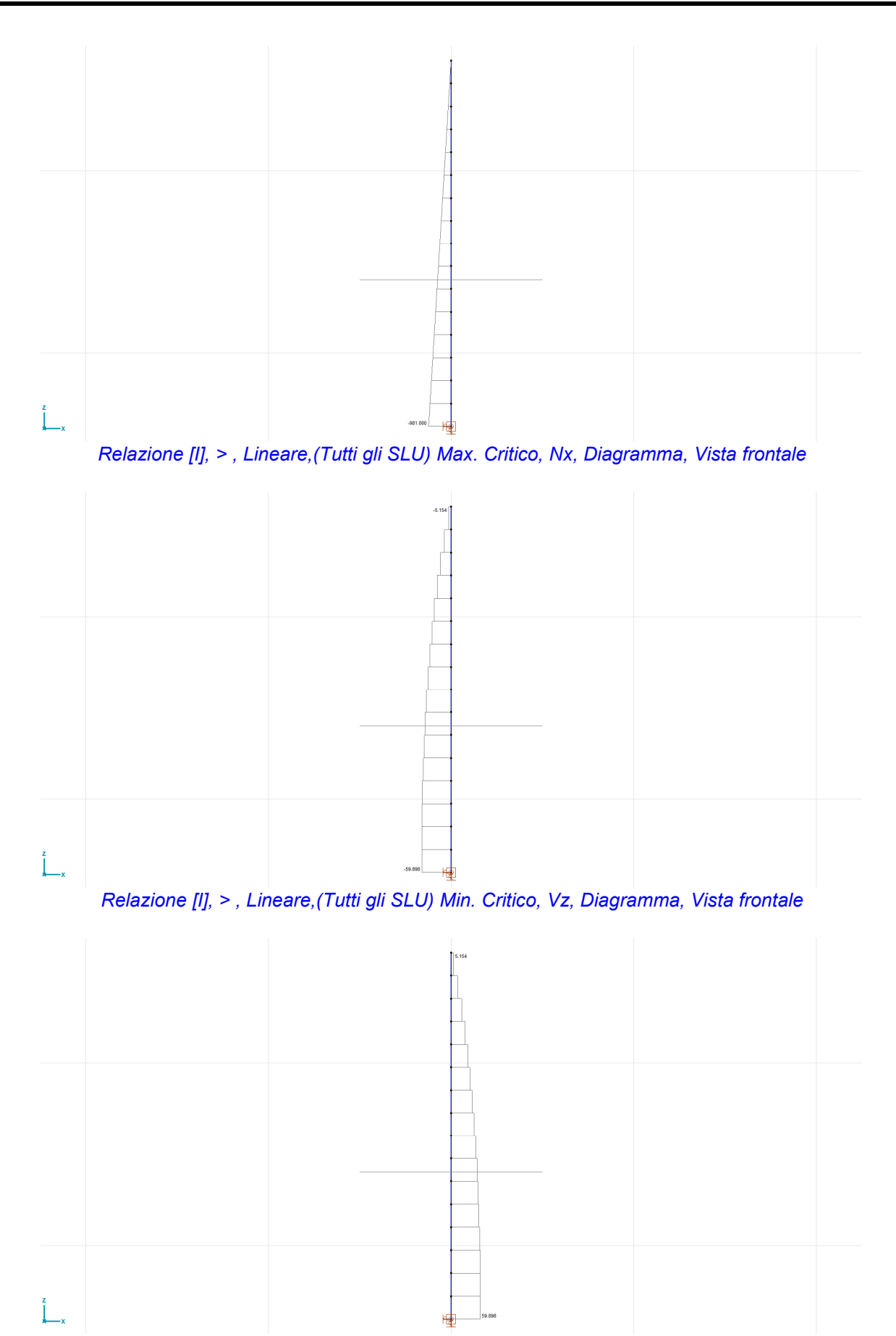
Sollecitazioni trave [Lineare,(Tutti gli SLU) Critico, Colonna / 20x100]

Soli	Sollecitazioni trave [Lineare, Co #6 (SLU)]											
	Se.	Loc. [m]	Nodo	Nx [daN]	Vy [daN]	Vz [daN]	My [daNm]	Mz [daNm]				
Ext.												
1	1	0	(1)	-981.0	78.370	0	0	111.093				
1	1	2.000	(2)	0	6.697	0	0	0				
1	1	1.875	(17)	*	6.697	*	*	*				
1	1	0	(1)	ż	78.370	*	±	±				
1	1	0.875	(13)	*	*	0	±	*				
1	- 1	1.875	(17)	*	*	0	*	ź				
1	1	1.938		2	*	*	0	*				
1	1	2.000	(2)	*	*	*	0	*				
1	1	2.000	(2)	0	6.697	0	0	0				
1	1	0	(1)	-981.0	78.370	0	0	111.093				

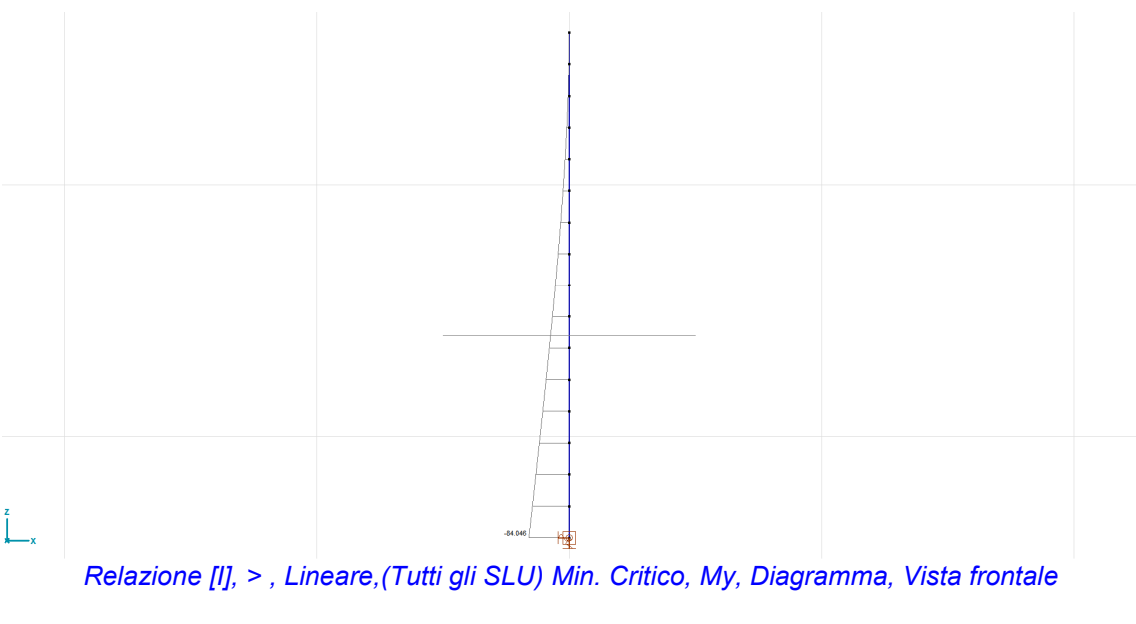


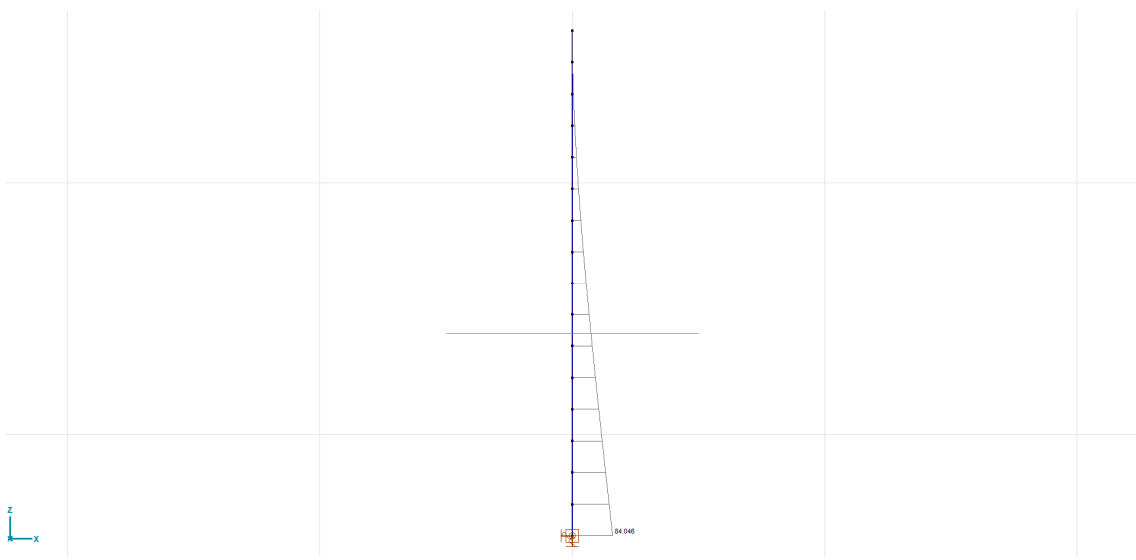
Relazione [I], > , Lineare,(Tutti gli SLU) Min. Critico, Nx, Diagramma, Vista frontale

15

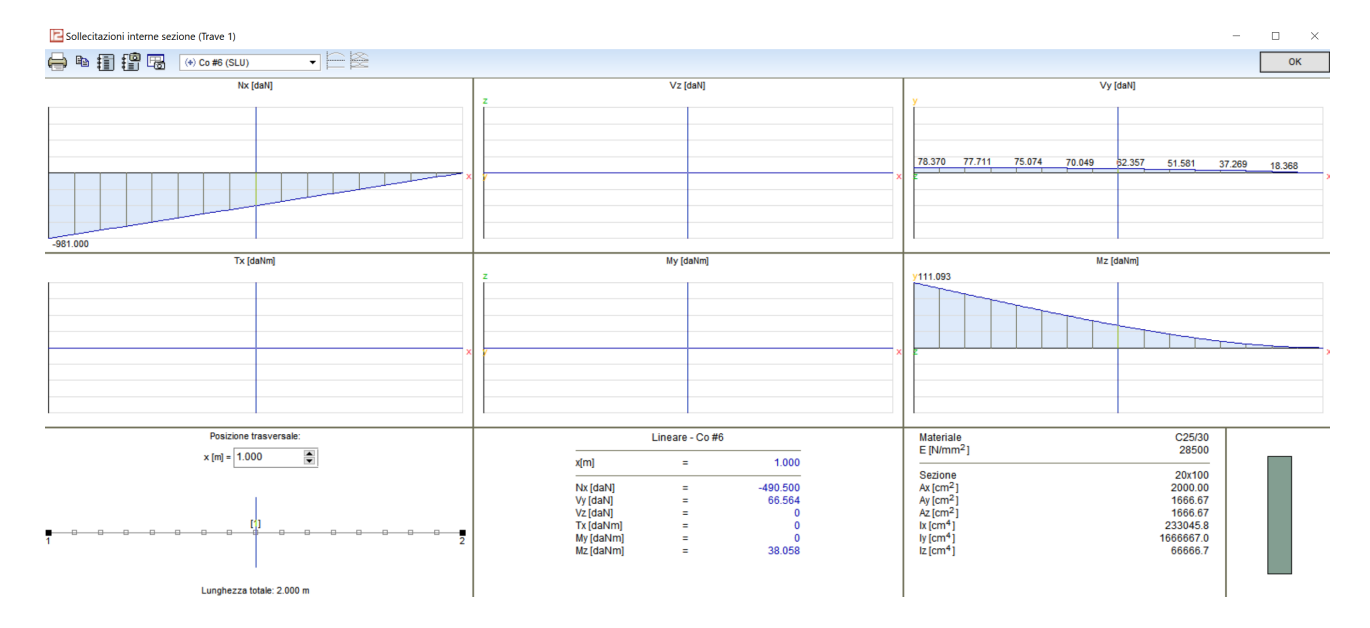


Relazione [I], > , Lineare,(Tutti gli SLU) Max. Critico, Vz, Diagramma, Vista frontale





Relazione [I], > , Lineare,(Tutti gli SLU) Max. Critico, My, Diagramma, Vista frontale



Massime sollecitazioni sul muro

Vento:

N = 600 daN M = 190.58 daNm T = 190.58 daN

Sisma

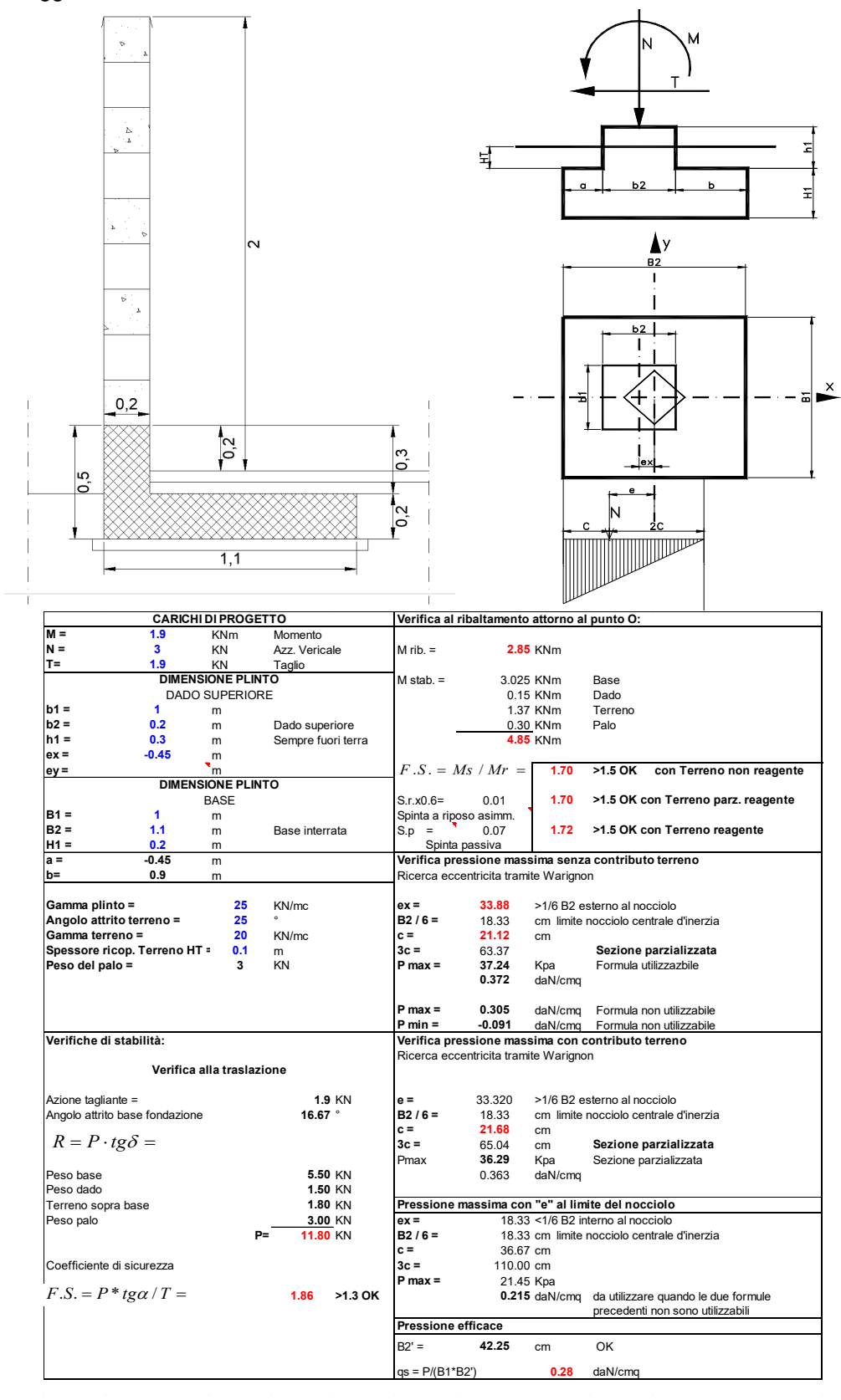
N = 981 daN M =111 daNm T = 78 daN

Si considera la condizione più sfavorevole che per il caso in oggetto è rappresentata dal Vento impattante la parete piena alta 2,00m.

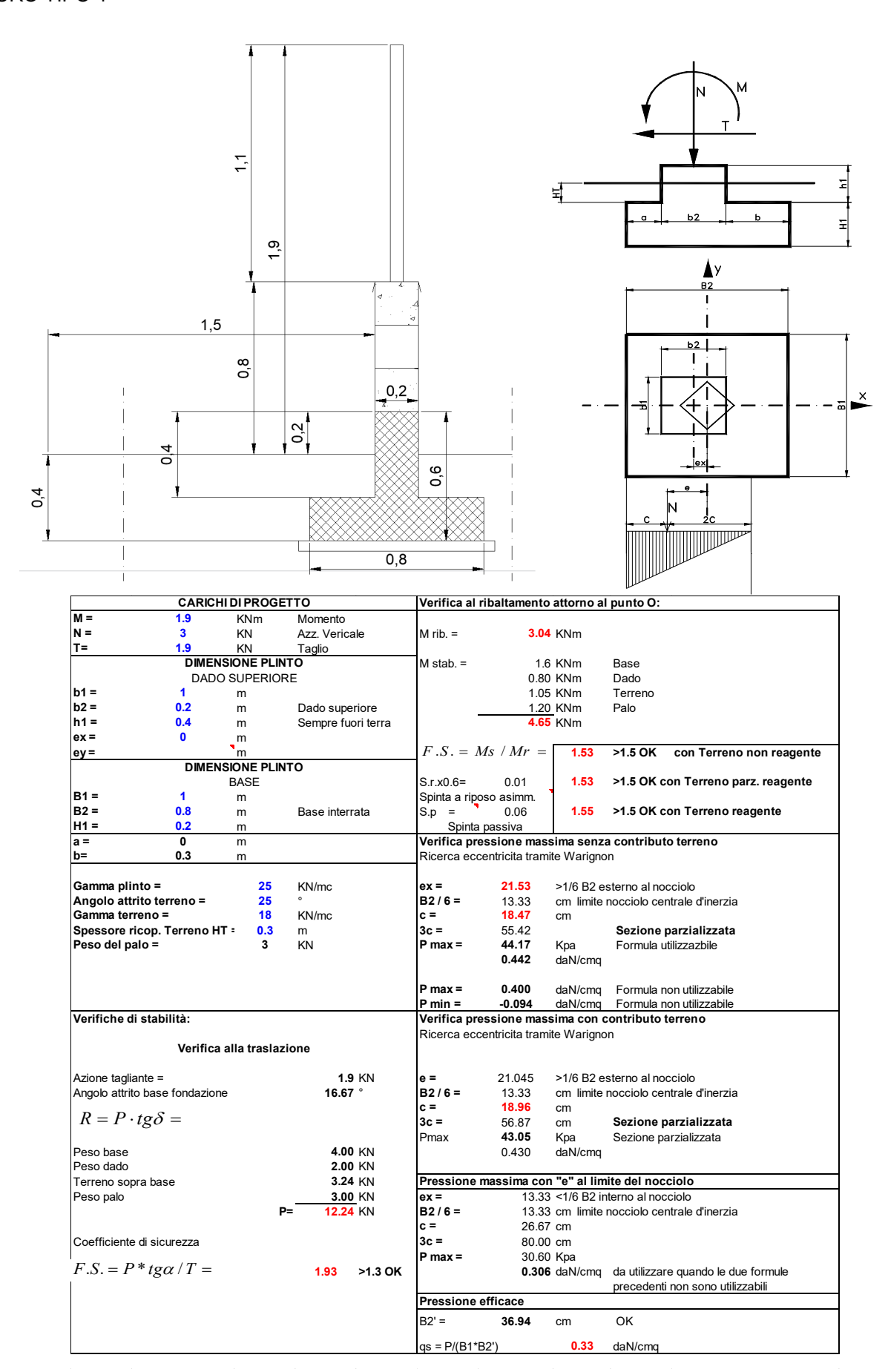
Verifica a ribaltamento

MURO TIPO 1-2-3

Si verifica la sezione con caratteristiche geometriche minime considerando tutte le altre tipologie di dimensioni maggiori verificate.



MURO TIPO 4



Relazione di calcolo 20

daN/cm²

VERIFICA PILASTRINI INTERNI ALLA MURATURA

Al fine di garantire la stabilità die blocchi splittati si prevede di realizzare ogni 2m dei pilastrini in calcestruzzo armato all'interno della muratura 15X15cm.

Le sollecitazioni agenti su ciscun pilastrino sono:

M = 190 daNm x 2 = 380 daNm

T = 190 daN x 2 = 380 daN

N= Peso proprio pilastrino = 0.15 * 0.15 * 2 * 2500 = 112.5 daN

DATI GENERALI SEZIONE IN C.A.

Descrizione Sezione:

Metodo di calcolo resistenza: Stati Limite Ultimi

Normativa di riferimento: N.T.C.

Tipologia sezione: Sezione predefinita Forma della sezione: Rettangolare

Percorso sollecitazione: A Sforzo Norm. costante Riferimento Sforzi assegnati: Assi x,y principali d'inerzia

Riferimento alla sismicità: Zona non sismica

CARATTERISTICHE DI RESISTENZA DEI MATERIALI IMPIEGATI

CALCESTRUZZO -Classe: C25/30

Resistenza compress. di calcolo fcd: 141.60 Deform. unitaria max resistenza ec2: 0.0020 Deformazione unitaria ultima ecu: 0.0035 Diagramma tensioni-deformaz.: Parabola-Rettangolo

Modulo Elastico Normale Ec: 314750 daN/cm² Resis. media a trazione fctm: 25.60 daN/cm²

ACCIAIO -Tipo: B450C

> Resist. caratt. a snervamento fyk: 4500.0 daN/cm² Resist. caratt. a rottura ftk: 4500.0 daN/cm² Resist. a snerv. di calcolo fyd: 3913.0 daN/cm² Resist. ultima di calcolo ftd: 3913.0 daN/cm²

0.068 Deform. ultima di calcolo Epu:

Modulo Elastico Ef: 2000000 daN/cm²

Diagramma tensioni-deformaz.: Bilineare finito

CARATTERISTICHE GEOMETRICHE ED ARMATURE SEZIONE

Base: 15.0 cm Altezza: 15.0 cm 2Ø12 (2.3 cm²) Barre inferiori: Barre superiori: 2Ø12 (2.3 cm²) Coprif.Inf.(dal baric. barre): 3.0 cm Coprif.Sup.(dal baric. barre): 3.0 cm

ST.LIM.ULTIMI - SFORZI PER OGNI COMBINAZIONE ASSEGNATA

Sforzo normale [daN] applicato nel baricentro (posit. se di compress.) Mx Momento flettente [daNm] intorno all'asse x baric. della sezione con verso positivo se tale da comprimere il lembo sup. della sezione

Taglio [daN] in direzione parallela all'asse y baric. della sezione

Vy MT Momento torcente [daN m]

N°Comb. Ν MT Mx Vy 1 112 380 380 0 Relazione di calcolo 21

RISULTATI DEL CALCOLO

Sezione verificata per tutte le combinazioni assegnate

Copriferro netto minimo barre longitudinali: 2.4 cm Interferro netto minimo barre longitudinali: 7.8 cm Copriferro netto minimo staffe: 2.3 cm

METODO AGLI STATI LIMITE ULTIMI - RISULTATI PRESSO-TENSO FLESSIONE

Ver S = combinazione verificata / N = combin. non verificata

N Sforzo normale [daN] applicato nel Baricentro (positivo se di compressione)
Mx Momento flettente assegnato [daNm] riferito all'asse x baricentrico
N Ult Sforzo normale ultimo [daN] nella sezione (positivo se di compress.)
Mx Ult Momento flettente ultimo [daNm] riferito all'asse x baricentrico
Mis.Sic. Misura sicurezza = rapporto vettoriale tra (N Ult,Mx Ult) e (N,Mx)
Verifica positiva se tale rapporto risulta >=1.000
Yneutro Ordinata [cm] dell'asse neutro a rottura nel sistema di rif. X,Y,O sez.

Yneutro Ordinata [cm] dell'asse neutro a rottura nel siste Mx sn. Momento flettente allo snervamento [daNm]

x/d Rapp. di duttilità a rottura per sole travi (N = 0) C.Rid. Coeff. di riduz. momenti in travi continue [formula (4.1.1)NTC]

As Tesa Area armature long. [cm²] in zona tesa per sole travi (l'area minima ex (4.1.43)NTC è indicata tra parentesi)

N Ult N°Comb Ver Ν Mx Mx Ult Mis.Sic. Yn M sn x/d C.Rid. As Tesa S 112 380 109 894 2.353 871 1 11.4

METODO AGLI STATI LIMITE ULTIMI - DEFORMAZIONI UNITARIE ALLO STATO ULTIMO

ec max Deform. unit. massima del conglomerato a compressione

ec 3/7 Deform. unit. del conglomerato nella fibra a 3/7 dell'altezza efficace Yc max Ordinata in cm della fibra corrisp. a ec max (sistema rif. X,Y,O sez.) es min Deform. unit. minima nell'acciaio (negativa se di trazione)

Ys min
es max
Ordinata in cm della barra corrisp. a es min (sistema rif. X,Y,O sez.)
Deform. unit. massima nell'acciaio (positiva se di compressione)
Ys max
Ordinata in cm della barra corrisp. a es max (sistema rif. X,Y,O sez.)

N°Comb ec max ec 3/7 Yc max es min Ys min es max Ys max 0.00350 0.00060 1 -0.00271 15.0 12.0 -0.00809 3.0

METODO SLU - VERIFICHE A TAGLIO SENZA ARMATURE TRASVERSALI (§ 4.1.2.1.3.1 NTC)

Ver S = comb.verificata a taglio/ N = comb. non verificata

Vsdu Taglio agente [daN] uguale al taglio Vy di comb. (sollecit. retta)

Vwct Taglio trazione resistente [daN] in assenza di staffe [formula (4.1.14)NTC]

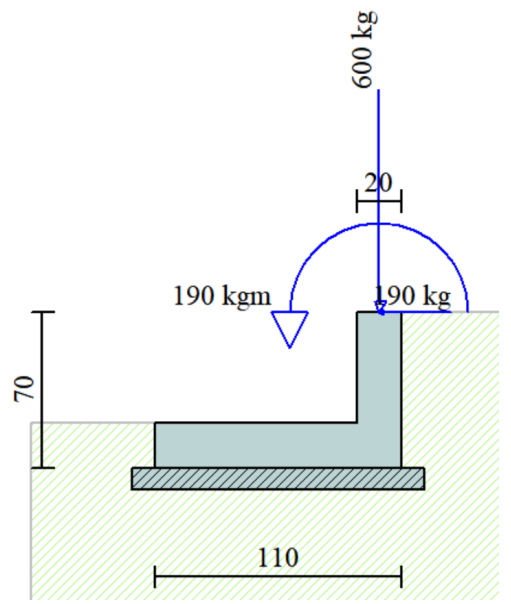
d Altezza utile sezione [cm] bw Larghezza minima sezione [cm]

Ro Rapporto geometrico di armatura longitudinale [<0.02] Scp Tensione media di compressione nella sezione [daN/cm²]

N°Comb Ver Vsdu Vwct d bw Ro Scp 1 S 380 1363 12.0 15.0 0.0126 0.0

VERIFICA MURO TIPO 1-2-3

N.B. SI VERIFICA QUELLO PIU' GRAVOSO RITENENDO VERIFICATI GLI ALTRI DI DIMENSIONI MAGGIORI



Calcolo della spinta sul muro

Valori caratteristici e valori di calcolo

Effettuando il calcolo tramite gli Eurocodici è necessario fare la distinzione fra i parametri caratteristici ed i valodi di calcolo (o di progetto) sia delle azioni che delle resistenze.

I valori di calcolo si ottengono dai valori caratteristici mediante l'applicazione di opportuni coefficienti di sicurezza parziali γ. In particolare si distinguono combinazioni di carico di tipo **A1-M1** nelle quali vengono incrementati i carichi e lasciati inalterati i parametri di resistenza del terreno e combinazioni di carico di tipo **A2-M2** nelle quali vengono ridotti i parametri di resistenza del terreno e incrementati i soli carichi variabili.

Metodo di Culmann

Il metodo di Culmann adotta le stesse ipotesi di base del metodo di Coulomb. La differenza sostanziale è che mentre Coulomb considera un terrapieno con superficie a pendenza costante e carico uniformemente distribuito (il che permette di ottenere una espressione in forma chiusa per il coefficiente di spinta) il metodo di Culmann consente di analizzare situazioni con profilo di forma generica e carichi sia concentrati che distribuiti comunque disposti. Inoltre, rispetto al metodo di Coulomb, risulta più immediato e lineare tener conto della coesione del masso spingente. Il metodo di Culmann, nato come metodo essenzialmente grafico, si è evoluto per essere trattato mediante analisi numerica (noto in questa forma come metodo del cuneo di tentativo). Come il metodo di Coulomb anche questo metodo considera una superficie di rottura rettilinea.

I passi del procedimento risolutivo sono i seguenti:

- si impone una superficie di rottura (angolo di inclinazione ρ rispetto all'orizzontale) e si considera il cuneo di spinta delimitato dalla superficie di rottura stessa, dalla parete su cui si calcola la spinta e dal profilo del terreno;
- si valutano tutte le forze agenti sul cuneo di spinta e cioè peso proprio (W), carichi sul terrapieno, resistenza per attrito e per coesione lungo la superficie di rottura (R e C) e resistenza per coesione lungo la parete (A);
- dalle equazioni di equilibrio si ricava il valore della spinta S sulla parete.

Questo processo viene iterato fino a trovare l'angolo di rottura per cui la spinta risulta massima.

La convergenza non si raggiunge se il terrapieno risulta inclinato di un angolo maggiore dell'angolo d'attrito del terreno.

Nei casi in cui è applicabile il metodo di Coulomb (profilo a monte rettilineo e carico uniformemente distribuito) i risultati ottenuti col metodo di Culmann coincidono con quelli del metodo di Coulomb.

Le pressioni sulla parete di spinta si ricavano derivando l'espressione della spinta S rispetto all'ordinata z. Noto il diagramma delle pressioni è possibile ricavare il punto di applicazione della spinta.

Spinta in presenza di sisma

Per tener conto dell'incremento di spinta dovuta al sisma si fa riferimento al metodo di Mononobe-Okabe (cui fa riferimento la Normativa Italiana).

La Normativa Italiana suggerisce di tener conto di un incremento di spinta dovuto al sisma nel modo seguente.

23

Detta ϵ l'inclinazione del terrapieno rispetto all'orizzontale e β l'inclinazione della parete rispetto alla verticale, si calcola la spinta S' considerando un'inclinazione del terrapieno e della parte pari a

$$\varepsilon' = \varepsilon + \theta$$

$$\beta' = \beta + \theta$$

dove θ = arctg(k_h/(1±k_v)) essendo k_h il coefficiente sismico orizzontale e k_v il coefficiente sismico verticale, definito in funzione di k_h. In presenza di falda a monte, θ assume le seguenti espressioni:

Terreno a bassa permeabilità

$$\theta = arctg[(\gamma_{sat}/(\gamma_{sat}-\gamma_{w}))^{*}(k_{h}/(1\pm k_{v}))]$$

Terreno a permeabilità elevata

$$\theta = arctg[(\gamma/(\gamma_{sat}-\gamma_{w}))^{*}(k_{h}/(1\pm k_{v}))]$$

Detta S la spinta calcolata in condizioni statiche l'incremento di spinta da applicare è espresso da

$$\Delta S = AS' - S$$

dove il coefficiente A vale

$$A = \frac{\cos^2(\beta + \theta)}{\cos^2\beta\cos\theta}$$

In presenza di falda a monte, nel coefficiente A si tiene conto dell'influenza dei pesi di volume nel calcolo di θ .

Adottando il metodo di Mononobe-Okabe per il calcolo della spinta, il coefficiente A viene posto pari a 1.

Tale incremento di spinta è applicato a metà altezza della parete di spinta nel caso di forma rettangolare del diagramma di incremento sismico, allo stesso punto di applicazione della spinta statica nel caso in cui la forma del diagramma di incremento sismico è uguale a quella del diagramma statico.

Oltre a questo incremento bisogna tener conto delle forze d'inerzia orizzontali e verticali che si destano per effetto del sisma. Tali forze vengono valutate come

$$F_{iH} = k_h W$$
 $F_{iV} = \pm k_v W$

dove W è il peso del muro, del terreno soprastante la mensola di monte ed i relativi sovraccarichi e va applicata nel baricentro dei pesi. Il metodo di Culmann tiene conto automaticamente dell'incremento di spinta. Basta inserire nell'equazione risolutiva la forza d'inerzia del cuneo di spinta. La superficie di rottura nel caso di sisma risulta meno inclinata della corrispondente superficie in assenza di sisma.

Verifica a ribaltamento

La verifica a ribaltamento consiste nel determinare il momento risultante di tutte le forze che tendono a fare ribaltare il muro (momento ribaltante M_r) ed il momento risultante di tutte le forze che tendono a stabilizzare il muro (momento stabilizzante M_s) rispetto allo spigolo a valle della fondazione e verificare che il rapporto M_s/M_r sia maggiore di un determinato coefficiente di sicurezza η_r . Esequendo il calcolo mediante gli eurocodici si puo impostare $\eta_r > 1.0$.

Deve quindi essere verificata la seguente diseguaglianza

Il momento ribaltante M_r è dato dalla componente orizzontale della spinta S, dalle forze di inerzia del muro e del terreno gravante sulla fondazione di monte (caso di presenza di sisma) per i rispettivi bracci. Nel momento stabilizzante interviene il peso del muro (applicato nel baricentro) ed il peso del terreno gravante sulla fondazione di monte. Per quanto riguarda invece la componente verticale della spinta essa sarà stabilizzante se l'angolo d'attrito terra-muro δ è positivo, ribaltante se δ è negativo. δ è positivo quando è il terrapieno che scorre rispetto al muro, negativo quando è il muro che tende a scorrere rispetto al terrapieno (questo può essere il caso di una spalla da ponte gravata da carichi notevoli). Se sono presenti dei tiranti essi contribuiscono al momento stabilizzante. Questa verifica ha significato solo per fondazione superficiale e non per fondazione su pali.

Verifica a scorrimento

Per la verifica a scorrimento del muro lungo il piano di fondazione deve risultare che la somma di tutte le forze parallele al piano di posa che tendono a fare scorrere il muro deve essere minore di tutte le forze, parallele al piano di scorrimento, che si oppongono allo scivolamento, secondo un certo coefficiente di sicurezza. La verifica a scorrimento sisulta soddisfatta se il rapporto fra la risultante delle forze resistenti allo scivolamento F_r e la risultante delle forze che tendono a fare scorrere il muro F_s risulta maggiore di un determinato coefficiente di sicurezza η_s

Eseguendo il calcolo mediante gli Eurocodici si può impostare η_s>=1.0

Le forze che intervengono nella F_s sono: la componente della spinta parallela al piano di fondazione e la componente delle forze d'inerzia parallela al piano di fondazione.

La forza resistente è data dalla resistenza d'attrito e dalla resistenza per adesione lungo la base della fondazione. Detta N la componente normale al piano di fondazione del carico totale gravante in fondazione e indicando con δ_f l'angolo d'attrito terrenofondazione, con c_a l'adesione terreno-fondazione e con B_r la larghezza della fondazione reagente, la forza resistente può esprimersi come

$$F_r = N \operatorname{tg} \delta_f + c_a B_r$$

La Normativa consente di computare, nelle forze resistenti, una aliquota dell'eventuale spinta dovuta al terreno posto a valle del muro. In tal caso, però, il coefficiente di sicurezza deve essere aumentato opportunamente. L'aliquota di spinta passiva che si può considerare ai fini della verifica a scorrimento non può comunque superare il 50 percento.

Per quanto riguarda l'angolo d'attrito terra-fondazione, δ_f , diversi autori suggeriscono di assumere un valore di δ_f pari all'angolo d'attrito del terreno di fondazione.

Verifica al carico limite

Il rapporto fra il carico limite in fondazione e la componente normale della risultante dei carichi trasmessi dal muro sul terreno di fondazione deve essere superiore a η_q . Cioè, detto Q_u , il carico limite ed R la risultante verticale dei carichi in fondazione, deve essere:

$$Q_u$$
 >= η_q

Eseguendo il calcolo mediante gli Eurocodici si può impostare η_σ>=1.0

Le espressioni di Hansen per il calcolo della capacità portante si differenziano a secondo se siamo in presenza di un terreno puramente coesivo (φ=0) o meno e si esprimono nel modo seguente:

Caso generale

$$q_u = cN_cs_cd_ci_cg_cb_c + qN_qs_qd_qi_qg_qb_q + 0.5B\gamma N_\gamma s_\gamma d_\gamma i_\gamma g_\gamma b_\gamma$$

Caso di terreno puramente coesivo φ=0

$$q_u = 5.14c(1+s_c+d_c-i_c-g_c-b_c) + q$$

in cui d_c , d_q , d_γ , sono i fattori di profondità; s_c , s_q , s_γ , sono i fattori di forma; i_c , i_q , i_γ , sono i fattori di inclinazione del carico; b_c , b_q , b_γ , sono i fattori di inclinazione del piano di posa; g_c , g_q , g_γ , sono i fattori che tengono conto del fatto che la fondazione poggi su un terreno in pendenza.

I fattori N_c, N_α, N_γ sono espressi come:

$$N_{q} = e^{\pi t g \phi} K_{p}$$

$$N_c = (N_q - 1)ctg\phi$$

$$N_{\gamma} = 1.5(N_q - 1)tg\phi$$

Vediamo ora come si esprimono i vari fattori che compaiono nella espressione del carico ultimo.

Fattori di forma

per
$$\phi > 0$$
 $s_c = 1 + \frac{N_q}{N_c} = \frac{B}{L}$

$$s_q = 1 + \frac{B}{I}$$

$$s_{\gamma} = 1 - 0.4 \frac{B}{\Box}$$

Fattori di profondità

Si definisce il parametro k come

$$k = \frac{D}{B}$$
 se $\frac{D}{B} <= 1$

$$k = arctg \frac{D}{B}$$
 se $\frac{D}{B} > 1$

I vari coefficienti si esprimono come

per
$$\phi$$
=0 d_c = 0.4k

$$d_q = 1+2tg\phi(1-sin\phi)^2k$$

$$_{\gamma} = ^{\prime}$$

Fattori di inclinazione del carico

Indichiamo con V e H le componenti del carico rispettivamente perpendicolare e parallela alla base e con A_f l'area efficace della fondazione ottenuta come A_f = B'xL' (B' e L' sono legate alle dimensioni effettive della fondazione B, L e all'eccentricità del carico e_B , e_L dalle relazioni B' = B-2 e_B E' = L- 2 e_L) e con e_B | L' angolo di inclinazione della fondazione espresso in gradi (e_B) per fondazione orizzontale).

I fattori di inclinazione del carico si esprimono come:

per
$$\phi = 0$$
 $i_c = 1/2(1-\sqrt{[1-\frac{H}{ArC_a}]})$

per
$$\phi > 0$$
 $i_c = i_q - \frac{1 - i_q}{N_q - 1}$

$$i_q = (1 - \frac{0.5H}{V + A_f c_a ctg\phi})^5$$

per
$$\eta$$
 = 0 i_{γ} = (1 - $\frac{0.7H}{V + A_f c_a ctg \phi})^5$

$$\label{eq:per_eta_sigma} \text{per } \eta > 0 \qquad \quad i_{_{\gamma}} = (1 - \frac{(0.7 \text{-} \eta^{\circ}/450^{\circ}) H}{V + A_{_{1}}c_{_{3}}ctg\varphi})^{5}$$

Fattori di inclinazione del piano di posa della fondazione

per
$$\phi$$
=0 $b_c = \frac{\eta^{\circ}}{147^{\circ}}$

per
$$\phi$$
>0 $b_c = 1 - \frac{\eta^{\circ}}{147^{\circ}}$

$$b_q = e^{\text{-}2\eta t g \phi}$$

$$b_{\gamma} = e^{-2.7\eta t g \phi}$$

Fattori di inclinazione del terreno

Indicando con β la pendenza del pendio i fattori g si ottengono dalle espressioni seguenti:

per
$$\phi$$
=0 $g_c = \frac{\beta^\circ}{147^\circ}$

$$g_q = g_y = (1-0.05tg\beta)^5$$

Per poter applicare la formula di Hansen devono risultare verificate le seguenti condizioni:

$$H < Vtg\delta + A_fc_a$$

$$i_q, i_y > 0$$

$$\beta + \eta <= 90^{\circ}$$

Verifica alla stabilità globale

La verifica alla stabilità globale del complesso muro+terreno deve fornire un coefficiente di sicurezza non inferiore a η_{α}

Eseguendo il calcolo mediante gli Eurocodici si può impostare η_g >=1.0

Viene usata la tecnica della suddivisione a strisce della superficie di scorrimento da analizzare. La superficie di scorrimento viene supposta circolare e determinata in modo tale da non avere intersezione con il profilo del muro o con i pali di fondazione. Si determina il minimo coefficiente di sicurezza su una maglia di centri di dimensioni 10x10 posta in prossimità della sommità del muro. Il numero di strisce è pari a 50.

Si adotta per la verifica di stabilità globale il metodo di Bishop.

Il coefficiente di sicurezza nel metodo di Bishop si esprime secondo la seguente formula:

$$\Sigma_{i} \ (\frac{c_{i}b_{i}+(W_{i}-u_{i}b_{i})tg\phi_{i}}{m})$$

$$\eta = \frac{\sum W_{sing}}{\sum W_{sing}}$$

dove il termine m è espresso da

$$m = (1 + \frac{tg\phi_i tg\alpha_i}{\eta})\cos\alpha_i$$

In questa espressione n è il numero delle strisce considerate, b_i e α_i sono la larghezza e l'inclinazione della base della striscia i_{esima} rispetto all'orizzontale, W_i è il peso della striscia i_{esima} , c_i e ϕ_i sono le caratteristiche del terreno (coesione ed angolo di attrito) lungo la base della striscia ed u_i è la pressione neutra lungo la base della striscia.

L'espressione del coefficiente di sicurezza di Bishop contiene al secondo membro il termine m che è funzione di η . Quindi essa viene risolta per successive approsimazioni assumendo un valore iniziale per η da inserire nell'espressione di m ed iterare finquando il valore calcolato coincide con il valore assunto.

Relazione di calcolo

28

Normativa

N.T.C. 2008 - Approccio 1

Sim	bol	logia	ado	ttata

Coefficiente parziale sfavorevole sulle azioni permanenti γGsfav Coefficiente parziale favorevole sulle azioni permanenti Coefficiente parziale sfavorevole sulle azioni variabili Coefficiente parziale favorevole sulle azioni variabili γGfav γQsfav γQfav Coefficiente parziale di riduzione dell'angolo di attrito drenato Coefficiente parziale di riduzione della coesione drenata γtan_φ' γс Coefficiente parziale di riduzione della coesione non drenata
Coefficiente parziale di riduzione della coesione non drenata
Coefficiente parziale di riduzione della resistenza a compressione uniassiale delle rocce γси

Coefficienti di partecipazione combinazioni statiche

Coefficienti parziali per le	e azioni o per l'effetto delle	azioni:				
Carichi	Effetto		A1	A2	EQU	HYD
Permanenti	Favorevole	γGfav	1.00	1.00	0.90	0.90
Permanenti	Sfavorevole	γGsfav	1.30	1.00	1.10	1.30
Variabili	Favorevole	γQfav	0.00	0.00	0.00	0.00
Variabili	Sfavorevole	γ Qsfav	1.50	1.30	1.50	1.50
	parametri geotecnici del te	rreno:				
Parametri			M1	M2	M2	M1
Tangente dell'angolo di a	attrito	γ _{tanφ'}	1.00	1.25	1.25	1.00
Coesione efficace		γ _{c'}	1.00	1.25	1.25	1.00
Resistenza non drenata		γ_{cu}	1.00	1.40	1.40	1.00
Resistenza a compression		$\gamma_{ m qu}$	1.00	1.60	1.60	1.00
Peso dell'unità di volume	•	γ_{γ}	1.00	1.00	1.00	1.00
Coefficienti di partecip	azione combinazioni sisr	niche				
	e azioni o per l'effetto delle	azioni:				
Carichi	Effetto		A1	A2	EQU	HYD
Permanenti	Favorevole	γGfav	1.00	1.00	1.00	0.90
Permanenti	Sfavorevole	γGsfav	1.00	1.00	1.00	1.30
Variabili	Favorevole	γQfav	0.00	0.00	0.00	0.00
Variabili	Sfavorevole	γQsfav	1.00	1.00	1.00	1.50
Coefficienti parziali per i	parametri geotecnici del te	rreno:				
Parametri			M1	M2	M2	M1
Tangente dell'angolo di a	attrito	γ _{tanφ'}	1.00	1.25	1.25	1.00
Coesione efficace		γ _{c'}	1.00	1.25	1.25	1.00
Resistenza non drenata		γ _{cu}	1.00	1.40	1.40	1.00
Resistenza a compression	one uniassiale	γ _{qu}	1.00	1.60	1.60	1.00
Peso dell'unità di volume)	γγ	1.00	1.00	1.00	1.00

FONDAZIONE SUPERFICIALE Coefficienti parziali γ_R per le verifiche agli stati limite ultimi STR e GEO

Verifica	Coefficienti parziali				
	R1	R2	R3		
Capacità portante della fondazione	1.00	1.00	1.40		
Scorrimento	1.00	1.00	1.10		
Resistenza del terreno a valle	1.00	1.00	1.40		
Stabilità globale		1.10			

Geometria muro e fondazione

Descrizione	Muro a mensola in c.a.
Altezza del paramento Spessore in sommità Spessore all'attacco con la fondazione Inclinazione paramento esterno Inclinazione paramento interno Lunghezza del muro	0.50 [m] 0.20 [m] 0.20 [m] 0.00 [°] 0.00 [°] 1.00 [m]
<u>Fondazione</u>	
Lunghezza mensola fondazione di valle Lunghezza mensola fondazione di monte Lunghezza totale fondazione Inclinazione piano di posa della fondazione Spessore estremità fondazione di valle Spessore all'incastro fondazione di valle Spessore all'incastro fondazione di monte Spessore estremità fondazione di monte Spessore magrone	0.90 [m] 0.00 [m] 1.10 [m] 0.00 [°] 0.20 [m] 0.20 [m] 0.00 [m] 0.00 [m] 0.10 [m]

Materiali utilizzati per la struttura

Calcestruzzo 2500.0 [kg/mc] Peso specifico C25/30 Classe di Resistenza 305.9 [kg/cmq] Resistenza caratteristica a compressione R_{ck} Modulo elastico E 320665.55 [kg/cmq] Acciaio Tipo B450C Tensione di snervamento σ_{fa} 4588.0 [kg/cmq]

Geometria profilo terreno a monte del muro

Simbologia adottata e sistema di riferimento (Sistema di riferimento con origine in testa al muro, ascissa X positiva verso monte, ordinata Y positiva verso l'alto)

N numero ordine del punto X ascissa del punto espressa in [m] Y ordinata del punto espressa in [m] A inclinazione del tratto espressa in [°]

N	Х	Υ	Α
1	0.80	0.00	0.00
2	4.00	0.00	0.00

Terreno a valle del muro

Inclinazione terreno a valle del muro rispetto all'orizzontale 0.00 0.00 Altezza del rinterro rispetto all'attacco fondaz.valle-paramento [m]

Descrizione terreni

Simbologia adottata

Indice del terreno Descrizione Descrizione terreno

Peso di volume del terreno espresso in [kg/mc] Peso di volume saturo del terreno espresso in [kg/mc] Angolo d'attrito interno espresso in [°]

Angolo d'attrito terra-muro espresso in [°] Coesione espressa in [kg/cmq] Adesione terra-muro espressa in [kg/cmq]

Descrizione	γ	γs	ф	δ	С	Ca
Terreno 1	1800	2000	30.00	20.00	0.000	0.000
Terreno 2	1800	2000	35.00	23.33	0.000	0.000

Stratigrafia

Simbologia adottata

Indice dello strato Spessore dello strato espresso in [m]

Costante di Winkler orizzontale espressa in Kg/cm²/cm Coefficiente di spinta

Terreno dello strato

Nr.	Н	а	Kw	Ks	Terreno
1	1.80	0.00	0.00	0.00	Terreno 1
2	3.00	0.00	0.00	0.00	Terreno 2

Condizioni di carico

Simbologia e convenzioni di segno adottate

Simbologia e convenzioni di segno adottate
Carichi verticali positivi verso il basso.
Carichi orizzontali positivi verso sinistra.
Momento positivo senso antiorario.

X Ascissa del punto di applicazione del carico concentrato espressa in [m]
F_x Componente orizzontale del carico concentrato espressa in [kg]
F_y Componente verticale del carico concentrato espressa in [kg]
M Momento espresso in [kgm]
X_i Ascissa del punto iniziale del carico ripartito espressa in [m]
X_i Ascissa del punto finale del carico ripartito espressa in [m]
Q_i Intensità del carico per x=X_i espressa in [kg/m]
D/C Tipo carico: D=distribuito C=concentrato

X F_x F_y M X_i X_f Q_i Q_f

Tipo carico : D=distribuito C=concentrato

Condizione n° 1 (VENTO)

С	Paramento	X=- 0.10	Y =0.00	F _x =190.00	F _y =600.00	M =190.00
---	-----------	-----------------	----------------	-------------------------------	------------------------	------------------

Descrizione combinazioni di carico

Simbologia adottata

Effetto dell'azione (FAV: Favorevole, SFAV: Sfavorevole)
Coefficiente di partecipazione della condizione Coefficiente di combinazione della condizione

Combinazione n° 1 - Caso A1-M1 (STR)

Combinazione II I - Caso A I-IVII (STR	-			
	S/F	γ	Ψ	γ*Ψ
Peso proprio muro	FAV	1.00	1.00	1.00
Peso proprio terrapieno	FAV	1.00	1.00	1.00
Spinta terreno	SFAV	1.30	1.00	1.30
VENTO	SFAV	1.30	1.00	1.30
	0.7			
Combinazione n° 2 - Caso A1-M1 (STR)			
	S/F	γ	Ψ	γ*Ψ
Peso proprio muro	SFAV	1.30	1.00	1.30
Peso proprio terrapieno	SFAV	1.30	1.00	1.30
Spinta terreno	SFAV	1.30	1.00	1.30
VENTO	SFAV	1.30	1.00	1.30
VENTO	SFAV	1.30	1.00	1.30
Combinazione n° 3 - Caso A2-M2 (GEO	1)			
COMBINAZIONE N 0 - Caso AZ-INZ (CEC	S/F	•	Ψ	γ*Ψ
Dogo proprio muro	SFAV	γ 1.00	1.00	1.00
Peso proprio muro	SFAV	1.00	1.00	1.00
Peso proprio terrapieno				
Spinta terreno	SFAV	1.00	1.00	1.00
VENTO	SFAV	1.00	1.00	1.00
Comphinesiana nº 4 Cons FOLL(SLIL)				
Combinazione n° 4 - Caso EQU (SLU)	S/F		177	* 176
		γ	Ψ	γ*Ψ
Peso proprio muro	FAV	0.90	1.00	0.90
Peso proprio terrapieno	FAV	0.90	1.00	0.90
Spinta terreno	SFAV	1.10	1.00	1.10
VENTO	SFAV	1.10	1.00	1.10
Combinazione n° 5 - Caso A2-M2 (GEO				
	S/F	γ	Ψ	γ*Ψ
Peso proprio muro	SFAV	1.00	1.00	1.00
Peso proprio terrapieno	SFAV	1.00	1.00	1.00
Spinta terreno	SFAV	1.00	1.00	1.00
VENTO	SFAV	1.00	1.00	1.00
Combinazione n° 6 - Caso A1-M1 (STR) - Sisma Vert. p	<u>ositivo</u>		
	S/F	γ	Ψ	γ*Ψ
Peso proprio muro	SFAV	1.00	1.00	1.00
•				

Peso proprio terrapieno	SFAV	1.00	1.00	1.00
Spinta terreno	SFAV	1.00	1.00	1.00
VENTO	SFAV	1.00	1.00	1.00
Combinazione n° 7 - Caso A2-M2	(GEO) - Sisma Vert. p	ositivo		
	S/F	γ	Ψ	γ*Ψ
Peso proprio muro	SFAV	1.00	1.00	1.00
Peso proprio terrapieno	SFAV	1.00	1.00	1.00
Spinta terreno	SFAV	1.00	1.00	1.00
VENTO	SFAV	1.00	1.00	1.00

Impostazioni di analisi

Metodo verifica sezioni	Stato limite
Impostazioni verifiche SLU	
Coefficienti parziali per resistenze di calcolo dei materiali Coefficiente di sicurezza calcestruzzo a compressione Coefficiente di sicurezza acciazo a trazione Coefficiente di sicurezza acciaio Fattore riduzione da resistenza cubica a cilindrica Fattore di riduzione per carichi di lungo periodo Coefficiente di sicurezza per la sezione	1.50 1.50 1.15 0.83 0.85 1.00

Calcolo della portanza metodo di Hansen

Coefficiente correttivo su Ny per effetti cinematici (combinazioni sismiche SLU): 1.00 Coefficiente correttivo su Ny per effetti cinematici (combinazioni sismiche SLE): 1.00

Impostazioni avanzate

Influenza del terreno sulla fondazione di valle nelle verifiche e nel calcolo delle sollecitazioni Diagramma correttivo per eccentricità negativa con aliquota di parzializzazione pari a 0.00

Quadro riassuntivo coeff. di sicurezza calcolati

Simbologia adottata

C Tipo Sisma Identificativo della combinazione Tipo combinazione Combinazione sismica CS_{SCO} CS_{RIB} Coeff. di sicurezza allo scorrimento Coeff. di sicurezza al ribaltamento CS_{QLIM} CS_{STAB} Coeff. di sicurezza a carico limite Coeff. di sicurezza a stabilità globale

С	Tipo	Sisma	CS _{sco}	CS rib	CS _{qlim}	CS _{stab}
1	A1-M1 - [1]		1.60		6.00	
2	A1-M1 - [1]		1.81		5.71	
3	A2-M2 - [1]		1.35		3.36	
4	EQU - [1]			3.07		
5	STAB - [1]					1.79
6	A1-M1 - [2]	Orizzontale + Verticale positivo	1.71		7.01	
7	A2-M2 - [2]	Orizzontale + Verticale positivo	1.26		3.17	

Analisi della spinta e verifiche

Sistema di riferimento adottato per le coordinate : Origine in testa al muro (spigolo di monte) Ascisse X (espresse in [m]) positive verso monte Ordinate Y (espresse in [m]) positive verso l'alto

Le forze orizzontali sono considerate positive se agenti da monte verso valle Le forze verticali sono considerate positive se agenti dall'alto verso il basso

Calcolo riferito ad 1 metro di muro

Tipo di analisi

Calcolo della spinta Calcolo del carico limite Calcolo della stabilità globale Calcolo della spinta in condizioni di metodo di Culmann metodo di Hansen metodo di Bishop Spinta attiva

Sisma

Combinazioni SLU Accelerazione al suolo a_g Coefficiente di amplificazione per tipo di sottos Coefficiente di amplificazione topografica (St) Coefficiente riduzione (β_m) Rapporto intensità sismica verticale/orizzontale Coefficiente di intensità sismica orizzontale (per Coefficiente di intensità sismica verticale (per Coefficiente di intensità sismica verticale) Forma diagramma incremento sismico Partecipazione spinta passiva (percento) Lunghezza del muro Peso muro Baricentro del muro	e ercento)	$\begin{array}{c} 0.58 \ [\text{m/s}^2] \\ 1.50 \\ 1.00 \\ 0.18 \\ 0.50 \\ k_h = (a_g/g^*\beta_m^*S \\ k_v = 0.50 * k_h = \\ Stessa \ forma \\ 50.0 \\ 1.00 \ [\text{m}] \\ 800.00 \ [\text{kg}] \\ X = -0.41 \ Y = - \end{array}$	0.79 diagramma s	statico	
Superficie di spinta Punto inferiore superficie di spinta Punto superiore superficie di spinta Altezza della superficie di spinta Inclinazione superficie di spinta(rispetto alla ve	erticale)	X = 0.00 Y = X = 0.00 Y = 0.70 [m] 0.00 [°]			
COMBINAZIONE n° 1 Peso muro favorevole e Peso terrapieno fav	vorevole				
Valore della spinta statica Componente orizzontale della spinta statica Componente verticale della spinta statica Punto d'applicazione della spinta Inclinaz. della spinta rispetto alla normale alla Inclinazione linea di rottura in condizioni statich		170.31 160.04 58.25 X = 0.00 20.00 55.98	[kg] [kg] [kg] [m] [°] [°]	Y = -0.47	[m]
Peso terrapieno gravante sulla fondazione a m Baricentro terrapieno gravante sulla fondazion		0.00 X = 0.00	[kg] [m]	Y = 0.00	[m]
Risultanti carichi esterni Componente dir. X Componente dir. Y		247 780	[kg] [kg]		
Risultanti Risultante dei carichi applicati in dir. orizzontal Risultante dei carichi applicati in dir. verticale Resistenza passiva a valle del muro Sforzo normale sul piano di posa della fondazi Sforzo tangenziale sul piano di posa della fondazi Eccentricità rispetto al baricentro della fondazi Lunghezza fondazione reagente Risultante in fondazione Inclinazione della risultante (rispetto alla norma Momento rispetto al baricentro della fondazion Carico ultimo della fondazione	one dazione one ale)	407.04 1638.25 -54.00 1638.25 407.04 -0.02 1.10 1688.06 13.95 -38.27 9828.11	[kg] [kg] [kg] [kg] [m] [m] [kg] [kg] [sgm] [kg]		
Tensioni sul terreno Lunghezza fondazione reagente Tensione terreno allo spigolo di valle Tensione terreno allo spigolo di monte		1.10 0.1300 0.1679	[m] [kg/cmq] [kg/cmq]		
Fattori per il calcolo della capacità portante Coeff. capacità portante Fattori forma Fattori inclinazione Fattori profondità Fattori inclinazione piano posa Fattori inclinazione pendio I coefficienti N' tengono conto dei fattori di form	$N_c=30.14$ $s_c=1.00$ $i_c=0.49$ $d_c=1.07$ $b_c=1.00$ $g_c=1.00$ na, profondità, inclinazione $N'_c=15.76$	$\begin{array}{c} N_q=18.\\ s_q=1.\\ i_q=0.\\ d_q=1.\\ b_q=1.\\ g_q=1.\\ e \ carico,\ inclinazione\ j\\ N'_q=9. \end{array}$	00 52 05 00 00 oiano di posa	, inclinazion	$N_{\gamma} = 15.07$ $s_{\gamma} = 1.00$ $i_{\gamma} = 0.38$ $d_{\gamma} = 1.00$ $b_{\gamma} = 1.00$ $g_{\gamma} = 1.00$ e pendio. $N'_{\gamma} = 5.80$

COEFFICIENTI DI SICUREZZA	
Coefficiente di sicurezza a scorrimento	1.60
Coefficiente di sicurezza a carico ultimo	6.00

Relazione di calcolo

33

Sollecitazioni paramento

Combinazione n° 1

L'ordinata Y(espressa in m) è considerata positiva verso il basso con origine in testa al muro Momento positivo se tende le fibre contro terra (a monte), espresso in kgm Sforzo normale positivo di compressione, espresso in kg Taglio positivo se diretto da monte verso valle, espresso in kg

Nr.	Υ	N	M	Т
1	0.00	780.00	247.00	247.00
2	0.05	805.00	259.36	247.82
3	0.10	830.00	271.81	250.27
4	0.15	855.00	284.42	254.35
5	0.20	880.00	297.27	260.07
6	0.25	905.00	310.45	267.43
7	0.30	930.00	324.04	276.42
8	0.35	955.00	338.12	287.04
9	0.40	980.00	352.77	299.30
10	0.45	1005.00	368.08	313.19
11	0.50	1030.00	384.12	328.72
12	0.55	1055.00	400.98	345.88
13	0.60	1080.00	418.74	364.68
14	0.65	1105.00	437.47	385.11
15	0.70	1130.00	457.27	407.04

Sollecitazioni fondazione di valle

Combinazione n° 1 L'ascissa X(espressa in m) è considerata positiva verso monte con origine in corrispondenza dell'estremo libero della fondazione di valle Momento positivo se tende le fibre inferiori, espresso in kgm Taglio positivo se diretto verso l'alto, espresso in kg

Nr.	X	M	Т
1	0.00	0.00	0.00
2	0.18	13.29	149.51
3	0.36	54.49	310.20
4	0.54	125.63	482.07
5	0.72	228.71	665.11
6	0.90	365.74	859.34

Armature e tensioni nei materiali del muro

Combinazione n° 1

Combinazione n° 1

L'ordinata Y(espressa in [m]) è considerata positiva verso il basso con origine in testa al muro B base della sezione espressa in [cm]
H altezza della sezione espressa in [cm]
A_{is} area di armatura in corrispondenza del lembo di monte in [cmq]
A_{if} area di armatura in corrispondenza del lembo di valle in [cmq]
N_u sforzo normale ultimo espresso in [kg]
M_u momento ultimo espresso in [kg]
CS coefficiente sicurezza sezione
VRcd Aliquota di taglio assorbito dall'armatura, espresso in [kg]

storzo normale ulurio espresso in [kgm]
momento ultimo espresso in [kgm]
coefficiente sicurezza sezione
Aliquota di taglio assorbito dal cls, espresso in [kg]
Aliquota di taglio assorbito dall'armatura, espresso in [kg]
Resistenza al taglio, espresso in [kg] VRsd VRd

Nr.	Υ	В, Н	A_{fs}	A_{fi}	N_u	$M_{\rm u}$	CS	\mathbf{V}_{Rd}	V_{Rcd}	V_{Rsd}
1	0.00	100, 20	4.71	4.71	12767	-4043	16.37	8753		
2	0.05	100, 20	4.71	4.71	12483	-4022	15.51	8756		
3	0.10	100, 20	4.71	4.71	12222	-4002	14.73	8759		
4	0.15	100, 20	4.71	4.71	11977	-3984	14.01	8762		
5	0.20	100, 20	4.71	4.71	11743	-3967	13.34	8765		
6	0.25	100, 20	4.71	4.71	11514	-3950	12.72	8768		
7	0.30	100, 20	4.71	4.71	11288	-3933	12.14	8772		
8	0.35	100, 20	4.71	4.71	11061	-3916	11.58	8775		
9	0.40	100, 20	4.71	4.71	10831	-3899	11.05	8778		
10	0.45	100, 20	4.71	4.71	10599	-3882	10.55	8781		
11	0.50	100, 20	9.42	4.71	19185	-7155	18.63	10184		
12	0.55	100, 20	9.42	4.71	18747	-7125	17.77	10187		
13	0.60	100, 20	9.42	4.71	18299	-7095	16.94	10190		
14	0.65	100, 20	9.42	4.71	17843	-7064	16.15	10193		
15	0.70	100. 20	0.00	0.00	0	0	0.00	8797		

34

Armature e tensioni nei materiali della fondazione

Simbologia adottata

base della sezione espressa in [cm] altezza della sezione espressa in [cm]

 $\begin{array}{l} B \\ H \\ A_{fi} \\ A_{fs} \\ N_u \\ M_u \\ CS \\ VRcd \\ VRsd \end{array}$ altezza della sezione espressa in [cm] area di armatura in corrispondenza del lembo inferiore in [cmq] area di armatura in corrispondenza del lembo superiore in [cmq] sforzo normale ultimo espresso in [kg] momento ultimo espresso in [kgm] coefficiente sicurezza sezione
Aliquota di taglio assorbito dal cls, espresso in [kg]
Aliquota di taglio assorbito dall'armatura, espresso in [kg]
Resistenza al taglio, espresso in [kg]

Fondazione di valle

(L'ascissa X, espressa in [m], è positiva verso monte con origine in corrispondenza dell'estremo libero della fondazione di valle)

ı V _{Rs}	V_{Rcd}	V_{Rd}	cs	$M_{\rm u}$	N_u	A_{fi}	A_{fs}	B, H	Υ	Nr.
		8653	1000.00	0	0	4.71	4.71	100, 20	0.00	1
		8653	232.80	3094	0	4.71	4.71	100, 20	0.18	2
		8653	56.77	3094	0	4.71	4.71	100, 20	0.36	3
		8653	24.62	3094	0	4.71	4.71	100, 20	0.54	4
		8653	13.53	3094	0	4.71	4.71	100, 20	0.72	5
		8653	8 46	3094	0	4 71	4 71	100 20	0.90	6

COMBINAZIONE n° 2

Peso muro sfavorevole e Peso terrapieno sfavorevole

Valore della spinta statica Componente orizzontale della spinta statica Componente verticale della spinta statica Punto d'applicazione della spinta Inclinaz. della spinta rispetto alla normale alla superficie Inclinazione linea di rottura in condizioni statiche	170.31 160.04 58.25 X = 0.00 20.00 55.98	[kg] [kg] [kg] [m] [°]	Y = -0.47	[m]
Peso terrapieno gravante sulla fondazione a monte Baricentro terrapieno gravante sulla fondazione a monte	0.00 X = 0.00	[kg] [m]	Y = 0.00	[m]
Risultanti carichi esterni				

RISUITANTI CARICNI ESTERNI		
Componente dir. X	247	[kg]
Componente dir. Y	780	[kg]

Risultanti .		
Risultante dei carichi applicati in dir. orizzontale	407.04	[kg]
Risultante dei carichi applicati in dir. verticale	1878.25	[kg]
Resistenza passiva a valle del muro	-54.00	[kg]
Sforzo normale sul piano di posa della fondazione	1878.25	[kg]
Sforzo tangenziale sul piano di posa della fondazione	407.04	[kg]
Eccentricità rispetto al baricentro della fondazione	-0.04	[m]
Lunghezza fondazione reagente	1.10	[m]
Risultante in fondazione	1921.85	[kg]
Inclinazione della risultante (rispetto alla normale)	12.23	[°]

Inclinazione della risultante (rispetto alla normale)	12.23	[°]
Momento rispetto al baricentro della fondazione	-72.02	[kgm]
Carico ultimo della fondazione	10727.53	[kg]
<u>Tensioni sul terreno</u> Lunghezza fondazione reagente	1.10	[m]

F	-attori	per i	il calcolo	della	capacità	portante

Tensione terreno allo spigolo di valle

Tensione terreno allo spigolo di monte

$N_c = 30.14$	$N_{q} = 18.40$	$N_{\gamma} = 15.07$
$s_c = 1.00$	$s_{q} = 1.00$	$s_{\gamma} = 1.00$
$i_c = 0.54$	$i_q = 0.56$	$i_{\gamma} = 0.44$
$d_c = 1.07$	$d_{q} = 1.05$	$d_{\gamma} = 1.00$
$b_c = 1.00$	$b_q = 1.00$	$b_{\gamma} = 1.00$
$g_c = 1.00$	$g_{q} = 1.00$	$g_{\gamma} = 1.00$
	$s_c = 1.00$ $i_c = 0.54$ $d_c = 1.07$ $b_c = 1.00$	$\begin{array}{lll} s_c = 1.00 & s_q = 1.00 \\ i_c = 0.54 & i_q = 0.56 \\ d_c = 1.07 & d_q = 1.05 \\ b_c = 1.00 & b_q = 1.00 \end{array}$

0.1350

0.2065

[kg/cmq]

[kg/cmq]

I coefficienti N' tengono conto dei fattori di forma, profondità, inclinazione carico, inclinazione piano di posa, inclinazione pendio. $N'_c = 17.41$ $N'_{q} = 10.91$ $N'_{\gamma} = 6.62$

COEFFICIENTI DI SICUREZZA

Coefficiente di sicurezza a scorrimento	1.81
Coefficiente di sicurezza a carico ultimo	5.71

35

Sollecitazioni paramento

 $\underline{Combinazione\ n^{\circ}\ 2}\\ \underline{L'ordinata\ Y(espressa\ in\ m)\ e\ considerata\ positiva\ verso\ il\ basso\ con\ origine\ in\ testa\ al\ muro$ Momento positivo se tende le fibre contro terra (a monte), espresso in kgm Sforzo normale positivo di compressione, espresso in kg

Taglio positivo se diretto da monte verso valle, espresso in kg

Nr.	Υ	N	M	Т
1	0.00	780.00	247.00	247.00
2	0.05	812.50	259.36	247.82
3	0.10	845.00	271.81	250.27
4	0.15	877.50	284.42	254.35
5	0.20	910.00	297.27	260.07
6	0.25	942.50	310.45	267.43
7	0.30	975.00	324.04	276.42
8	0.35	1007.50	338.12	287.04
9	0.40	1040.00	352.77	299.30
10	0.45	1072.50	368.08	313.19
11	0.50	1105.00	384.12	328.72
12	0.55	1137.50	400.98	345.88
13	0.60	1170.00	418.74	364.68
14	0.65	1202.50	437.47	385.11
15	0.70	1235.00	457.27	407.04

Sollecitazioni fondazione di valle

Combinazione n° 2
L'ascissa X(espressa in m) è considerata positiva verso monte con origine in corrispondenza dell'estremo libero della fondazione di valle Momento positivo se tende le fibre inferiori, espresso in kgm Taglio positivo se diretto verso l'alto, espresso in kg

Nr.	X	M	T
1	0.00	0.00	0.00
2	0.18	11.98	136.59
3	0.36	50.43	294.22
4	0.54	119.16	472.88
5	0.72	221.93	672.58
6	0.90	362.55	893.32

Armature e tensioni nei materiali del muro

Combinazione n° 2

L'ordinata Y(espressa in [m]) è considerata positiva verso il basso con origine in testa al muro B base della sezione espressa in [cm] H altezza della sezione espressa in [cm]

altezza della sezione espressa in [cm]
area di armatura in corrispondenza del lembo di monte in [cmq]
area di armatura in corrispondenza del lembo di valle in [cmq]

Afs Afi Nu Mu CS VRcd VRcd sforzo normale ultimo espresso in [kg] momento ultimo espresso in [kgm]

Aliquota di taglio assorbito dal cls, espresso in [kg]
Aliquota di taglio assorbito dall'armatura, espresso in [kg]
Resistenza al taglio, espresso in [kg] VRsd

Nr.	Υ	В, Н	A_{fs}	A_{fi}	N_u	$M_{\rm u}$	cs	V_{Rd}	V_{Rcd}	V_{Rsd}
1	0.00	100, 20	4.71	4.71	12767	-4043	16.37	8753		
2	0.05	100, 20	4.71	4.71	12634	-4033	15.55	8757		
3	0.10	100, 20	4.71	4.71	12509	-4024	14.80	8761		
4	0.15	100, 20	4.71	4.71	12386	-4015	14.12	8765		
5	0.20	100, 20	4.71	4.71	12261	-4005	13.47	8769		
6	0.25	100, 20	4.71	4.71	12130	-3996	12.87	8773		
7	0.30	100, 20	4.71	4.71	11991	-3985	12.30	8777		
8	0.35	100, 20	4.71	4.71	11842	-3974	11.75	8782		
9	0.40	100, 20	4.71	4.71	11681	-3962	11.23	8786		
10	0.45	100, 20	4.71	4.71	11507	-3949	10.73	8790		
11	0.50	100, 20	9.42	4.71	20919	-7272	18.93	10193		
12	0.55	100, 20	9.42	4.71	20560	-7248	18.08	10197		
13	0.60	100, 20	9.42	4.71	20179	-7222	17.25	10201		
14	0.65	100, 20	9.42	4.71	19777	-7195	16.45	10206		
15	0.70	100, 20	0.00	0.00	0	0	0.00	8811		

Armature e tensioni nei materiali della fondazione

Com	hin:	azioi	ne n'	2

Simbologia adottata

adottata
base della sezione espressa in [cm]
altezza della sezione espressa in [cm]
area di armatura in corrispondenza del lembo inferiore in [cmq]
area di armatura in corrispondenza del lembo superiore in [cmq]
sforzo normale ultimo espresso in [kg]
momento ultimo espresso in [kgm]
coefficiente sicurezza sezione
Aliquota di taglio assorbito dal cls, espresso in [kg]
Aliquota di taglio assorbito dall'armatura, espresso in [kg]
Resistenza al taglio, espresso in [kg]

 $\begin{array}{l} B \\ H \\ A_{fi} \\ A_{fs} \\ N_u \\ CS \\ VRcd \\ VRsd \\ VRd \\ VRd \end{array}$

Fondazione di valle

(L'ascissa X, espressa in [m], è positiva verso monte con origine in corrispondenza dell'estremo libero della fondazione di valle)

Nr.	Υ	B, H	A_{fs}	A_{fi}	N_u	Mu	CS	V_{Rd}	V_{Rcd}	V_{Rsd}
1	0.00	100, 20	4.71	4.71	0	0	1000.00	8653		
2	0.18	100, 20	4.71	4.71	0	3094	258.28	8653		
3	0.36	100, 20	4.71	4.71	0	3094	61.34	8653		
4	0.54	100, 20	4.71	4.71	0	3094	25.96	8653		
5	0.72	100, 20	4.71	4.71	0	3094	13.94	8653		
6	0.90	100, 20	4.71	4.71	0	3094	8.53	8653		
COMP	INIA ZIONIEº	0								

COMBINAZIONE n° 3

Valore della spinta statica Componente orizzontale della spinta statica Componente verticale della spinta statica Punto d'applicazione della spinta Inclinaz. della spinta rispetto alla normale alla superficie Inclinazione linea di rottura in condizioni statiche	160.45 154.05 44.86 X = 0.00 16.23 52.95	[kg] [kg] [kg] [m] [°]	Y = -0.47	[m]
Peso terrapieno gravante sulla fondazione a monte	0.00 X = 0.00	[kg] [m]	Y = 0.00	[m]

Risultanti carichi esterni
Componente dir. X

Componente dir. X	190	[Kg]
Componente dir. Y	600	[kg]

<u>Risultanti</u>

Risultante dei carichi applicati in dir. orizzontale	344.05	[kg]
Risultante dei carichi applicati in dir. verticale	1444.86	[kg]
Resistenza passiva a valle del muro	-44.00	[kg]
Sforzo normale sul piano di posa della fondazione	1444.86	[kg]
Sforzo tangenziale sul piano di posa della fondazione	344.05	[kg]
Eccentricità rispetto al baricentro della fondazione	-0.03	[m]
Lunghezza fondazione reagente	1.10	[m]
Risultante in fondazione	1485.25	[kg]
Inclinazione della risultante (rispetto alla normale)	13.39	[°]
Momento rispetto al baricentro della fondazione	- 48.20	[kgm]
Carico ultimo della fondazione	4860.94	[kg]

Tensioni sul terreno

Lunghezza fondazione reagente	1.10	[m]
Tensione terreno allo spigolo di valle	0.1075	[kg/cmq]
Tensione terreno allo spigolo di monte	0.1553	[ka/cma]

Fattori per il calcolo della capacità portante

Coeff. capacità portante	$N_c = 20.42$	$N_{q} = 10.43$	$N_{\gamma} = 6.53$
Fattori forma	$s_c = 1.00$	$s_q = 1.00$	$s_{\gamma} = 1.00$
Fattori inclinazione	$i_c = 0.48$	$i_q = 0.53$	$i_{\gamma} = 0.40$
Fattori profondità	$d_c = 1.07$	$d_{q} = 1.06$	$d_{y} = 1.00$
Fattori inclinazione piano posa	$b_c = 1.00$	$b_{q} = 1.00$	$b_{y} = 1.00$
Fattori inclinazione pendio	$g_c = 1.00$	$g_{q} = 1.00$	$g_{\gamma} = 1.00$
	6 1965 1 19 1		

I coefficienti N' tengono conto dei fattori di forma, profondità, inclinazione carico, inclinazione piano di posa, inclinazione pendio. $N'_{c} = 10.53$ $N'_{q} = 5.85$ $N'_{\gamma} = 2.63$

COEFFICIENTI DI SICUREZZA

Coefficiente di sicurezza a scorrimento	1.35
Coefficiente di sicurezza a carico ultimo	3.36

37

Sollecitazioni paramento

Combinazione n° 3

L'ordinata Y(espressa in m) è considerata positiva verso il basso con origine in testa al muro Momento positivo se tende le fibre contro terra (a monte), espresso in kgm Sforzo normale positivo di compressione, espresso in kg Taglio positivo se diretto da monte verso valle, espresso in kg

Nr.	Υ	N	M	Т
1	0.00	600.00	190.00	190.00
2	0.05	625.00	199.51	190.79
3	0.10	650.00	209.10	193.15
4	0.15	675.00	218.85	197.08
5	0.20	700.00	228.84	202.59
6	0.25	725.00	239.14	209.66
7	0.30	750.00	249.83	218.32
8	0.35	775.00	261.00	228.54
9	0.40	800.00	272.71	240.34
10	0.45	825.00	285.06	253.71
11	0.50	850.00	298.11	268.66
12	0.55	875.00	311.95	285.18
13	0.60	900.00	326.65	303.27
14	0.65	925.00	342.30	322.93
15	0.70	950.00	358.97	344.05

Sollecitazioni fondazione di valle

Combinazione n° 3 L'ascissa X(espressa in m) è considerata positiva verso monte con origine in corrispondenza dell'estremo libero della fondazione di valle Momento positivo se tende le fibre inferiori, espresso in kgm Taglio positivo se diretto verso l'alto, espresso in kg

Nr.	X	M	Т
1	0.00	0.00	0.00
2	0.18	9.73	110.45
3	0.36	40.61	234.98
4	0.54	95.17	373.59
5	0.72	175.94	526.28
6	0.90	285.47	693.05

Armature e tensioni nei materiali del muro

Combinazione n° 3

L'ordinata Y(espressa in [m]) è considerata positiva verso il basso con origine in testa al muro B base della sezione espressa in [cm] H altezza della sezione espressa in [cm]

base della sezione espressa in [cm] arteza della sezione espressa in [cm] area di armatura in corrispondenza del lembo di monte in [cmq] area di armatura in corrispondenza del lembo di valle in [cmq] sforzo normale ultimo espresso in [kg] momento ultimo espresso in [kgm]

Afs Afi Nu Mu CS VRcd VRcd

Aliquota di taglio assorbito dal cls, espresso in [kg]
Aliquota di taglio assorbito dall'armatura, espresso in [kg]
Resistenza al taglio, espresso in [kg] VRsd

VRd

Nr.	Υ	B, H	A_{fs}	A_{fi}	N_u	$M_{\rm u}$	CS	V_Rd	V_{Rcd}	V_Rsd
1	0.00	100, 20	4.71	4.71	12767	-4043	21.28	8730		
2	0.05	100, 20	4.71	4.71	12634	-4033	20.21	8733		
3	0.10	100, 20	4.71	4.71	12508	-4024	19.24	8736		
4	0.15	100, 20	4.71	4.71	12381	-4014	18.34	8739		
5	0.20	100, 20	4.71	4.71	12249	-4004	17.50	8742		
6	0.25	100, 20	4.71	4.71	12109	-3994	16.70	8746		
7	0.30	100, 20	4.71	4.71	11956	-3983	15.94	8749		
8	0.35	100, 20	4.71	4.71	11789	-3970	15.21	8752		
9	0.40	100, 20	4.71	4.71	11607	-3957	14.51	8755		
10	0.45	100, 20	4.71	4.71	11409	-3942	13.83	8758		
11	0.50	100, 20	9.42	4.71	20690	-7256	24.34	10161		
12	0.55	100, 20	9.42	4.71	20275	-7228	23.17	10164		
13	0.60	100, 20	9.42	4.71	19834	-7199	22.04	10167		
14	0.65	100, 20	9.42	4.71	19368	-7167	20.94	10170		
15	0.70	100, 20	0.00	0.00	0	0	0.00	8774		

Armature e tensioni nei materiali della fondazione

Combinazione n° 3
Simbologia adottata
B base della se
H altezza della
Ari area di armat
Nu sforzo norma
Mu momento ulti
CS coefficiente s
VRcd Aliquota di ta
VRsd Resistenza al adottata
base della sezione espressa in [cm]
altezza della sezione espressa in [cm]
area di armatura in corrispondenza del lembo inferiore in [cmq]
area di armatura in corrispondenza del lembo superiore in [cmq]
sforzo normale ultimo espresso in [kg]
momento ultimo espresso in [kgm]
coefficiente sicurezza sezione
Aliquota di taglio assorbito dal cls, espresso in [kg]
Aliquota di taglio assorbito dall'armatura, espresso in [kg]
Resistenza al taglio, espresso in [kg]

Fondazione di valle

(L'ascissa X, espressa in [m], è positiva verso monte con origine in corrispondenza dell'estremo libero della fondazione di valle)

Nr.	Υ	В, Н	A_{fs}	A_{fi}	Nu	Mu	cs	V_{Rd}	V_{Rcd}	V_{Rsd}
1	0.00	100, 20	4.71	4.71	0	0	1000.00	8653		
2	0.18	100, 20	4.71	4.71	0	3094	317.96	8653		
3	0.36	100, 20	4.71	4.71	0	3094	76.18	8653		
4	0.54	100, 20	4.71	4.71	0	3094	32.51	8653		
5	0.72	100, 20	4.71	4.71	0	3094	17.58	8653		
6	0.90	100, 20	4.71	4.71	0	3094	10.84	8653		
COMB	INAZIONE n°	4								
Compo		tatica ntale della spinta le della spinta s				16	76.49 69.45 9.34	[kg] [kg] [kg]		

Punto d'applicazione della spinta Inclinaz. della spinta rispetto alla normale alla superficie Inclinazione linea di rottura in condizioni statiche	X = 0.00 16.23 52.95	[m] [°] [°]	Y = -0.47	[m]
Peso terrapieno gravante sulla fondazione a monte	0.00 X = 0.00	[kg]	V = 0.00	[m]

Peso terrapieno gravante sulla fondazione a monte Baricentro terrapieno gravante sulla fondazione a monte	0.00 X = 0.00	[kg] [m]	Y = 0.00	[m]
Risultanti carichi esterni				

Nisultanti Cancin esterni		
Componente dir. X	209	[kg]
Componente dir. Y	660	[kg]

·		
Risultanti		
Risultante dei carichi applicati in dir. orizzontale	378.45	[kg]
Risultante dei carichi applicati in dir. verticale	1429.34	[kg]
Resistenza passiva a valle del muro	-39.60	[kg]
Momento ribaltante rispetto allo spigolo a valle	394.87	[kgm]
Momento stabilizzante rispetto allo spigolo a valle	1211.53	[kgm]
Sforzo normale sul piano di posa della fondazione	1429.34	[kg]
Sforzo tangenziale sul piano di posa della fondazione	378.45	[kg]
Eccentricità rispetto al baricentro della fondazione	-0.02	[m]
Lunghezza fondazione reagente	1.10	[m]
Risultante in fondazione	1478.60	[kg]

Montento stabilizzante rispetto allo spigolo a valle	1211.00	[Kgiii]
Sforzo normale sul piano di posa della fondazione	1429.34	[kg]
Sforzo tangenziale sul piano di posa della fondazione	378.45	[kg]
Eccentricità rispetto al baricentro della fondazione	-0.02	[m]
Lunghezza fondazione reagente	1.10	[m]
Risultante in fondazione	1478.60	[kg]
Inclinazione della risultante (rispetto alla normale)	14.83	[°]
Momento rispetto al baricentro della fondazione	-30.52	[kgm]
·		

COEFFICIENTI DI SICUREZZA

Coefficiente di sicurezza a ribaltamento 3.07

Stabilità globale muro + terreno

Combinazione n° 5 Le ascisse X sono considerate positive verso monte Le ordinate Y sono considerate positive verso l'alto Origine in testa al muro (spigolo contro terra)

W

peso della striscia espresso in [kg]
angolo fra la base della striscia e l'orizzontale espresso in [°] (positivo antiorario) α

angolo d'attrito del terreno lungo la base della striscia coesione del terreno lungo la base della striscia coesione del terreno lungo la base della striscia espressa in [kg/cmq] larghezza della striscia espressa in [m] pressione neutra lungo la base della striscia espressa in [kg/cmq]

Metodo di Bishop

Numero di cerchi analizzati 36

Numero di strisce 25

Cerchio critico

X[m] = -0.49Coordinate del centro

Y[m] = 0.22

Raggio del cerchio R[m]= 1.10

Ascissa a valle del cerchio Xi[m] = -1.34Ascissa a monte del cerchio Xs[m]= 0.60 Larghezza della striscia dx[m] = 0.08Coefficiente di sicurezza C = 1.79

Le strisce sono numerate da monte verso valle

Caratteristiche delle strisce

Striscia	W	α(°)	Wsinα	b/cosα	ф	С	u
1	15.53	70.88	14.67	0.24	24.79	0.00	0.00
2	41.22	62.08	36.42	0.17	24.79	0.00	0.00
3	58.87	54.33	47.83	0.13	24.79	0.00	0.00
4	72.33	47.88	53.65	0.12	24.79	0.00	0.00
5	83.16	42.16	55.82	0.10	24.79	0.00	0.00
6	92.08	36.93	55.33	0.10	24.79	0.00	0.00
7	99.49	32.04	52.79	0.09	24.79	0.00	0.00
8	117.11	27.40	53.90	0.09	24.79	0.00	0.00
9	748.62	22.95	291.96	0.08	24.79	0.00	0.00
10	152.72	18.65	48.83	0.08	24.79	0.00	0.00
11	86.67	14.45	21.62	0.08	24.79	0.00	0.00
12	61.61	10.32	11.04	0.08	24.79	0.00	0.00
13	63.19	6.26	6.89	0.08	24.79	0.00	0.00
14	63.98	2.22	2.48	0.08	24.79	0.00	0.00
15	64.02	-1.80	-2.02	0.08	24.79	0.00	0.00
16	63.30	-5.84	-6.44	0.08	24.79	0.00	0.00
17	61.81	-9.90	-10.63	0.08	24.79	0.00	0.00
18	59.53	-14.02	-14.42	0.08	24.79	0.00	0.00
19	56.41	-18.21	-17.63	0.08	24.79	0.00	0.00
20	52.41	-22.50	-20.06	0.08	24.79	0.00	0.00
21	47.45	-26.94	-21.49	0.09	24.79	0.00	0.00
22	40.55	-31.55	-21.22	0.09	24.79	0.00	0.00
23	23.30	-36.41	-13.83	0.10	24.79	0.00	0.00
24	14.55	-41.60	-9.66	0.10	24.79	0.00	0.00
25	3.94	-47.26	-2.90	0.11	24.79	0.00	0.00

 $\Sigma W_i = 2243.87 \text{ [kg]}$ $\Sigma W_i \sin \alpha_i = 612.92 \text{ [kg]}$ $\Sigma W_i tan \phi_i = 1036.40 [kg]$ $\Sigma tan\alpha_i tan\phi_i = 2.91$

COMBINAZIONE n° 6

Valore della spinta statica Componente orizzontale della spinta statica Componente verticale della spinta statica Punto d'applicazione della spinta Inclinaz. della spinta rispetto alla normale alla superficie Inclinazione linea di rottura in condizioni statiche	131.01 123.11 44.81 X = 0.00 20.00 55.98	[kg] [kg] [kg] [m] [°]	Y = -0.47	[m]
Incremento sismico della spinta Punto d'applicazione dell'incremento sismico di spinta Inclinazione linea di rottura in condizioni sismiche	5.37 X = 0.00 55.17	[kg] [m] [°]	Y = -0.47	[m]
Peso terrapieno gravante sulla fondazione a monte Baricentro terrapieno gravante sulla fondazione a monte Inerzia del muro	0.00 X = 0.00 12.67	[kg] [m] [kg]	Y = 0.00	[m]

Inerzia verticale del muro Inerzia del terrapieno fondazione di monte Inerzia verticale del terrapieno fondazione di monte	6.33 0.00 0.00	[kg] [kg] [kg]
Risultanti carichi esterni Componente dir. X Componente dir. Y	199 600	[kg] [kg]
Risultanti Risultante dei carichi applicati in dir. orizzontale Risultante dei carichi applicati in dir. verticale Resistenza passiva a valle del muro Sforzo normale sul piano di posa della fondazione Sforzo tangenziale sul piano di posa della fondazione Eccentricità rispetto al baricentro della fondazione Lunghezza fondazione reagente Risultante in fondazione Inclinazione della risultante (rispetto alla normale) Momento rispetto al baricentro della fondazione Carico ultimo della fondazione	340.32 1452.98 -54.00 1452.98 340.32 -0.03 1.10 1492.30 13.18 -46.82 10183.69	[kg] [kg] [kg] [kg] [m] [m] [kg] [°] [kgm]
<u>Tensioni sul terreno</u> Lunghezza fondazione reagente Tensione terreno allo spigolo di valle Tensione terreno allo spigolo di monte	1.10 0.1089 0.1553	[m] [kg/cmq] [kg/cmq]

Fattori per il calcolo della capacità portante

Coeff. capacità portante	$N_c = 30.14$	$N_{q} = 18.40$	$N_{\gamma} = 15.07$			
Fattori forma	$s_c = 1.00$	$s_q = 1.00$	$s_{\gamma} = 1.00$			
Fattori inclinazione	$i_c = 0.51$	$i_q = 0.54$	$i_{y} = 0.41$			
Fattori profondità	$d_c = 1.07$	$d_{q} = 1.05$	$d_{\gamma} = 1.00$			
Fattori inclinazione piano posa	$b_c = 1.00$	$b_{q} = 1.00$	$b_{\gamma} = 1.00$			
Fattori inclinazione pendio	$g_c = 1.00$	$g_{q} = 1.00$	$g_{\gamma} = 1.00$			
I coefficienti N' tengono conto dei fattori di forma, profondità, inclinazione carico, inclinazione piano di posa, inclinazione pendio.						
	N' _c = 16.48	$N'_{q} = 10.39$	$N'_{\gamma} = 6.16$			

COEFFICIENTI DI SICUREZZA Coefficiente di sicurezza a scorrimento

1.71 7.01 Coefficiente di sicurezza a carico ultimo

Sollecitazioni paramento

Combinazione n° 6
L'ordinata Y(espressa in m) è considerata positiva verso il basso con origine in testa al muro Momento positivo se tende le fibre contro terra (a monte), espresso in kgm Sforzo normale positivo di compressione, espresso in kg

Taglio positivo se diretto da monte verso valle, espresso in kg

Nr.	Υ	N	M	T
1	0.00	600.00	190.00	199.50
2	0.05	625.00	200.00	200.55
3	0.10	650.00	210.08	202.91
4	0.15	675.00	220.31	206.58
5	0.20	700.00	230.76	211.55
6	0.25	725.00	241.49	217.84
7	0.30	750.00	252.56	225.43
8	0.35	775.00	264.05	234.33
9	0.40	800.00	276.02	244.55
10	0.45	825.00	288.53	256.07
11	0.50	850.00	301.65	268.89
12	0.55	875.00	315.44	283.03
13	0.60	900.00	329.97	298.48
14	0.65	925.00	345.31	315.23
15	0.70	950.00	361.51	333.19

Sollecitazioni fondazione di valle

Combinazione n° 6
L'ascissa X(espressa in m) è considerata positiva verso monte con origine in corrispondenza dell'estremo libero della fondazione di valle Momento positivo se tende le fibre inferiori, espresso in kgm
Taglio positivo se diretto verso l'alto, espresso in kg

Nr.	X	M	Т
1	0.00	0.00	0.00

2	0.18	9.95	112.81
3	0.36	41.43	239.30
4	0.54	96.91	379.46
5	0.72	178.86	533.30
6	0.90	289.72	700.81

Armature e tensioni nei materiali del muro

Combinazione n° 6
L'ordinata Y(espressa in [m]) è considerata positiva verso il basso con origine in testa al muro
B base della sezione espressa in [cm]
H altezza della sezione espressa in [cm]
Ats area di armatura in corrispondenza del lembo di monte in [cmq] area di armatura in corrispondenza del lembo di monte in [cmq area di armatura in corrispondenza del lembo di valle in [cmq] sforzo normale ultimo espresso in [kg] momento ultimo espresso in [kgm] coefficiente sicurezza sezione Aliquota di taglio assorbito dal cls, espresso in [kg] Aliquota di taglio assorbito dall'armatura, espresso in [kg] Resistenza al taglio, espresso in [kg]

Afi Nu Mu CS VRcd

VRsd VRd

Nr.	Υ	В, Н	A_{fs}	A_{fi}	N_u	$M_{\rm u}$	cs	V_{Rd}	V_{Rcd}	V_{Rsd}
1	0.00	100, 20	4.71	4.71	12767	-4043	21.28	8730		
2	0.05	100, 20	4.71	4.71	12594	-4030	20.15	8733		
3	0.10	100, 20	4.71	4.71	12432	-4018	19.13	8736		
4	0.15	100, 20	4.71	4.71	12275	-4006	18.19	8739		
5	0.20	100, 20	4.71	4.71	12118	-3995	17.31	8742		
6	0.25	100, 20	4.71	4.71	11957	-3983	16.49	8746		
7	0.30	100, 20	4.71	4.71	11790	-3970	15.72	8749		
8	0.35	100, 20	4.71	4.71	11615	-3957	14.99	8752		
9	0.40	100, 20	4.71	4.71	11430	-3944	14.29	8755		
10	0.45	100, 20	4.71	4.71	11234	-3929	13.62	8758		
11	0.50	100, 20	9.42	4.71	20391	-7236	23.99	10161		
12	0.55	100, 20	9.42	4.71	19999	-7210	22.86	10164		
13	0.60	100, 20	9.42	4.71	19589	-7182	21.77	10167		
14	0.65	100, 20	9.42	4.71	19162	-7153	20.72	10170		
15	0.70	100, 20	0.00	0.00	0	0	0.00	8774		

Armature e tensioni nei materiali della fondazione

Combinazione nº 6 Simbologia adottata

B H

adottata
base della sezione espressa in [cm]
altezza della sezione espressa in [cm]
area di armatura in corrispondenza del lembo inferiore in [cmq]
area di armatura in corrispondenza del lembo superiore in [cmq]
aferza p

Afi Afs Nu Mu CS sforzo normale ultimo espresso in [kg] momento ultimo espresso in [kgm] coefficiente sicurezza sezione

Aliquota di taglio assorbito dal cis, espresso in [kg]
Aliquota di taglio assorbito dall'armatura, espresso in [kg]
Resistenza al taglio, espresso in [kg] VRcd VRsd VRd

Fondazione di valle

(L'ascissa X, espressa in [m], è positiva verso monte con origine in corrispondenza dell'estremo libero della fondazione di valle)

Nr.	Υ	В, Н	A_{fs}	A_{fi}	N_u	$M_{\rm u}$	cs	V_{Rd}	V_{Rcd}	V_{Rsd}
1	0.00	100, 20	4.71	4.71	0	0	1000.00	8653		
2	0.18	100, 20	4.71	4.71	0	3094	310.98	8653		
3	0.36	100, 20	4.71	4.71	0	3094	74.66	8653		
4	0.54	100, 20	4.71	4.71	0	3094	31.92	8653		
5	0.72	100, 20	4.71	4.71	0	3094	17.30	8653		
6	0.90	100, 20	4.71	4.71	0	3094	10.68	8653		

COMBINAZIONE n° 7

Valore della spinta statica Componente orizzontale della spinta statica Componente verticale della spinta statica Punto d'applicazione della spinta Inclinaz. della spinta rispetto alla normale alla superficie Inclinazione linea di rottura in condizioni statiche	160.45 154.05 44.86 X = 0.00 16.23 52.95	[kg] [kg] [kg] [m] [°]	Y = -0.47	[m]
Incremento sismico della spinta Punto d'applicazione dell'incremento sismico di spinta Inclinazione linea di rottura in condizioni sismiche	6.10 X = 0.00 52.07	[kg] [m] [°]	Y = -0.47	[m]
Peso terrapieno gravante sulla fondazione a monte Baricentro terrapieno gravante sulla fondazione a monte Inerzia del muro Inerzia verticale del muro	0.00 X = 0.00 12.67 6.33	[kg] [m] [kg] [kg]	Y = 0.00	[m]

Inerzia del terrapieno fondazione di monte Inerzia verticale del terrapieno fondazione di monte	0.00 0.00	[kg] [kg]
•	0.00	1,,91
Risultanti carichi esterni		
Componente dir. X	199	[kg]
Componente dir. Y	600	[kg]
<u>Risultanti</u>		
Risultante dei carichi applicati in dir. orizzontale	372.08	[kg]
Risultante dei carichi applicati in dir. verticale	1452.89	[kg]
Resistenza passiva a valle del muro	-44.00	[kg]
Sforzo normale sul piano di posa della fondazione	1452.89	[kg]
Sforzo tangenziale sul piano di posa della fondazione	372.08	[kg]
Eccentricità rispetto al baricentro della fondazione	-0.03	[m]
Lunghezza fondazione reagente	1.10	[m]
Risultante in fondazione	1499.78	[kg]
Inclinazione della risultante (rispetto alla normale)	14.36	[°]
Momento rispetto al baricentro della fondazione	-39.36	[kgm]
Carico ultimo della fondazione	4610.82	[kg]
Tensioni sul terreno		
Lunghezza fondazione reagente	1.10	[m]
Tensione terreno allo spigolo di valle	0.1126	[kg/cmq]
Tensione terreno allo spigolo di monte	0.1516	[kg/cmq]

Fattori per il calcolo della capacità portante

$N_c = 20.42$	$N_q = 10.43$	$N_{\gamma} = 6.53$				
$s_c = 1.00$	$s_q = 1.00$	$s_{\gamma} = 1.00$				
$i_c = 0.45$	$i_{q} = 0.50$	$i_{\gamma} = 0.37$				
$d_c = 1.07$	$d_{q} = 1.06$	$d_{\gamma} = 1.00$				
$b_c = 1.00$	$b_q = 1.00$	$b_{\gamma} = 1.00$				
$g_c = 1.00$	$g_q = 1.00$	$g_{\gamma} = 1.00$				
I coefficienti N' tengono conto dei fattori di forma, profondità, inclinazione carico, inclinazione piano di posa, inclinazione pendio.						
$N'_{c} = 9.89$	$N'_{q} = 5.56$	$N'_{\gamma} = 2.43$				
	$s_{c}=1.00$ $i_{c}=0.45$ $d_{c}=1.07$ $b_{c}=1.00$ $g_{c}=1.00$ a, profondità, inclinazione	$\begin{array}{cccccccccccccccccccccccccccccccccccc$				

COEFFICIENTI DI SICUREZZA

Coefficiente di sicurezza a scorrimento 1.26 Coefficiente di sicurezza a carico ultimo 3.17

Sollecitazioni paramento

Combinazione n° 7
L'ordinata Y(espressa in m) è considerata positiva verso il basso con origine in testa al muro Momento positivo se tende le fibre contro terra (a monte), espresso in kgm Sforzo normale positivo di compressione, espresso in kg
Taglio positivo se diretto da monte verso valle, espresso in kg

Nr.	Υ	N	M	т
1	0.00	600.00	190.00	199.50
2	0.05	625.00	200.00	200.71
3	0.10	650.00	210.10	203.56
4	0.15	675.00	220.38	208.04
5	0.20	700.00	230.93	214.15
6	0.25	725.00	241.82	221.89
7	0.30	750.00	253.15	231.27
8	0.35	775.00	264.98	242.28
9	0.40	800.00	277.40	254.92
10	0.45	825.00	290.50	269.20
11	0.50	850.00	304.35	285.11
12	0.55	875.00	319.03	302.65
13	0.60	900.00	334.64	321.83
14	0.65	925.00	351.25	342.64
15	0.70	950.00	368.93	364.95

Sollecitazioni fondazione di valle

Combinazione n° 7
L'ascissa X(espressa in m) è considerata positiva verso monte con origine in corrispondenza dell'estremo libero della fondazione di valle Momento positivo se tende le fibre inferiori, espresso in kgm
Taglio positivo se diretto verso l'alto, espresso in kg

Nr.	X	М	Т
1	0.00	0.00	0.00

43

2	0.18	10.48	118.37
3	0.36	43.30	248.23
4	0.54	100.53	389.59
5	0.72	184.24	542.44
6	0.90	296 50	706.80

Armature e tensioni nei materiali del muro

L'ordinata Y(espressa in [m]) è considerata positiva verso il basso con origine in testa al muro B base della sezione espressa in [cm]

B H Afs

altezza della sezione espressa in [cm] area di armatura in corrispondenza del lembo di monte in [cmq]

area di armatura in corrispondenza del lembo di valle in [cmq] sforzo normale ultimo espresso in [kg] momento ultimo espresso in [kgm] Afi Nu

M_u CS VRcd

coefficiente sicurezza sezione
Aliquota di taglio assorbito dal cls, espresso in [kg]

Aliquota di taglio assorbito dall'armatura, espresso in [kg] Resistenza al taglio, espresso in [kg] VRsd VRd

r.	Υ	В, Н	A_{fs}	A_{fi}	$N_{\rm u}$	$M_{\rm u}$	cs	V_{Rd}	V_{Rcd}	V_{Rsd}
1	0.00	100, 20	4.71	4.71	12767	-4043	21.28	8730		
2	0.05	100, 20	4.71	4.71	12594	-4030	20.15	8733		
3	0.10	100, 20	4.71	4.71	12431	-4018	19.12	8736		
4	0.15	100, 20	4.71	4.71	12270	-4006	18.18	8739		
5	0.20	100, 20	4.71	4.71	12106	-3994	17.29	8742		
6	0.25	100, 20	4.71	4.71	11936	-3981	16.46	8746		
7	0.30	100, 20	4.71	4.71	11755	-3968	15.67	8749		
8	0.35	100, 20	4.71	4.71	11563	-3953	14.92	8752		
9	0.40	100. 20	4.71	4.71	11357	-3938	14.20	8755		
10	0.45	100, 20	4.71	4.71	11138	-3922	13.50	8758		
11	0.50	100, 20	9.42	4.71	20168	-7221	23.73	10161		
2	0.55	100, 20	9.42	4.71	19723	-7191	22.54	10164		
13	0.60	100. 20	9.42	4.71	19255	-7160	21.39	10167		
14	0.65	100, 20	9.42	4.71	18768	-7127	20.29	10170		
15	0.70	100, 20	0.00	0.00	0	0	0.00	8774		

Armature e tensioni nei materiali della fondazione

Combinazione n° 7

Simbologia adottata

base della sezione espressa in [cm] altezza della sezione espressa in [cm] B H

area di armatura in corrispondenza del lembo inferiore in [cmq] area di armatura in corrispondenza del lembo superiore in [cmq]

 $\begin{array}{c} A_{fi} \\ A_{fs} \\ N_u \\ M_u \\ CS \end{array}$ sforzo normale ultimo espresso in [kg] momento ultimo espresso in [kgm]

coefficiente sicurezza sezione

Aliquota di taglio assorbito dal cls, espresso in [kg] Aliquota di taglio assorbito dall'armatura, espresso in [kg] Resistenza al taglio, espresso in [kg] VRsd

Fondazione di valle

(L'ascissa X, espressa in [m], è positiva verso monte con origine in corrispondenza dell'estremo libero della fondazione di valle)

Nr.	Υ	В, Н	A_{fs}	A_{fi}	N_u	$M_{\rm u}$	CS	V_{Rd}	V_{Rcd}	V_{Rsd}
1	0.00	100, 20	4.71	4.71	0	0	1000.00	8653		
2	0.18	100, 20	4.71	4.71	0	3094	295.17	8653		
3	0.36	100, 20	4.71	4.71	0	3094	71.44	8653		
4	0.54	100, 20	4.71	4.71	0	3094	30.77	8653		
5	0.72	100, 20	4.71	4.71	0	3094	16.79	8653		
6	0.90	100, 20	4.71	4.71	0	3094	10.43	8653		

Inviluppo Sollecitazioni paramento

L'ordinata Y(espressa in [m]) è considerata positiva verso il basso con origine in testa al muro Momento positivo se tende le fibre contro terra (a monte), espresso in [kgm] Sforzo normale positivo di compressione, espresso in [kg]

Taglio positivo se diretto da monte verso valle, espresso in [kg]

Inviluppo combinazioni SLU

Nr.	Υ	Nmin	Nmax	Mmin	Mmax	Tmin	Tmax
1	0.00	600.00	780.00	190.00	247.00	190.00	247.00
2	0.05	625.00	812.50	199.51	259.36	190.79	247.82
3	0.10	650.00	845.00	209.10	271.81	193.15	250.27
4	0.15	675.00	877.50	218.85	284.42	197.08	254.35
5	0.20	700.00	910.00	228.84	297.27	202.59	260.07
6	0.25	725.00	942.50	239.14	310.45	209.66	267.43

7	0.30	750.00	975.00	249.83	324.04	218.32	276.42
8	0.35	775.00	1007.50	261.00	338.12	228.54	287.04
9	0.40	800.00	1040.00	272.71	352.77	240.34	299.30
10	0.45	825.00	1072.50	285.06	368.08	253.71	313.19
11	0.50	850.00	1105.00	298.11	384.12	268.66	328.72
12	0.55	875.00	1137.50	311.95	400.98	283.03	345.88
13	0.60	900.00	1170.00	326.65	418.74	298.48	364.68
14	0.65	925.00	1202.50	342.30	437.47	315.23	385.11
15	0.70	950.00	1235.00	358.97	457.27	333.19	407.04

Inviluppo Sollecitazioni fondazione di valle

L'ascissa X(espressa in m) è considerata positiva verso monte con origine in corrispondenza dell'estremo libero della fondazione di valle Momento positivo se tende le fibre inferiori, espresso in [kgm] Taglio positivo se diretto verso l'alto, espresso in [kg]

Inviluppo combinazioni SLU

Nr.	X	Mmin	Mmax	Tmin	Tmax
1	0.00	0.00	0.00	0.00	0.00
2	0.18	9.73	13.29	110.45	149.51
3	0.36	40.61	54.49	234.98	310.20
4	0.54	95.17	125.63	373.59	482.07
5	0.72	175.94	228.71	526.28	672.58
6	0.90	285.47	365.74	693.05	893.32

Inviluppo armature e tensioni nei materiali del muro

L'ordinata Y(espressa in [m]) è considerata positiva verso il basso con origine in testa al muro B base della sezione espressa in [cm] H altezza della sezione espressa in [cm] area di armatura in corrispondenza del lembo di monte in [cmq] A_{li} area di armatura in corrispondenza del lembo di valle in [cmq]

A_{fi}
N_u
M_u
CS
VRcd sforzo normale ultimo espresso in [kg] momento ultimo espresso in [kgm]

coefficiente sicurezza sezione Aliquota di taglio assorbito dal cls, espresso in [kg]

Aliquota di taglio assorbito dall'armatura, espresso in [kg] Resistenza al taglio, espresso in [kg]

Inviluppo SLU

Nr.	Υ	В, Н	A_{fs}	A_{fi}	N_u	M_u	CS	V_{Rd}	V_{Rcd}	V_{Rsd}
1	0.00	100, 20	4.71	4.71	12767	-4043	16.37	8730		
2	0.05	100, 20	4.71	4.71	12483	-4022	15.51	8733		
3	0.10	100, 20	4.71	4.71	12222	-4002	14.73	8736		
4	0.15	100, 20	4.71	4.71	11977	-3984	14.01	8739		
5	0.20	100, 20	4.71	4.71	11743	-3967	13.34	8742		
6	0.25	100, 20	4.71	4.71	11514	-3950	12.72	8746		
7	0.30	100, 20	4.71	4.71	11288	-3933	12.14	8749		
8	0.35	100, 20	4.71	4.71	11061	-3916	11.58	8752		
9	0.40	100. 20	4.71	4.71	10831	-3899	11.05	8755		
10	0.45	100, 20	4.71	4.71	10599	-3882	10.55	8758		
11	0.50	100. 20	9.42	4.71	19185	-7155	18.63	10161		
12	0.55	100, 20	9.42	4.71	18747	-7125	17.77	10164		
13	0.60	100, 20	9.42	4.71	18299	-7095	16.94	10167		
14	0.65	100, 20	9.42	4.71	17843	-7064	16.15	10170		
15	0.70	100, 20	0.00	0.00	0	0	0.00	8774		

Inviluppo armature e tensioni nei materiali della fondazione

Simbologia adottata

В base della sezione espressa in [cm]

altezza della sezione espressa in [cm]
area di armatura in corrispondenza del lembo inferiore in [cmq]
area di armatura in corrispondenza del lembo superiore in [cmq]

A_{fi} A_{fs} N_u M_u CS sforzo normale ultimo espresso in [kg] momento ultimo espresso in [kgm]

coefficiente sicurezza sezione Aliquota di taglio assorbito dal cls, espresso in [kg] VRcd

Aliquota di taglio assorbito dall'armatura, espresso in [kg] Resistenza al taglio, espresso in [kg]

Fondazione di valle

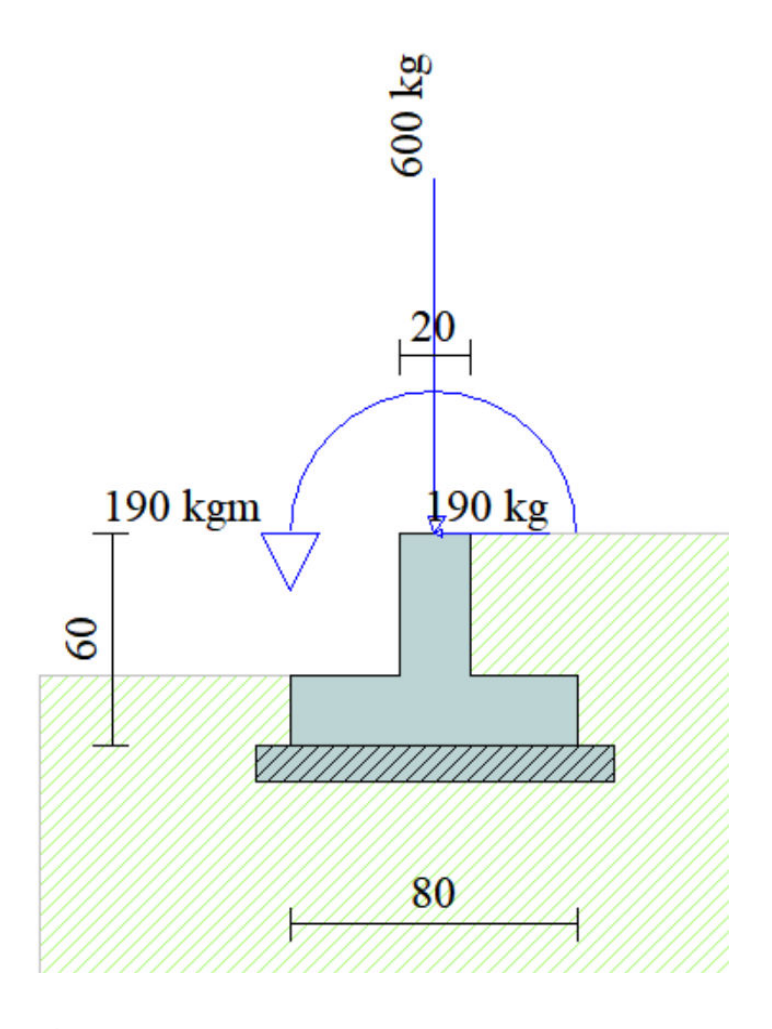
(L'ascissa X, espressa in [m], è positiva verso monte con origine in corrispondenza dell'estremo libero della fondazione di valle)

Inviluppo SLU

V_{Rsd}	V_{Rcd}	V_{Rd}	CS	\mathbf{M}_{u}	N_u	A_{fi}	A_{fs}	B, H	Υ	Nr.
		8653	1000.00	0	0	4.71	4.71	100, 20	0.00	1
		8653	232.80	3094	0	4.71	4.71	100, 20	0.18	2
		8653	56 77	3094	0	4 71	4 71	100 20	0.36	3

4	0.54	100, 20	4.71	4.71	0	3094	24.62	8653	
5	0.72	100, 20	4.71	4.71	0	3094	13.53	8653	
6	0.90	100, 20	4.71	4.71	0	3094	8.46	8653	

VERIFICA MURO TIPO 4



Normativa

N.T.C. 2008 - Approccio 1

Simbologia adottata

YGsfav Coefficiente parziale sfavorevole sulle azioni permanenti
YGfav Coefficiente parziale favorevole sulle azioni permanenti
YGsfav Coefficiente parziale sfavorevole sulle azioni variabili
YGsfav Coefficiente parziale favorevole sulle azioni variabili
Ytanny Coefficiente parziale di riduzione dell'angolo di attrito drenato
YC Coefficiente parziale di riduzione della coesione drenata
Coefficiente parziale di riduzione della coesione non drenata
Coefficiente parziale di riduzione del carco ultimo.

You Coefficiente parziale di riduzione del carico ultimo
Coefficiente parziale di riduzione del carico ultimo
Coefficiente parziale di riduzione della resistenza a compressione uniassiale delle rocce

Coefficienti di partecipazione combinazioni statiche

Coefficienti parziali per le azioni o per l'effetto delle azioni:

Carichi	Effetto		A1	A2	EQU	HYD
Permanenti	Favorevole	γGfav	1.00	1.00	0.90	0.90
Permanenti	Sfavorevole	γGsfav	1.30	1.00	1.10	1.30
Variabili	Favorevole	γ̈Qfav	0.00	0.00	0.00	0.00
Variabili	Sfavorevole	γQsfav	1.50	1.30	1.50	1.50

Coefficienti parziali per i Parametri Tangente dell'angolo di a Coesione efficace Resistenza non drenata Resistenza a compressio Peso dell'unità di volume	one uniassiale	reno: Υtanφ' Υc' Υcu Υqu Υγ	<i>M1</i> 1.00 1.00 1.00 1.00 1.00	M2 1.25 1.25 1.40 1.60 1.00	M2 1.25 1.25 1.40 1.60 1.00	<i>M1</i> 1.00 1.00 1.00 1.00 1.00
Coefficienti di partecip	azione combinazioni sism	iiche				
Coefficienti parziali per le Carichi Permanenti Permanenti Variabili Variabili	e azioni o per l'effetto delle a Effetto Favorevole Sfavorevole Favorevole Sfavorevole	<u>azioni:</u> ΥGfav YGsfav ΥQfav YQsfav	A1 1.00 1.00 0.00 1.00	A2 1.00 1.00 0.00 1.00	EQU 1.00 1.00 0.00 1.00	HYD 0.90 1.30 0.00 1.50
Coefficienti parziali per i Parametri Tangente dell'angolo di a Coesione efficace Resistenza non drenata Resistenza a compressio Peso dell'unità di volume	one uniassiale	reno: Υtanφ' Υc' Υcu Υqu Υγ	<i>M1</i> 1.00 1.00 1.00 1.00 1.00	M2 1.25 1.25 1.40 1.60 1.00	M2 1.25 1.25 1.40 1.60 1.00	<i>M1</i> 1.00 1.00 1.00 1.00 1.00

 $\frac{\text{FONDAZIONE SUPERFICIALE}}{\text{Coefficienti parziali }\gamma_{R}\text{ per le verifiche agli stati limite ultimi STR e GEO}$

Coefficienti parzian yr per le verniche agni stati innite uttimi 31K e Gi	_0		
Verifica		Coefficienti parzia	ali
	R1	R2	R3
Capacità portante della fondazione	1.00	1.00	1.40
Scorrimento	1.00	1.00	1.10
Resistenza del terreno a valle	1.00	1.00	1.40
Stabilità globale		1.10	

Geometria muro e fondazione

Descrizione	Muro a mensola in c.a.
Altezza del paramento Spessore in sommità Spessore all'attacco con la fondazione Inclinazione paramento esterno Inclinazione paramento interno Lunghezza del muro	0.40 [m] 0.20 [m] 0.20 [m] 0.00 [°] 0.00 [°] 1.00 [m]
<u>Fondazione</u>	
Lunghezza mensola fondazione di valle Lunghezza mensola fondazione di monte Lunghezza totale fondazione Inclinazione piano di posa della fondazione Spessore fondazione Spessore magrone	0.30 [m] 0.30 [m] 0.80 [m] 0.00 [°] 0.20 [m] 0.10 [m]

2500.0 [kg/mc] C25/30 47

Materiali utilizzati per la struttura

Calcestruzzo

Peso specifico Classe di Resistenza

Resistenza caratteristica a compressione R_{ck} 305.9 [kg/cmq] Modulo elastico E 320665.55 [kg/cmq]

Acciaio Tipo B450C

Tensione di snervamento σ_{fa} 4588.0 [kg/cmq]

Geometria profilo terreno a monte del muro

Simbologia adottata e sistema di riferimento

(Sistema di riferimento con origine in testa al muro, ascissa X positiva verso monte, ordinata Y positiva verso l'alto)

N numero ordine del punto X ascissa del punto espressa in [m] Y ordinata del punto espressa in [m] A inclinazione del tratto espressa in [°]

N	X	Υ	Α
1	0.80	0.00	0.00
2	4.00	0.00	0.00

Terreno a valle del muro

Inclinazione terreno a valle del muro rispetto all'orizzontale 0.00 [°]
Altezza del rinterro rispetto all'attacco fondaz.valle-paramento 0.00 [m]

Descrizione terreni

Simbologia adottata

Nr. Indice del terreno

Descrizione Descrizione terreno

γ Peso di volume del terreno espresso in [kg/mc]
γ Peso di volume saturo del terreno espresso in [kg/mc]
φ Angolo d'attrito interno espresso in [°]

Angolo d'attrito terra-muro espresso in [°]

C Coesione espressa in [kg/cmq]

Adesione terra-muro espressa in [kg/cmq]

Descrizione	γ	γs	ф	δ	С	Ca
Terreno 1	1800	2000	30.00	20.00	0.000	0.000
Terreno 2	1800	2000	35 00	23 33	0.000	0.000

Stratigrafia

Simbologia adottata

N Indice dello strato

H Spessore dello strato espresso in [m]
Inclinazione espressa in [°]

Kw Costante di Winkler orizzontale espressa in Kg/cm²/cm

Ks Coefficiente di spinta Terreno Terreno dello strato

 Nr.
 H
 a
 Kw
 Ks
 Terreno

 1
 1.80
 0.00
 0.00
 0.00
 Terreno 1

 2
 3.00
 0.00
 0.00
 0.00
 Terreno 2

Condizioni di carico

Simbologia e convenzioni di segno adottate Carichi verticali positivi verso il basso.

Carichi verticali positivi verso il basso. Carichi orizzontali positivi verso sinistra. Momento positivo senso antiorario. X Ascissa del punto di applica F_x Componente orizzontale de F_y Componente verticale del ci M Momento espresso in [kgm X_t Ascissa del punto iniziale d X_t Ascissa del punto finale del Intensità del carico per x=X Q_t Intensità del carico per x=X D/C Tipo carico: D=distribuito C

sistivo senso antiorario.

Ascissa del punto di applicazione del carico concentrato espressa in [m]
Componente orizzontale del carico concentrato espressa in [kg]
Componente verticale del carico concentrato espressa in [kg]
Momento espresso in [kgm]
Ascissa del punto iniziale del carico ripartito espressa in [m]
Ascissa del punto finale del carico ripartito espressa in [m]
Intensità del carico per x=X, espressa in [kg/m]
Intensità del carico per x=X, espressa in [kg/m]
Tipo carico: D=distribuito C=concentrato

Condizione n° 1 (VENTO)
C Paramento **X**=-0.10 **Y**=0.00 $F_x = 190.00$ $F_y = 600.00$ **M**=190.00

Descrizione combinazioni di carico

Simbologia adottata F/S Effetto dell'azione (FAV: Favorevole, SFAV: Sfavorevole) F/S Coefficiente di partecipazione della condizione Coefficiente di combinazione della condizione

Combinazione n° 1 - Caso A1-M1 (STR)	0.75			* >=4
_	S/F	γ	Ψ	γ*Ψ
Peso proprio muro	FAV	1.00	1.00	1.00
Peso proprio terrapieno	FAV	1.00	1.00	1.00
Spinta terreno	SFAV	1.30	1.00	1.30
VENTO	SFAV	1.30	1.00	1.30
Combinazione n° 2 - Caso A1-M1 (STR)				
	S/F	γ	Ψ	γ*Ψ
Peso proprio muro	SFAV	1.30	1.00	1.30
Peso proprio terrapieno	SFAV	1.30	1.00	1.30
Spinta terreno	SFAV	1.30	1.00	1.30
VENTO	SFAV	1.30	1.00	1.30
Combinazione n° 3 - Caso A2-M2 (GEO)				
	S/F	γ	Ψ	γ*Ψ
Peso proprio muro	SFAV	1.00	1.00	1.00
Peso proprio terrapieno	SFAV	1.00	1.00	1.00
Spinta terreno	SFAV	1.00	1.00	1.00
VENTO	SFAV	1.00	1.00	1.00
Combinazione n° 4 - Caso EQU (SLU)				
	S/F	γ	Ψ	γ*Ψ
Peso proprio muro	FAV	0.90	1.00	0.90
Peso proprio terrapieno	FAV	0.90	1.00	0.90
Spinta terreno	SFAV	1.10	1.00	1.10
VENTO	SFAV	1.10	1.00	1.10
Combinazione n° 5 - Caso A2-M2 (GEO-	STAB)			
<u> </u>	S/F	γ	Ψ	γ*Ψ
Peso proprio muro	SFAV	1.00	1.00	1.00
Peso proprio terrapieno	SFAV	1.00	1.00	1.00
Spinta terreno	SFAV	1.00	1.00	1.00
VENTO	SFAV	1.00	1.00	1.00
0 11 1 00 0 1111 (077)	o			
Combinazione n° 6 - Caso A1-M1 (STR)				
_	S/F	γ	Ψ	γ*Ψ
Peso proprio muro	SFAV	1.00	1.00	1.00
Peso proprio terrapieno	SFAV	1.00	1.00	1.00
Spinta terreno	SFAV	1.00	1.00	1.00
VENTO	SFAV	1.00	1.00	1.00
Combinazione n° 7 - Caso A2-M2 (GEO)		oositivo		
	S/F	γ	Ψ	γ*Ψ
Peso proprio muro	SFAV	1.00	1.00	1.00
Peso proprio terrapieno	SFAV	1.00	1.00	1.00
Spinta terreno	SFAV	1.00	1.00	1.00

SFAV

1.00

1.00

1.00

Impostazioni di analisi

VENTO

49

Metodo verifica sezioni Stato limite Impostazioni verifiche SLU

Coefficienti parziali per resistenze di calcolo dei materiali	
Coefficiente di sicurezza calcestruzzo a compressione	1.50
Coefficiente di sicurezza calcestruzzo a trazione	1.50
Coefficiente di sicurezza acciaio	1.15
Fattore riduzione da resistenza cubica a cilindrica	0.83
Fattore di riduzione per carichi di lungo periodo	0.85
Coefficiente di sicurezza per la sezione	1.00

Calcolo della portanza metodo di Hansen

Coefficiente correttivo su Ny per effetti cinematici (combinazioni sismiche SLU): 1.00 Coefficiente correttivo su N γ per effetti cinematici (combinazioni sismiche SLE): 1.00

Impostazioni avanzate

Influenza del terreno sulla fondazione di valle nelle verifiche e nel calcolo delle sollecitazioni Diagramma correttivo per eccentricità negativa con aliquota di parzializzazione pari a 0.00

Quadro riassuntivo coeff. di sicurezza calcolati

Simbologia adottata C Identificativo della combinazione Tipo Sisma Tipo combinazione Combinazione sismica CS_{SCO} CS_{RIB} Coeff. di sicurezza allo scorrimento Coeff. di sicurezza al ribaltamento

CS_{QLIM} CS_{STAB} Coeff. di sicurezza a carico limite Coeff. di sicurezza a stabilità globale

С	Tipo	Sisma	CS _{sco}	CS _{rib}	CS _{qlim}	CS _{stab}
1	A1-M1 - [1]		1.78		1.97	
2	A1-M1 - [1]		2.03		2.26	
3	A2-M2 - [1]		1.54		1.36	
4	EQU - [1]			1.77		
5	STAB - [1]					2.14
6	A1-M1 - [2]	Orizzontale + Verticale positivo	1.91		2.70	
7	A2-M2 - [2]	Orizzontale + Verticale positivo	1.42		1.25	

Analisi della spinta e verifiche

Sistema di riferimento adottato per le coordinate :
Origine in testa al muro (spigolo di monte)
Ascisse X (espresse in [m]) positive verso monte
Ordinate Y (espresse in [m]) positive verso l'alto
Le forze orizzontali sono considerate positive se agenti da monte verso valle
Le forze verticali sono considerate positive se agenti dall'alto verso il basso

Calcolo riferito ad 1 metro di muro

Tipo di analisi

Calcolo della spinta	metodo di Culmann
Calcolo del carico limite	metodo di Hansen
Calcolo della stabilità globale	metodo di Bishop
Calcolo della spinta in condizioni di	Spinta attiva

Sisma

Combinazioni SLU

Accelerazione al suolo a _q	0.58 [m/s^2]
Coefficiente di amplificazione per tipo di sottosuolo (S)	1.50
Coefficiente di amplificazione topografica (St)	1.00
Coefficiente riduzione (β _m)	0.18
Rapporto intensità sismica verticale/orizzontale	0.50
Coefficiente di intensità sismica orizzontale (percento)	$k_h = (a_g/g^*\beta_m^*St^*S) = 1.58$
Coefficiente di intensità sismica verticale (percento)	$k_v = 0.50 * k_b = 0.79$

Forma diagramma incremento sismico Stessa forma diagramma statico

Partecipazione spinta passiva (percento)	50.0	
Lunghezza del muro	1.00	[m]

Peso muro Baricentro del muro		600.00 [kg] X=-0.10 Y=-0	0.40		
Superficie di spinta Punto inferiore superficie di spinta Punto superiore superficie di spinta Altezza della superficie di spinta Inclinazione superficie di spinta(rispetto alla verticale)		X = 0.30 Y = X = 0.30 Y = 0.60 [m] 0.00 [°]			
COMBINAZIONE n° 1 Peso muro favorevole e Peso terrapieno favorevole					
Valore della spinta statica Componente orizzontale della spinta statica Componente verticale della spinta statica Punto d'applicazione della spinta Inclinaz. della spinta rispetto alla normale alla superficie Inclinazione linea di rottura in condizioni statiche		125.13 117.58 42.80 X = 0.30 20.00 55.98	[kg] [kg] [kg] [m] [°]	Y = -0.40	[m]
Peso terrapieno gravante sulla fondazione a monte Baricentro terrapieno gravante sulla fondazione a monte		216.00 X = 0.15	[kg] [m]	Y = -0.20	[m]
Risultanti carichi esterni Componente dir. X Componente dir. Y		247 780	[kg] [kg]		
Risultanti Risultante dei carichi applicati in dir. orizzontale Risultante dei carichi applicati in dir. verticale Resistenza passiva a valle del muro Sforzo normale sul piano di posa della fondazione Sforzo tangenziale sul piano di posa della fondazione Eccentricità rispetto al baricentro della fondazione Lunghezza fondazione reagente Risultante in fondazione Inclinazione della risultante (rispetto alla normale) Momento rispetto al baricentro della fondazione Carico ultimo della fondazione		364.58 1638.80 -54.00 1638.80 364.58 0.21 0.56 1678.86 12.54 347.62 3228.92	[kg] [kg] [kg] [kg] [m] [m] [kg] [sgm] [kg]		
<u>Tensioni sul terreno</u> Lunghezza fondazione reagente Tensione terreno allo spigolo di valle Tensione terreno allo spigolo di monte		0.56 0.5815 0.0000	[m] [kg/cmq] [kg/cmq]		
Fattori forma S _c Fattori inclinazione ic Fattori profondità d _c Fattori inclinazione piano posa b _c Fattori inclinazione pendio g _c I coefficienti N' tengono conto dei fattori di forma, profondi	: 30.14 = 1.00 = 0.53 = 1.10 = 1.00 = 1.00 ità, inclinazione carico	$\begin{aligned} N_q &= 18.4\\ s_q &= 1.4\\ i_q &= 0.4\\ d_q &= 1.4\\ b_q &= 1.4\\ g_q &= 1.4\\ o, inclinazione proper N'_q &= 10.4\\ \end{aligned}$	00 55 07 00 00 oiano di posa	ı, inclinazione	$f_{\gamma} = 15.07$ $f_{\gamma} = 1.00$ $f_{\gamma} = 0.43$ $f_{\gamma} = 1.00$ $f_{\gamma} = 0.46$

COEFFICIENTI DI SICUREZZA
Coefficiente di sicurezza a scorrimento
Coefficiente di sicurezza a carico ultimo 1.78 1.97

Sollecitazioni paramento

Combinazione n° 1
L'ordinata Y(espressa in m) è considerata positiva verso il basso con origine in testa al muro Momento positivo se tende le fibre contro terra (a monte), espresso in kgm Sforzo normale positivo di compressione, espresso in kg
Taglio positivo se diretto da monte verso valle, espresso in kg

Nr.	Υ	N	М	Т
1	0.00	780.00	247.00	247.00
2	0.04	800.00	256.89	247.52
3	0.08	820.00	266.82	249.09
4	0.12	840.00	276.83	251.71
5	0.16	860.00	286.97	255.37
6	0.20	880.00	297.27	260.07
7	0.24	900.00	307.79	265.83
8	0.28	920.00	318.55	272.63
9	0.32	940.00	329.61	280.47
10	0.36	960.00	341.00	289.36
11	0.40	980.00	352.77	299.26

Sollecitazioni fondazione di valle

Combinazione n° 1
L'ascissa X(espressa in m) è considerata positiva verso monte con origine in corrispondenza dell'estremo libero della fondazione di valle Momento positivo se tende le fibre inferiori, espresso in kgm
Taglio positivo se diretto verso l'alto, espresso in kg

Nr.	X	M	Т
1	0.00	0.00	0.00
2	0.06	9.20	300.33
3	0.12	35.30	563.51
4	0.18	76.07	789.56
5	0.24	129.30	978.47
6	0.30	192.75	1130.24

Sollecitazioni fondazione di monte

Combinazione n° 1
L'ascissa X(espressa in m) è considerata positiva verso valle con origine in corrispondenza dell'estremo libero della fondazione di monte Momento positivo se tende le fibre inferiori, espresso in kgm
Taglio positivo se diretto verso l'alto, espresso in kg

Nr.	X	M	Т
1	0.00	0.00	0.00
2	0.06	-2.58	-86.16
3	0.12	-10.34	-172.32
4	0.18	-23.26	-258.48
5	0.24	-41.36	-344.57
6	0.30	-64.18	-409.90

Armature e tensioni nei materiali del muro

Combinazione n° 1

U'ordinata Y(espressa in [m]) è considerata positiva verso il basso con origine in testa al muro
B base della sezione espressa in [cm]
H altezza della sezione espressa in [cm]

altezza della sezione espressa in [cm]
area di armatura in corrispondenza del lembo di monte in [cmq]
area di armatura in corrispondenza del lembo di valle in [cmq]

A_{fs}
A_{fi}
N_u
M_u
CS
VRcd sforzo normale ultimo espresso in [kg] momento ultimo espresso in [kgm]

coefficiente sicurezza sezione Aliquota di taglio assorbito dal cls, espresso in [kg]

Aliquota di taglio assorbito dall'armatura, espresso in [kg] Resistenza al taglio, espresso in [kg]

VRsd VRd

Nr.	Y	В, Н	A_{fs}	A_{fi}	N_u	$M_{\rm u}$	cs	V_{Rd}	V_{Rcd}	V_{Rsd}
1	0.00	100, 20	6.28	3.14	16449	-5209	21.09	8881		
2	0.04	100, 20	6.28	3.14	16156	-5188	20.19	8883		
3	0.08	100, 20	6.28	3.14	15883	-5168	19.37	8886		
4	0.12	100, 20	6.28	3.14	15626	-5150	18.60	8889		
5	0.16	100, 20	6.28	3.14	15379	-5132	17.88	8891		
6	0.20	100, 20	6.28	3.14	15141	-5115	17.21	8894		
7	0.24	100, 20	6.28	3.14	14906	-5098	16.56	8896		
8	0.28	100, 20	6.28	3.14	14674	-5081	15.95	8899		
9	0.32	100, 20	6.28	3.14	14443	-5064	15.36	8901		
10	0.36	100, 20	6.28	3.14	14210	-5048	14.80	8904		
11	0.40	100, 20	6.28	3.14	13975	-5031	14.26	8906		

Armature e tensioni nei materiali della fondazione

Combinazione n° 1
Simbologia adottata
B base della sezione espressa in [cm]
H altezza della sezione espressa in [cm]
A₁ area di armatura in corrispondenza del lembo inferiore in [cmq]

area di armatura in corrispondenza del lembo superiore in [cmq] sforzo normale ultimo espresso in [kg]

B H Afi Afs Nu Mu CS VRcd momento ultimo espresso in [kgm] coefficiente sicurezza sezione

Aliquota di taglio assorbito dal cls, espresso in [kg]
Aliquota di taglio assorbito dall'armatura, espresso in [kg]
Resistenza al taglio, espresso in [kg]

VRsd VRd

Fondazione di valle

(L'ascissa X, espressa in [m], è positiva verso monte con origine in corrispondenza dell'estremo libero della fondazione di valle)

Nr.	Υ	В, Н	A_{fs}	A_{fi}	N_u	$M_{\rm u}$	cs	V_{Rd}	V_{Rcd}	V_{Rsd}
1	0.00	100, 20	4.71	4.71	0	0	1000.00	8653		
2	0.06	100, 20	4.71	4.71	0	3094	336.42	8653		
3	0.12	100, 20	4.71	4.71	0	3094	87.64	8653		
4	0.18	100, 20	4.71	4.71	0	3094	40.66	8653		
5	0.24	100, 20	4.71	4.71	0	3094	23.92	8653		
6	0.30	100, 20	4.71	4.71	0	3094	16.05	8653		

Fondazione di monte

(L'ascissa X, espressa in [m], è positiva verso valle con origine in corrispondenza dell'estremo libero della fondazione di monte)

/ _{Rcd} V	V_{Rcd}	V_{Rd}	CS	$M_{\rm u}$	N_u	A_{fi}	A_{fs}	В, Н	Υ	Nr.
		8653	1000.00	0	0	4.71	4.71	100, 20	0.00	1
		8653	1196.81	-3094	0	4.71	4.71	100, 20	0.06	2
		8653	299.20	-3094	0	4.71	4.71	100, 20	0.12	3
		8653	132.98	-3094	0	4.71	4.71	100, 20	0.18	4
		8653	74.80	-3094	0	4.71	4.71	100, 20	0.24	5
		8653	48.20	-3094	0	4.71	4.71	100. 20	0.30	6

COMBINAZIONE n° 2

Peso muro sfavorevole e Peso terrapieno sfavorevole

Valore della spinta statica	125.13	[kg]
Componente orizzontale della spinta statica	117.58	[kg]
Componente verticale della spinta statica	42.80	[kg]

Punto d'applicazione della spinta Inclinaz. della spinta rispetto alla normale alla superficie Inclinazione linea di rottura in condizioni statiche	X = 0.30 20.00 55.98	[m] [°] [°]	Y = -0.40	[m]
Peso terrapieno gravante sulla fondazione a monte Baricentro terrapieno gravante sulla fondazione a monte	280.80 X = 0.15	[kg] [m]	Y = -0.20	[m]
Risultanti carichi esterni Componente dir. X Componente dir. Y	247 780	[kg] [kg]		
Risultanti Risultante dei carichi applicati in dir. orizzontale Risultante dei carichi applicati in dir. verticale Resistenza passiva a valle del muro Sforzo normale sul piano di posa della fondazione Sforzo tangenziale sul piano di posa della fondazione Eccentricità rispetto al baricentro della fondazione Lunghezza fondazione reagente Risultante in fondazione Inclinazione della risultante (rispetto alla normale) Momento rispetto al baricentro della fondazione Carico ultimo della fondazione	364.58 1883.60 -54.00 1883.60 364.58 0.18 0.67 1918.56 10.95 331.42 4261.05	[kg] [kg] [kg] [kg] [m] [m] [kg] [kgm] [kg]		
<u>Tensioni sul terreno</u> Lunghezza fondazione reagente Tensione terreno allo spigolo di valle Tensione terreno allo spigolo di monte	0.67 0.5605 0.0000	[m] [kg/cmq] [kg/cmq]		

Fattori per il calcolo della capacità portante

Coeff. capacità portante	$N_c = 30.14$	$N_{q} = 18.40$	$N_{\gamma} = 15.07$
Fattori forma	$s_c = 1.00$	$s_q = 1.00$	$s_{\gamma} = 1.00$
Fattori inclinazione	$i_c = 0.58$	$i_q = 0.60$	$i_{\gamma} = 0.48$
Fattori profondità	$d_c = 1.10$	$d_{q} = 1.07$	$d_{\gamma} = 1.00$
Fattori inclinazione piano posa	$b_c = 1.00$	$b_q = 1.00$	$b_{\gamma} = 1.00$
Fattori inclinazione pendio	$g_c = 1.00$	$g_{q} = 1.00$	$g_{\gamma} = 1.00$
I an afficient NI towns a court of a fattor of the wa		and a contract the contract of the contract of	

I coefficienti N' tengono conto dei fattori di forma, profondità, inclinazione carico, inclinazione piano di posa, inclinazione pendio. $N'_{c} = 19.17$ $N'_{q} = 11.86$ $N'_{\gamma} = 7.28$

COEFFICIENTI DI SICUREZZA

Coefficiente di sicurezza a scorrimento 2.03 Coefficiente di sicurezza a carico ultimo 2.26

Sollecitazioni paramento

Combinazione n° 2
L'ordinata Y(espressa in m) è considerata positiva verso il basso con origine in testa al muro Momento positivo se tende le fibre contro terra (a monte), espresso in kgm Sforzo normale positivo di compressione, espresso in kg
Taglio positivo se diretto da monte verso valle, espresso in kg

Nr.	Υ	N	М	Т
1	0.00	780.00	247.00	247.00
2	0.04	806.00	256.89	247.52
3	0.08	832.00	266.82	249.09
4	0.12	858.00	276.83	251.71
5	0.16	884.00	286.97	255.37
6	0.20	910.00	297.27	260.07
7	0.24	936.00	307.79	265.83
8	0.28	962.00	318.55	272.63
9	0.32	988.00	329.61	280.47
10	0.36	1014.00	341.00	289.36
11	0.40	1040.00	352.77	299.26

Sollecitazioni fondazione di valle

Combinazione n° 2
L'ascissa X(espressa in m) è considerata positiva verso monte con origine in corrispondenza dell'estremo libero della fondazione di valle Momento positivo se tende le fibre inferiori, espresso in kgm
Taglio positivo se diretto verso l'alto, espresso in kg

Nr.	X	M	T
1	0.00	0.00	0.00
2	0.06	8.62	282.27

3	0.12	33.27	534.52
4	0.18	72.16	756.76
5	0.24	123.48	948.97
6	0.30	185.44	1111 17

Sollecitazioni fondazione di monte

Combinazione n° 2
L'ascissa X(espressa in m) è considerata positiva verso valle con origine in corrispondenza dell'estremo libero della fondazione di monte Momento positivo se tende le fibre inferiori, espresso in kgm
Taglio positivo se diretto verso l'alto, espresso in kg

Nr.	X	M	Т
1	0.00	0.00	0.00
2	0.06	-2.85	-95.16
3	0.12	-11.42	-190.32
4	0.18	-25.50	-274.14
5	0.24	-43.72	-328.20
6	0.30	-64 28	-352 24

Armature e tensioni nei materiali del muro

Combinazione n° 2

L'ordinata Y(espressa in [m]) è considerata positiva verso il basso con origine in testa al muro
B base della sezione espressa in [cm]
H altezza della sezione espressa in [cm]

altezza della sezione espressa in [cm] area di armatura in corrispondenza del lembo di monte in [cmq]

area di armatura in corrispondenza del lembo di valle in [cmq] sforzo normale ultimo espresso in [kg]

Afs Afi Nu Mu CS VRcd

momento ultimo espresso in [kgm]
coefficiente sicurezza sezione
Aliquota di taglio assorbito dal cls, espresso in [kg]
Aliquota di taglio assorbito dall'armatura, espresso in [kg]

VRsd VRd

Resistenza al taglio, espresso in [kg]

Nr.	Υ	B, H	A_{fs}	A_{fi}	Nu	Mu	CS	V_{Rd}	V_{Rcd}	V_{Rsd}
1	0.00	100, 20	6.28	3.14	16449	-5209	21.09	8881		
2	0.04	100, 20	6.28	3.14	16312	-5199	20.24	8884		
3	0.08	100, 20	6.28	3.14	16183	-5190	19.45	8888		
4	0.12	100, 20	6.28	3.14	16057	-5181	18.71	8891		
5	0.16	100, 20	6.28	3.14	15931	-5172	18.02	8894		
6	0.20	100, 20	6.28	3.14	15803	-5162	17.37	8898		
7	0.24	100, 20	6.28	3.14	15670	-5153	16.74	8901		
8	0.28	100, 20	6.28	3.14	15530	-5143	16.14	8904		
9	0.32	100, 20	6.28	3.14	15383	-5132	15.57	8907		
10	0.36	100, 20	6.28	3.14	15227	-5121	15.02	8911		
11	0.40	100, 20	6.28	3.14	15061	-5109	14.48	8914		

Armature e tensioni nei materiali della fondazione

Combinazione n° 2 Simbologia adottata

base della sezione espressa in [cm] altezza della sezione espressa in [cm] B H

area di armatura in corrispondenza del lembo inferiore in [cmq] area di armatura in corrispondenza del lembo superiore in [cmq]

Afi Afs Nu Mu CS sforzo normale ultimo espresso in [kg] momento ultimo espresso in [kgm] coefficiente sicurezza sezione

VRcd VRsd Aliquota di taglio assorbito dal cls, espresso in [kg] Aliquota di taglio assorbito dall'armatura, espresso in [kg]

Resistenza al taglio, espresso in [kg]

Fondazione di valle

(L'ascissa X, espressa in [m], è positiva verso monte con origine in corrispondenza dell'estremo libero della fondazione di valle)

Nr.	Υ	В, Н	A_{fs}	A_{fi}	N_u	$M_{\rm u}$	CS	V_{Rd}	V_{Rcd}	V_{Rsd}
1	0.00	100, 20	4.71	4.71	0	0	1000.00	8653		
2	0.06	100, 20	4.71	4.71	0	3094	358.95	8653		
3	0.12	100, 20	4.71	4.71	0	3094	92.98	8653		
4	0.18	100, 20	4.71	4.71	0	3094	42.87	8653		
5	0.24	100, 20	4.71	4.71	0	3094	25.05	8653		
6	0.30	100, 20	4.71	4.71	0	3094	16.68	8653		

Fondazione di monte

(L'ascissa X, espressa in [m], è positiva verso valle con origine in corrispondenza dell'estremo libero della fondazione di monte)

Nr.	Υ	В, Н	A_fs	A_{fi}	N_u	\mathbf{M}_{u}	CS	V_{Rd}	V_{Rcd}	V_{Rsd}
1	0.00	100, 20	4.71	4.71	0	0	1000.00	8653		

2 3 4 5 6	0.06 0.12 0.18 0.24 0.30	100, 20 100, 20 100, 20 100, 20 100, 20	4.71 4.71 4.71 4.71 4.71	4.71 4.71 4.71 4.71 4.71	0 0 0 0	-3094 -3094 -3094 -3094	1083.62 270.91 121.33 70.76 48.13	8653 8653 8653 8653 8653	 	
COMBI	NAZIONE n°	<u>3</u>								
Compor Compor Punto d Inclinaz	nente vertical l'applicazione della spinta	tale della spinta e della spinta s	tatica rmale alla sı	11 32 X 16	17.88 13.18 2.96 = 0.30 5.23	[kg] [kg] [kg] [m] [°]	Y = -0.40	[m]		
Peso terrapieno gravante sulla fondazione a monte Baricentro terrapieno gravante sulla fondazione a monte							16.00 = 0.15	[kg] [m]	Y = -0.20	[m]
Compo	<u>nti carichi este</u> nente dir. X nente dir. Y	<u>erni</u>				19 60		[kg] [kg]		
Risultar Resiste Sforzo i Sforzo t Eccentr Lunghe Risultar Inclinaz Momen	nte dei carichi nte dei carichi nza passiva a normale sul p tangenziale si icità rispetto a zza fondazion nte in fondazio ione della risi	one ultante (rispetto baricentro della	verticale Illa fondazion della fonda lla fondazion alla normal	zione ne		14 -4 14 30 0. 0. 14 17	03.18 148.96 4.00 148.96 03.18 18 66 180.33 1.82 59.47 070.81	[kg] [kg] [kg] [kg] [m] [m] [m] [kg] [sgm] [kg]		
Lunghe Tension		ne reagente o spigolo di valle o spigolo di mor				0.	66 4372 0000	[m] [kg/cmq] [kg/cmq]		
Coeff. o Fattori Fattori	capacità port	<u>della capacità p</u> tante	<u>ortante</u>	$N_c = 20.$ $s_c = 1.$ $i_c = 0.$ $d_c = 1.$	00 53		$N_{q} = 10.4$ $S_{q} = 1.4$ $i_{q} = 0.4$ $d_{r} = 1.4$	00 58		$N_{\gamma} = 6.53$ $s_{\gamma} = 1.00$ $i_{\gamma} = 0.45$ $d_{\gamma} = 1.00$

Coeff. capacità portante	$N_c = 20.42$	$N_q = 10.43$	$N_{\gamma} = 6.53$				
Fattori forma	$s_c = 1.00$	$s_q = 1.00$	$s_{\gamma} = 1.00$				
Fattori inclinazione	$i_c = 0.53$	$i_q = 0.58$	$i_{\gamma} = 0.45$				
Fattori profondità	$d_c = 1.10$	$d_{q} = 1.08$	$d_{\gamma} = 1.00$				
Fattori inclinazione piano posa	$b_c = 1.00$	$b_q = 1.00$	$b_{\gamma} = 1.00$				
Fattori inclinazione pendio	$g_c = 1.00$	$g_q = 1.00$	$g_{\gamma} = 1.00$				
I coefficienti N' tengono conto dei fattori di forma, profondità, inclinazione carico, inclinazione piano di posa, inclinazione pendio.							

 $N'_{c} = 11.91$ $N'_{q} = 6.47$ $N'_{\gamma} = 2.96$

COEFFICIENTI DI SICUREZZA
Coefficiente di sicurezza a scorrimento 1.54 Coefficiente di sicurezza a carico ultimo 1.36

Sollecitazioni paramento

 $\label{eq:combinazionen} \frac{Combinazione \ n^\circ \ 3}{\text{L'ordinata Y(espressa in m) }}\ \text{c}\ \text{considerata positiva verso il basso con origine in testa al muro Momento positivo se tende le fibre contro terra (a monte), espresso in kgm Sforzo normale positivo di compressione, espresso in kg Taglio positivo se diretto da monte verso valle, espresso in kg$

Nr.	Y	N	М	т
1	0.00	600.00	190.00	190.00
2	0.04	620.00	197.61	190.50
3	0.08	640.00	205.25	192.01
4	0.12	660.00	212.98	194.53
5	0.16	680.00	220.83	198.05
6	0.20	700.00	228.84	202.59
7	0.24	720.00	237.05	208.12
8	0.28	740.00	245.50	214.67
9	0.32	760.00	254.24	222.22
10	0.36	780.00	263.29	230.78
11	0.40	800.00	272.71	240.30

Sollecitazioni fondazione di valle

Combinazione n° 3

L'ascissa X(espressa in m) è considerata positiva verso monte con origine in corrispondenza dell'estremo libero della fondazione di valle Momento positivo se tende le fibre inferiori, espresso in kgm

Taglio positivo se diretto verso l'alto, espresso in kg

Nr.	X	M	Т
1	0.00	0.00	0.00
2	0.06	6.73	220.47
3	0.12	25.98	417.19
4	0.18	56.32	590.16
5	0.24	96.32	739.38
6	0.30	144.57	864.85

Sollecitazioni fondazione di monte

Combinazione n° 3

C'ascissa X(espressa in m) è considerata positiva verso valle con origine in corrispondenza dell'estremo libero della fondazione di monte Momento positivo se tende le fibre inferiori, espresso in kgm Taglio positivo se diretto verso l'alto, espresso in kg

Nr.	X	M	Т
1	0.00	0.00	0.00
2	0.06	-2.20	-73.20
3	0.12	-8.78	-146.40
4	0.18	-19.68	-213.56
5	0.24	-33.94	-257.96
6	0.30	-50.16	-278.60

Armature e tensioni nei materiali del muro

Combinazione n° 3
L'ordinata Y(espressa in [m]) è considerata positiva verso il basso con origine in testa al muro
B base della sezione espressa in [cm]
H altezza della sezione espressa in [cm]

A_{fs} A_{fi} N_u area di armatura in corrispondenza del lembo di monte in [cmq] area di armatura in corrispondenza del lembo di valle in [cmq]

sforzo normale ultimo espresso in [kg] momento ultimo espresso in [kgm] M_u CS coefficiente sicurezza sezione

VRcd VRsd Aliquota di taglio assorbito dal cls, espresso in [kg] Aliquota di taglio assorbito dall'armatura, espresso in [kg]

Resistenza al taglio, espresso in [kg]

Nr.	Υ	В, Н	A_{fs}	A_{fi}	N_u	$M_{\rm u}$	cs	V_{Rd}	V_{Rcd}	V_{Rsd}
1	0.00	100, 20	6.28	3.14	16449	-5209	27.42	8858		
2	0.04	100, 20	6.28	3.14	16312	-5199	26.31	8861		
3	0.08	100, 20	6.28	3.14	16182	-5190	25.28	8863		
4	0.12	100, 20	6.28	3.14	16053	-5180	24.32	8866		
5	0.16	100, 20	6.28	3.14	15923	-5171	23.42	8868		
6	0.20	100, 20	6.28	3.14	15788	-5161	22.55	8871		
7	0.24	100, 20	6.28	3.14	15645	-5151	21.73	8873		
8	0.28	100, 20	6.28	3.14	15493	-5140	20.94	8876		
9	0.32	100. 20	6.28	3.14	15330	-5128	20.17	8878		
10	0.36	100, 20	6.28	3.14	15155	-5116	19.43	8881		
11	0.40	100, 20	6.28	3.14	14967	-5102	18.71	8883		

Armature e tensioni nei materiali della fondazione

Combinazione n° 3

Simbologia adottata

base della sezione espressa in [cm]

H Afi altezza della sezione espressa in [cm] area di armatura in corrispondenza del lembo inferiore in [cmq]

Afs Nu Mu area di armatura in corrispondenza del lembo superiore in [cmq] sforzo normale ultimo espresso in [kg] momento ultimo espresso in [kgm]

CS VRcd

Aliquota di taglio assorbito dal cis, espresso in [kg]
Aliquota di taglio assorbito dall'armatura, espresso in [kg]
Resistenza al taglio, espresso in [kg]

VRd

Fondazione di valle

(L'ascissa X, espressa in [m], è positiva verso monte con origine in corrispondenza dell'estremo libero della fondazione di valle)

V_{Rsd}	V_{Rcd}	V_{Rd}	cs	Mu	N_u	A_{fi}	A_{fs}	B, H	. Y	Nr.
		8653	1000.00	0	0	4.71	4.71	100, 20	0.00	1
		8653	459.47	3094	0	4.71	4.71	100, 20	0.06	2

3	0.12	100, 20	4.71	4.71	0	3094	119.07	8653		
4	0.18	100, 20	4.71	4.71	0	3094	54.93	8653		
5	0.24	100, 20	4.71	4.71	0	3094	32.12	8653		
6	0.30	100, 20	4.71	4.71	0	3094	21.40	8653		
<u>Fondaz</u>	zione di mont	<u>e</u>								
(L'ascissa	a X, espressa in [r	m], è positiva verso v	alle con origine	in corrispondenza	a dell'estremo	libero della fon	dazione di mont	e)		
Nr.	Y	В, Н	A _{fs}	Afi	Nu	Mu	CS	V_{Rd}	\mathbf{V}_{Rcd}	\mathbf{V}_{Rsd}
1	0.00	100, 20	4.71	4.71	0	0	1000.00	8653		
2	0.06	100, 20	4.71	4.71	0	-3094	1408.71	8653		
3 4	0.12 0.18	100, 20 100, 20	4.71 4.71	4.71 4.71	0 0	-3094 -3094	352.18 157.21	8653 8653		
5	0.16	100, 20	4.71	4.71	0	-3094	91.14	8653		
6	0.30	100, 20	4.71	4.71	0	-3094	61.68	8653		
COMBI	NAZIONE n°	4								
	della spinta s						29.67	[kg]		
		ntale della spinta					24.50	[kg]		
		lle della spinta s	tatica				6.25	[kg]	Y = -0 40	[m]
		e della spinta ı rispetto alla no	rmale alla e	unerficie			= 0.30 6.23	[m] [°]	10.40	[m]
		rottura in condiz					2.95	[°]		
Peso te	errapieno gra	vante sulla fond	azione a mo	onte		19	94.40	[kg]		
Baricer	ntro terrapien	o gravante sulla	fondazione	a monte		X	= 0.15	[m]	Y = -0.20	[m]
	nti carichi est	<u>'erni</u>				04	00	F1 3		
	nente dir. X nente dir. Y						09 60	[kg] [kg]		
Risulta	nti									
Risulta	nte dei carich	i applicati in dir.	orizzontale	•		33	33.50	[kg]		
Risulta	nte dei carich	i applicati in dir.	verticale			14	430.65	[kg]		
		a valle del murc					39.60	[kg]		
		rispetto allo spiເ					59.32	[kgm]		
		nte rispetto allo s					35.36	[kgm]		
		piano di posa de					430.65	[kg]		
		sul piano di posa					33.50	[kg]		
		al baricentro de	iia tondazio	ne			.21	[m]		
	ezza fondazio nte in fondazi						.58 469.01	[m] [kg]		
		sultante (rispetto	alla norma	le)			3.12	[*9] [°]		
		baricentro della					96.22	ر ا [kgm]		
MOINE	no nopeno ai	Samoonino della	IJIIGAZIONE	•		23		[vAiii]		

1.77

COEFFICIENTI DI SICUREZZA

Coefficiente di sicurezza a ribaltamento

Stabilità globale muro + terreno

Combinazione n° 5

Le ascisse X sono considerate positive verso monte
Le ordinate Y sono considerate positive verso l'alto
Origine in testa al muro (spigolo contro terra)
W peso della striscia espresso in [kg]

angolo fra la base della striscia e l'orizzontale espresso in [°] (positivo antiorario) angolo d'attrito del terreno lungo la base della striscia coesione del terreno lungo la base della striscia espressa in [kg/cmq] larghezza della striscia espressa in [m] pressione neutra lungo la base della striscia espressa in [kg/cmq] α

Metodo di Bishop

Numero di cerchi analizzati 36 Numero di strisce 25

Cerchio critico

Coordinate del centro X[m] = -0.53Y[m] = 0.41

Raggio del cerchio R[m]= 1.31

Ascissa a valle del cerchio Xi[m] = -1.56Ascissa a monte del cerchio Xs[m]= 0.72 Larghezza della striscia dx[m] = 0.09C = 2.14Coefficiente di sicurezza Le strisce sono numerate da monte verso valle

Caratteristiche delle strisce

Striscia 1 2 3 4 5 6 7 8 9 10 11 12 13 14 15 16 17 18 19 20 21 22	W 16.42 44.98 66.48 83.40 102.50 121.42 130.95 142.10 770.86 176.03 94.66 91.58 93.33 85.74 80.87 79.45 76.95 73.33 68.53 62.47 55.02 46.01	α(°) 65.47 58.33 51.31 45.26 39.81 34.76 30.01 25.48 21.11 16.88 12.73 8.65 4.62 0.60 -3.40 -7.43 -11.49 -15.62 -19.82 -24.15 -28.62 -33.30	Wsinα 14.93 38.28 51.89 59.24 65.62 69.23 65.50 61.13 277.69 51.10 20.86 13.77 7.51 0.90 -4.80 -10.27 -15.33 -19.74 -23.24 -25.56 -26.36 -25.26	b/cosa 0.22 0.17 0.15 0.13 0.12 0.11 0.10 0.10 0.10 0.09 0.09 0.09 0.09	\$\\\\\\\\\\\\\\\\\\\\\\\\\\\\\\\\\\\\\	C 0.00 0.00 0.00 0.00 0.00 0.00 0.00 0.	u 0.00 0.00 0.00 0.00 0.00 0.00 0.00 0.	
23 24	35.18 22.15	-38.25 -43.56	-21.78 -15.27	0.12 0.13	24.79 24.79	0.00 0.00	0.00 0.00	
25 ΣW _i = 2626.69 [kg] ΣW _i sinα _i = 605.28 [k _i ΣW _i tanφ _i = 1213.21 [Σtanα _i tanφ _i = 1.95 COMBINAZIONE n ^o	6.28 g] kg]	-49.41	-4.77	0.14	24.79	0.00	0.00	
Valore della spinta s Componente orizzon Componente vertica Punto d'applicazione Inclinaz. della spinta Inclinazione linea di		96.25 90.45 32.92 X = 0.30 20.00 55.98	[kg] [kg] [kg] [m] [°]	Y = -0.40	[m]			
Incremento sismico Punto d'applicazione Inclinazione linea di	e dell'incremen				3.94 X = 0.30 55.17	[kg] [m] [°]	Y = -0.40	[m]
Peso terrapieno gra Baricentro terrapien Inerzia del muro Inerzia verticale del Inerzia del terrapien Inerzia verticale del	o gravante sull muro o fondazione d	a fondazione a li monte	a monte		216.00 X = 0.15 9.50 4.75 3.42 1.71	[kg] [m] [kg] [kg] [kg]	Y = -0.20	[m]
Risultanti carichi est Componente dir. X Componente dir. Y	<u>'erni</u>				199 600	[kg] [kg]		
Risultanti Risultante dei carich Risultante dei carich Resistenza passiva Sforzo normale sul p Sforzo tangenziale s Eccentricità rispetto Lunghezza fondazio Risultante in fondaz Inclinazione della ris Momento rispetto al Carico ultimo della f	il applicati in di a valle del mur piano di posa di sul piano di pos al baricentro di ne reagente ione sultante (rispett baricentro dell	r. verticale ro lella fondazion sa della fondaz lella fondazion to alla normale	zione e		306.57 1456.73 -54.00 1456.73 306.57 0.18 0.66 1488.64 11.88 263.68 3926.28	[kg] [kg] [kg] [kg] [m] [m] [kg] [kgm]		
Tensioni sul terreno Lunghezza fondazio Tensione terreno all Tensione terreno all	ne reagente o spigolo di va				0.66 0.4435 0.0000	[m] [kg/cmq] [kg/cmq]		

Coeff. capacità portante	$N_c = 30.14$	$N_q = 18.40$	$N_{\gamma} = 15.07$				
Fattori forma	$s_c = 1.00$	$s_q = 1.00$	$s_{\gamma} = 1.00$				
Fattori inclinazione	$i_c = 0.55$	$i_{q} = 0.57$	$i_{\gamma} = 0.45$				
Fattori profondità	$d_c = 1.10$	$d_{q} = 1.07$	$d_{\gamma} = 1.00$				
Fattori inclinazione piano posa	$b_c = 1.00$	$b_q = 1.00$	$b_{\gamma} = 1.00$				
Fattori inclinazione pendio	$g_c = 1.00$	$g_{q} = 1.00$	$g_{\gamma} = 1.00$				
I coefficienti N' tengono conto dei fattori di forma, profondità, inclinazione carico, inclinazione piano di posa, inclinazione pendio.							
	$N'_{c} = 18.20$	$N'_q = 11.32$	$N'_{\gamma} = 6.79$				

COEFFICIENTI DI SICUREZZA

Coefficiente di sicurezza a scorrimento 1.91 2.70 Coefficiente di sicurezza a carico ultimo

Sollecitazioni paramento

 $\underline{Combinazione\ n^{\circ}\ 6}$ L'ordinata Y(espressa in m) è considerata positiva verso il basso con origine in testa al muro Momento positivo se tende le fibre contro terra (a monte), espresso in kgm Sforzo normale positivo di compressione, espresso in kg

Taglio positivo se diretto da monte verso valle, espresso in kg

Nr.	Υ	N	M	Т
1	0.00	600.00	190.00	199.50
2	0.04	620.00	197.99	200.23
3	0.08	640.00	206.03	201.81
4	0.12	660.00	214.15	204.22
5	0.16	680.00	222.38	207.47
6	0.20	700.00	230.76	211.55
7	0.24	720.00	239.31	216.48
8	0.28	740.00	248.09	222.24
9	0.32	760.00	257.10	228.84
10	0.36	780.00	266.40	236.27
11	0.40	800.00	276.02	244.51

Sollecitazioni fondazione di valle

Combinazione n° 6

L'ascissa X(espressa in m) è considerata positiva verso monte con origine in corrispondenza dell'estremo libero della fondazione di valle Momento positivo se tende le fibre inferiori, espresso in kgm

Taglio positivo se diretto verso l'alto, espresso in kg

Nr.	Χ	M	Т
1	0.00	0.00	0.00
2	0.06	6.84	223.93
3	0.12	26.39	423.55
4	0.18	57.18	598.88
5	0.24	97.76	749.91
6	0.30	146.68	876.64

Sollecitazioni fondazione di monte

Combinazione n° 6

Cascissa X(espressa in m) è considerata positiva verso valle con origine in corrispondenza dell'estremo libero della fondazione di monte Momento positivo se tende le fibre inferiori, espresso in kgm

Taglio positivo se diretto verso l'alto, espresso in kg

Nr.	X	M	Т
1	0.00	0.00	0.00
2	0.06	-2.20	-73.20
3	0.12	-8.78	-146.40
4	0.18	-19.71	-214.98
5	0.24	-34.11	-261.06
6	0.30	-50.55	-282.83

Armature e tensioni nei materiali del muro

Combinazione n° 6

Combinazione n o

L'ordinata Y(espressa in [m]) è considerata positiva verso il basso con origine in testa al muro

B base della sezione espressa in [cm]

H altezza della sezione espressa in [cm]

A_{fs} area di armatura in corrispondenza del lembo di monte in [cmq]

A_{fl} area di armatura in corrispondenza del lembo di valle in [cmq]

N_u sforzo normale ultimo espresso in [kg]

M_u momento ultimo espresso in [kgm]

CS coefficiente sicurezza sezione

Afi Nu Mu CS VRcd

Aliquota di taglio assorbito dal cls, espresso in [kg]
Aliquota di taglio assorbito dall'armatura, espresso in [kg]
Resistenza al taglio, espresso in [kg] VRsd

Nr.	Υ	В, Н	A_{fs}	A_{fi}	N_{u}	$M_{\rm u}$	cs	V_{Rd}	V_{Rcd}	V_{Rsd}
1	0.00	100, 20	6.28	3.14	16449	-5209	27.42	8858		
2	0.04	100, 20	6.28	3.14	16271	-5196	26.24	8861		
3	0.08	100, 20	6.28	3.14	16103	-5184	25.16	8863		
4	0.12	100. 20	6.28	3.14	15941	-5172	24.15	8866		
5	0.16	100, 20	6.28	3.14	15781	-5161	23.21	8868		
6	0.20	100. 20	6.28	3.14	15620	-5149	22.31	8871		
7	0.24	100, 20	6.28	3.14	15456	-5137	21.47	8873		
8	0.28	100. 20	6.28	3.14	15288	-5125	20.66	8876		
9	0.32	100, 20	6.28	3.14	15113	-5113	19.89	8878		
10	0.36	100. 20	6.28	3.14	14931	-5099	19.14	8881		
11	0.40	100, 20	6.28	3.14	14740	-5086	18.43	8883		

Armature e tensioni nei materiali della fondazione

atlezza della sezione espressa in [cini]
area di armatura in corrispondenza del lembo inferiore in [cmq]
area di armatura in corrispondenza del lembo superiore in [cmq]
sforzo normale ultimo espresso in [kgi]
momento ultimo espresso in [kgm]
coefficiente sicurazza sezione

Combinazione n° 6
Simbologia adottata
B base della sezione espressa in [cm]
H altezza della sezione espressa in [cm]
An area di armatura in corrispondenza d
Ars area di armatura in corrispondenza d
Nu sforzo normale ultimo espresso in [kgm]
CS coefficiente sicurezza sezione
VRCd Aliquota di taglio assorbito dal cls, es

nomento utumo espresso in [kgrij coefficiente sicurezza sezione Aliquota di taglio assorbito dal cis, espresso in [kg] Aliquota di taglio assorbito dall'armatura, espresso in [kg] Resistenza al taglio, espresso in [kg]

VRsd VRd

Fondazione di valle

(L'ascissa X, espressa in [m], è positiva verso monte con origine in corrispondenza dell'estremo libero della fondazione di valle)

V_{Rsd}	V_{Rcd}	V_{Rd}	CS	M_u	N_u	A_{fi}	A_{fs}	B, H	Υ	Nr.
		8653	1000.00	0	0	4.71	4.71	100, 20	0.00	1
		8653	452.31	3094	0	4.71	4.71	100, 20	0.06	2
		8653	117.24	3094	0	4.71	4.71	100, 20	0.12	3
		8653	54.10	3094	0	4.71	4.71	100, 20	0.18	4
		8653	31.64	3094	0	4.71	4.71	100, 20	0.24	5
		8653	21.09	3094	0	4 71	4 71	100 20	0.30	6

Fondazione di monte

(L'ascissa X, espressa in [m], è positiva verso valle con origine in corrispondenza dell'estremo libero della fondazione di monte)

Nr.	Υ	B, H	A_{fs}	A_{fi}	N_u	Mu	cs	V_{Rd}	V_{Rcd}	V_{Rsd}
1	0.00	100, 20	4.71	4.71	0	0	1000.00	8653		
2	0.06	100, 20	4.71	4.71	0	-3094	1408.71	8653		
3	0.12	100, 20	4.71	4.71	0	-3094	352.18	8653		
4	0.18	100, 20	4.71	4.71	0	-3094	156.97	8653		
5	0.24	100. 20	4.71	4.71	0	-3094	90.69	8653		
6	0.30	100, 20	4.71	4.71	0	-3094	61.20	8653		

COMBINAZIONE n° 7				
Valore della spinta statica Componente orizzontale della spinta statica Componente verticale della spinta statica Punto d'applicazione della spinta Inclinaz. della spinta rispetto alla normale alla superficie Inclinazione linea di rottura in condizioni statiche	117.88 113.18 32.96 X = 0.30 16.23 52.95	[kg] [kg] [kg] [m] [°]	Y = -0.40	[m]
Incremento sismico della spinta Punto d'applicazione dell'incremento sismico di spinta Inclinazione linea di rottura in condizioni sismiche	4.49 X = 0.30 52.07	[kg] [m] [°]	Y = -0.40	[m]
Peso terrapieno gravante sulla fondazione a monte Baricentro terrapieno gravante sulla fondazione a monte Inerzia del muro Inerzia verticale del muro Inerzia del terrapieno fondazione di monte Inerzia verticale del terrapieno fondazione di monte	216.00 X = 0.15 9.50 4.75 3.42 1.71	[kg] [m] [kg] [kg] [kg]	Y = -0.20	[m]
Risultanti carichi esterni Componente dir. X Componente dir. Y	199 600	[kg] [kg]		
<u>Risultanti</u> Risultante dei carichi applicati in dir, orizzontale	329 90	[ka]		

Risultante dei carichi applicati in dir. orizzontale	329.90	[kg]
Risultante dei carichi applicati in dir. verticale	1456.67	[kg]
Resistenza passiva a valle del muro	-44.00	[kg]

Sforzo normale sul piano di posa della fondazione	1456.67	[kg]
Sforzo tangenziale sul piano di posa della fondazione	329.90	[kg]
Eccentricità rispetto al baricentro della fondazione	0.18	[m]
Lunghezza fondazione reagente	0.65	[m]
Risultante in fondazione	1493.56	[kg]
Inclinazione della risultante (rispetto alla normale)	12.76	[°]
Momento rispetto al baricentro della fondazione	268.37	[kgm]
Carico ultimo della fondazione	1814.12	[kg]

Tensioni sul terreno

0.65 Lunghezza fondazione reagente [m] [kg/cmq] [kg/cmq] Tensione terreno allo spigolo di valle 0.4501 Tensione terreno allo spigolo di monte 0.0000

Fattori per il calcolo della capacità portante

r attorr per ir carcoro deria capacita portante			
Coeff. capacità portante	$N_c = 20.42$	$N_q = 10.43$	$N_{\gamma} = 6.53$
Fattori forma	$s_c = 1.00$	$s_q = 1.00$	$s_{\gamma} = 1.00$
Fattori inclinazione	$i_c = 0.50$	$i_q = 0.55$	$i_{\gamma} = 0.42$
Fattori profondità	$d_c = 1.10$	$d_{q} = 1.08$	$d_{\gamma} = 1.00$
Fattori inclinazione piano posa	$b_c = 1.00$	$b_{q} = 1.00$	$b_{\gamma} = 1.00$
Fattori inclinazione pendio	$g_c = 1.00$	$g_q = 1.00$	$g_{\gamma} = 1.00$
Logefficienti N' tengono conto dei fattori di forma	profondità inclinazione carico	inclinazione piano di posa	inclinazione pendio

I coefficienti N' tengono conto dei fattori di forma, profondità, inclinazione carico, inclina $N'_c = 11.24$ $N'_{q} = 6.16$ $N'_{\gamma} = 2.76$

COEFFICIENTI DI SICUREZZA

1.42 Coefficiente di sicurezza a scorrimento Coefficiente di sicurezza a carico ultimo 1.25

Sollecitazioni paramento

Combinazione n° 7

Continuata Y(espressa in m) è considerata positiva verso il basso con origine in testa al muro Momento positivo se tende le fibre contro terra (a monte), espresso in kgm Sforzo normale positivo di compressione, espresso in kg Taglio positivo se diretto da monte verso valle, espresso in kg

Nr.	Υ	N	M	Т
1	0.00	600.00	190.00	199.50
2	0.04	620.00	197.99	200.34
3	0.08	640.00	206.04	202.22
4	0.12	660.00	214.19	205.15
5	0.16	680.00	222.47	209.13
6	0.20	700.00	230.93	214.15
7	0.24	720.00	239.61	220.21
8	0.28	740.00	248.56	227.32
9	0.32	760.00	257.81	235.48
10	0.36	780.00	267.41	244.68
11	0.40	800.00	277.40	254.88

Sollecitazioni fondazione di valle

Combinazione n° 7

Combinazione in 7
L'ascissa X(espressa in m) è considerata positiva verso monte con origine in corrispondenza dell'estremo libero della fondazione di valle Momento positivo se tende le fibre inferiori, espresso in kgm
Taglio positivo se diretto verso l'alto, espresso in kg

Nr.	X	M	Т
1	0.00	0.00	0.00
2	0.06	6.95	227.53
3	0.12	26.80	430.03
4	0.18	58.05	607.50
5	0.24	99.20	759.94
6	0.30	148 75	887 35

Sollecitazioni fondazione di monte

Combinazione n° 7

L'ascissa X(espressa in m) è considerata positiva verso valle con origine in corrispondenza dell'estremo libero della fondazione di monte Momento positivo se tende le fibre inferiori, espresso in kgm

Taglio positivo se diretto verso l'alto, espresso in kg

Nr.	X	M	Т
1	0.00	0.00	0.00
2	0.06	-2.20	-73.20

62

3	0.12	-8.78	-146.40
4	0.18	-19.74	-217.01
5	0.24	-34.37	-266.31
6	0.30	-51.20	-290.58

Armature e tensioni nei materiali del muro

Combinazione n° 7
L'ordinata Y(espressa in [m]) è considerata positiva verso il basso con origine in testa al muro
B base della sezione espressa in [cm]
H altezza della sezione espressa in [cm]

area di armatura in corrispondenza del lembo di monte in [cmq] area di armatura in corrispondenza del lembo di valle in [cmq]

sforzo normale ultimo espresso in [kg] momento ultimo espresso in [kgm]

 $\begin{array}{c} A_{fs} \\ A_{fi} \\ N_u \\ M_u \\ CS \end{array}$ coefficiente sicurezza sezione

Aliquota di taglio assorbito dal cls, espresso in [kg]

Aliquota di taglio assorbito dall'armatura, espresso in [kg] Resistenza al taglio, espresso in [kg] VRsd

Nr.	Υ	В, Н	A_{fs}	A_{fi}	N_u	$M_{\rm u}$	cs	V_{Rd}	V_{Rcd}	V_{Rsd}
1	0.00	100, 20	6.28	3.14	16449	-5209	27.42	8858		
2	0.04	100, 20	6.28	3.14	16271	-5196	26.24	8861		
3	0.08	100, 20	6.28	3.14	16102	-5184	25.16	8863		
4	0.12	100. 20	6.28	3.14	15937	-5172	24.15	8866		
5	0.16	100, 20	6.28	3.14	15773	-5160	23.20	8868		
6	0.20	100. 20	6.28	3.14	15605	-5148	22.29	8871		
7	0.24	100, 20	6.28	3.14	15432	-5136	21.43	8873		
8	0.28	100, 20	6.28	3.14	15251	-5123	20.61	8876		
9	0.32	100. 20	6.28	3.14	15060	-5109	19.82	8878		
10	0.36	100, 20	6.28	3.14	14859	-5094	19.05	8881		
11	0.40	100, 20	6.28	3.14	14648	-5079	18.31	8883		

Armature e tensioni nei materiali della fondazione

Combinazione nº 7

Simbologia adottata

B base della sezione espressa in [cm]

altezza della sezione espressa in [cini]
area di armatura in corrispondenza del lembo inferiore in [cmq]
area di armatura in corrispondenza del lembo superiore in [cmq] A_{fs}

sforzo normale ultimo espresso in [kg] momento ultimo espresso in [kgm] coefficiente sicurezza sezione

VRcd

Aliquota di taglio assorbito dal cis, espresso in [kg]
Aliquota di taglio assorbito dall'armatura, espresso in [kg]
Resistenza al taglio, espresso in [kg] VRsd

Fondazione di valle

(L'ascissa X, espressa in [m], è positiva verso monte con origine in corrispondenza dell'estremo libero della fondazione di valle)

Nr.	Υ	В, Н	A_{fs}	A_{fi}	N_u	$M_{\rm u}$	cs	V_{Rd}	V_{Rcd}	V_{Rsd}
1	0.00	100, 20	4.71	4.71	0	0	1000.00	8653		
2	0.06	100, 20	4.71	4.71	0	3094	445.04	8653		
3	0.12	100, 20	4.71	4.71	0	3094	115.42	8653		
4	0.18	100, 20	4.71	4.71	0	3094	53.29	8653		
5	0.24	100, 20	4.71	4.71	0	3094	31.18	8653		
6	0.30	100, 20	4.71	4.71	0	3094	20.80	8653		

Fondazione di monte

(L'ascissa X, espressa in [m], è positiva verso valle con origine in corrispondenza dell'estremo libero della fondazione di monte)

V_{Rsd}	V_{Rcd}	V_{Rd}	cs	$M_{\rm u}$	N_{u}	\mathbf{A}_{fi}	A_{fs}	В, Н	Υ	Nr.
		8653	1000.00	0	0	4.71	4.71	100, 20	0.00	1
		8653	1408.71	-3094	0	4.71	4.71	100, 20	0.06	2
		8653	352.18	-3094	0	4.71	4.71	100, 20	0.12	3
		8653	156.71	-3094	0	4.71	4.71	100, 20	0.18	4
		8653	90.02	-3094	0	4.71	4.71	100, 20	0.24	5
		8653	60 42	-3094	0	4 71	4.71	100 20	0.30	6

Inviluppo Sollecitazioni paramento

L'ordinata Y(espressa in [m]) è considerata positiva verso il basso con origine in testa al muro Momento positivo se tende le fibre contro terra (a monte), espresso in [kgm] Sforzo normale positivo di compressione, espresso in [kg] Taglio positivo se diretto da monte verso valle, espresso in [kg]

Inviluppo combinazioni SLU

Nr.	Υ	Nmin	Nmax	Mmin	Mmax	Tmin	Tmax
1	0.00	600.00	780.00	190.00	247.00	190.00	247.00
2	0.04	620.00	806.00	197.61	256.89	190.50	247.52
3	0.08	640.00	832.00	205.25	266.82	192.01	249.09
4	0.12	660.00	858.00	212.98	276.83	194.53	251.71
5	0.16	680.00	884.00	220.83	286.97	198.05	255.37
6	0.20	700.00	910.00	228.84	297.27	202.59	260.07
7	0.24	720.00	936.00	237.05	307.79	208.12	265.83
8	0.28	740.00	962.00	245.50	318.55	214.67	272.63
9	0.32	760.00	988.00	254.24	329.61	222.22	280.47
10	0.36	780.00	1014.00	263.29	341.00	230.78	289.36
11	0.40	800.00	1040.00	272.71	352.77	240.30	299.26

Inviluppo Sollecitazioni fondazione di valle

L'ascissa X(espressa in m) è considerata positiva verso monte con origine in corrispondenza dell'estremo libero della fondazione di valle Momento positivo se tende le fibre inferiori, espresso in [kgm] Taglio positivo se diretto verso l'alto, espresso in [kg]

Inviluppo combinazioni SLU

Nr.	X	Mmin	Mmax	Tmin	Tmax
1	0.00	0.00	0.00	0.00	0.00
2	0.06	6.73	9.20	220.47	300.33
3	0.12	25.98	35.30	417.19	563.51
4	0.18	56.32	76.07	590.16	789.56
5	0.24	96.32	129.30	739.38	978.47
6	0.30	144.57	192.75	864.85	1130.24

Inviluppo Sollecitazioni fondazione di monte

L'ascissa X(espressa in m) è considerata positiva verso valle con origine in corrispondenza dell'estremo libero della fondazione di monte Momento positivo se tende le fibre inferiori, espresso in [kgm]

Inviluppo combinazioni SLU

Nr.	X	Mmin	Mmax	Tmin	Tmax
1	0.00	0.00	0.00	0.00	0.00
2	0.06	-2.85	-2.20	-95.16	-73.20
3	0.12	-11.42	-8.78	-190.32	-146.40
4	0.18	-25.50	-19.68	-274.14	-213.56
5	0.24	-43.72	-33.94	-344.57	-257.96
6	0.30	-64 28	-50 16	-409 90	-278 60

Inviluppo armature e tensioni nei materiali del muro

L'ordinata Y(espressa in [m]) è considerata positiva verso il basso con origine in testa al muro B base della sezione espressa in [cm] H altezza della sezione espressa in [cm] A_{Is} area di armatura in corrispondenza del lembo di monte in [cmq] A_{II} area di armatura in corrispondenza del lembo di valle in [cmq] N_u sforzo normale ultimo espresso in [kg] momento ultimo espresso in [kgm] CS coefficiente sicurezza sezione VRcd Aliquota di taglio assorbito dal cls, espresso in [kg]

momento ulumo espresso in [kgm] coefficiente sicurezza sezione Aliquota di taglio assorbito dal cls, espresso in [kg] Aliquota di taglio assorbito dall'armatura, espresso in [kg] Resistenza al taglio, espresso in [kg]

Inviluppo SLU

Nr.	Υ	В, Н	A_{fs}	A_{fi}	N_u	$M_{\rm u}$	cs	V_{Rd}	V_{Rcd}	V_{Rsd}
1	0.00	100, 20	6.28	3.14	16449	-5209	21.09	8858		
2	0.04	100, 20	6.28	3.14	16156	-5188	20.19	8861		
3	0.08	100, 20	6.28	3.14	15883	-5168	19.37	8863		
4	0.12	100, 20	6.28	3.14	15626	-5150	18.60	8866		
5	0.16	100, 20	6.28	3.14	15379	-5132	17.88	8868		
6	0.20	100, 20	6.28	3.14	15141	-5115	17.21	8871		
7	0.24	100, 20	6.28	3.14	14906	-5098	16.56	8873		
8	0.28	100, 20	6.28	3.14	14674	-5081	15.95	8876		
9	0.32	100, 20	6.28	3.14	14443	-5064	15.36	8878		
10	0.36	100, 20	6.28	3.14	14210	-5048	14.80	8881		
11	0.40	100, 20	6.28	3.14	13975	-5031	14.26	8883		

Taglio positivo se diretto verso l'alto, espresso in [kg]

Inviluppo armature e tensioni nei materiali della fondazione

Simbologia adottata
B base de
H altezza
An area di
Ars area di
Nu sforzo r
Mu momeni
CS coefficie
VRcd Aliquota
VRd Resiste adottata
base della sezione espressa in [cm]
altezza della sezione espressa in [cm]
area di armatura in corrispondenza del lembo inferiore in [cmq]
area di armatura in corrispondenza del lembo superiore in [cmq]
sforzo normale ultimo espresso in [kg]
momento ultimo espresso in [kgm]
coefficiente sicurezza sezione
Aliquota di taglio assorbito dal cis, espresso in [kg]
Aliquota di taglio assorbito dall'armatura, espresso in [kg]
Resistenza al taglio, espresso in [kg]

Fondazione di valle

(L'ascissa X, espressa in [m], è positiva verso monte con origine in corrispondenza dell'estremo libero della fondazione di valle)

Inviluppo SLU

Nr.	Υ	B, H	A_{fs}	A_{fi}	N_u	$M_{\rm u}$	cs	V_{Rd}	V_{Rcd}	V_{Rsd}
1	0.00	100, 20	4.71	4.71	0	0	1000.00	8653		
2	0.06	100, 20	4.71	4.71	0	3094	336.42	8653		
3	0.12	100, 20	4.71	4.71	0	3094	87.64	8653		
4	0.18	100, 20	4.71	4.71	0	3094	40.66	8653		
5	0.24	100, 20	4.71	4.71	0	3094	23.92	8653		
6	0.30	100, 20	4.71	4.71	0	3094	16.05	8653		

Fondazione di monte

(L'ascissa X, espressa in [m], è positiva verso valle con origine in corrispondenza dell'estremo libero della fondazione di monte)

Inviluppo SLU

Nr.	Υ	В, Н	A_{fs}	A_{fi}	N_u	$M_{\rm u}$	cs	V_{Rd}	V_{Rcd}	V_{Rsd}
1	0.00	100, 20	4.71	4.71	0	0	1000.00	8653		
2	0.06	100, 20	4.71	4.71	0	-3094	1083.62	8653		
3	0.12	100, 20	4.71	4.71	0	-3094	270.91	8653		
4	0.18	100, 20	4.71	4.71	0	-3094	121.33	8653		
5	0.24	100, 20	4.71	4.71	0	-3094	70.76	8653		
6	0.30	100, 20	4.71	4.71	0	-3094	48.13	8653		